

Оглавление

1. СИСТЕМЫ С ДИОДНЫМИ НЕЛИНЕЙНОСТЯМИ.....	4
1.1. ВВЕДЕНИЕ	4
1.1.1. Пример: электрическая цепь с идеальным диодом.	4
1.1.2. Частная ситуация.	6
1.1.3. Запись в виде дифференциального уравнения с разрывной правой частью.	7
1.1.4. Общий вид системы с диодной нелинейностью.	9
1.2. ВЫПУКЛЫЕ МНОЖЕСТВА И СДН.....	10
1.2.1. Определение и примеры.	10
1.2.2. Проекция на выпуклое замкнутое множество.	12
1.2.3. Нормальный конус.....	14
1.2.4. Сопряженный конус.....	15
1.2.5. Ортогональное разложение по сопряженным конусам.	16
1.2.6. Касательный конус.....	17
1.2.7. Определение решений систем с диодной нелинейностью.	19
1.2.8. Эквивалентность двух записей системы с диодной нелинейностью.	19
1.3. МОДЕЛЬ ОДНОГО КЛАССА ЭЛЕКТРИЧЕСКИХ ЦЕПЕЙ С ДИОДНЫМИ ПРЕОБРАЗОВАТЕЛЯМИ.....	20
1.3.1. Примеры диодных преобразователей тока.	20
1.3.2. Дополнительные сведения о конусах.....	22
1.3.3. Образ и ядро линейного оператора.....	25
1.3.4. Граненые конусы.	26
1.3.5. Диодная нелинейность.....	29
1.3.6. Утверждение о линейном преобразовании диодной нелинейности.	30
1.3.7. Теорема о внешней характеристике диодного преобразователя	31
1.3.8. Пример: двухполупериодный выпрямитель с цепями питания и нагрузки.....	33
1.3.9. Численные эксперименты.....	35
1.3.10. Условие существования модели в виде СДН для электрической цепи с диодами.	38
1.4. ЗАДАЧА ВЫПУКЛОГО ПРОГРАММИРОВАНИЯ И СДН	45
1.4.1. Описание уравнения.....	45
1.4.2. Лемма о дифференцировании функции $V(x)$	47
1.4.3. Лемма о дифференциальном неравенстве для функции $V(x)$	49
1.4.4. Теорема о верхней предельной оценке.....	49
1.4.5. Численные эксперименты.....	50
1.5. СУЩЕСТВОВАНИЕ И ЕДИНСТВЕННОСТЬ РЕШЕНИЯ НАЧАЛЬНОЙ ЗАДАЧИ	51
1.5.1. Формулировка и план доказательства локальной теоремы.....	51
1.5.2. Продолжение системы.....	52
1.5.3. Построение «бочки».....	55

1.5.4. Ломаные Эйлера.....	56
1.5.5. Предельный переход.....	57
1.5.6. Разрешимость в исходном множестве.....	58
1.5.7. Единственность решения.....	59
3) Лемма о линейном дифференциальном неравенстве.....	60
4) Оценка нормы разности решений и следствие о единственности решения задачи Коши.....	61
1.6. КОЛЕБАНИЯ В СДН.....	62
1.6.1. Вынужденные колебания.....	62
1.6.1.1. Анализ свободных колебаний.....	63
1.6.1.2. Вынужденные колебания.....	63
1.6.1.3. Переходный процесс.....	64
1.6.1.4. Резонанс токов.....	64
1.6.2. Существование замкнутой траектории у двумерной автономной системы.....	65
1.6.2.1. Построение функции $\bar{\varphi}$	67
1.6.2.2. Лемма о замкнутости множества решений.....	70
1.6.2.3. Геометрическая трактовка полунепрерывности сверху оператора N_x	71
1.6.2.4. Невозможность значениям непрерывной функции скачком войти внутрь касательного конуса.....	72
1.6.2.5. Терминология и обозначения.....	72
1.6.2.6. Свойство граничной Ω -предельной точки.....	74
1.6.2.7. Расположение векторов $f(p)$, $\tau_p f(p)$ и Cv	75
1.6.2.8. Построение трансверсали.....	76
1.6.2.9. О пересечении трансверсали траекториями решений φ и $\bar{\varphi}$	77
1.6.2.10. О пересечении Ω_φ с трансверсалью.....	79
1.6.3. Условия (усиленной) орбитальной устойчивости.....	82
1.6.3.1. Лемма о взаимном расположении N_x , $f(x)$, $\tau_x f(x)$ и $-x$	85
1.6.3.2. Оценка нормы вектора скорости системы.....	87
1.6.3.3. Оценка углов между векторами N_x и $-x$	87
1.6.3.4. Определение угловой скорости и угла поворота вектор-функции.....	88
1.6.3.5. Лемма об оценке угловой скорости.....	89
1.6.3.6. Лемма о выходе на границу.....	90
1.6.3.7. Теорема о существовании, единственности и орбитальной устойчивости замкнутой траектории.....	91
1.6.3.7.1. Лемма о слиянии любых двух траекторий системы.....	92
1.6.3.7.2. Существование и единственность замкнутой траектории в случае ограниченного множества Q	93
1.6.3.7.3. Лемма о существовании у замкнутой траектории специальной окрестности.....	93

1.6.3.7.4.	Лемма о непрерывной зависимости решений системы от начальных условий	94
1.6.3.7.5.	Орбитальная устойчивость замкнутой траектории системы	95
1.6.3.7.6.	Лемма о вспомогательных множествах Q_1 , Q_2 и Q_3	95
1.6.3.7.7.	Лемма об оценке траектории системы	96
1.6.3.7.8.	Сведение случая неограниченного Q к случаю ограниченного	99
1.7.	МОДЕЛИ БИОЛОГИЧЕСКИХ СИСТЕМ С ОГРАНИЧЕНИЯМИ ЧИСЛЕННОСТИ	100
1.7.1.	Классическая модель биологической система «хищник-жертва»	100
1.7.1.1.	Положения равновесия и анализ их устойчивости	101
1.7.1.2.	Фазовый портрет системы	102
1.7.2.	Автоколебания в обобщённой системе «хищник-жертва»	105
1.7.2.1.	Проверка условий 1.6.3.1	106
1.7.2.2.	Формулировка и доказательство существования устойчивой замкнутой траектории обобщённой системы «хищник-жертва»	107
1.7.2.3.	Примеры численных экспериментов	108

1. Системы с диодными нелинейностями

1.1. Введение

1.1.1. Пример: электрическая цепь с идеальным диодом.

Рассмотрим цепь, изображенную на рисунке 1. Напомним, что входящие в нее линейные элементы L (индуктивность), R (сопротивление), E (источник эдс – электродвижущей силы) описываются уравнениями:

$$L \frac{di_L}{dt} = u_L, \quad Ri_R = u_R, \quad u_E = -e(t).$$

Параметры L (Гн, *генри*), R (Ом, *ом*) – заданные положительные константы; значения известной функции времени $e(t)$ измеряются в *вольтах* (В). Функции времени i (А, *ампер*), u (В, *вольт*) с соответствующими индексами обозначают *токи* и *напряжения* элементов в выбранном направлении, которое на рисунке обозначено стрелкой.

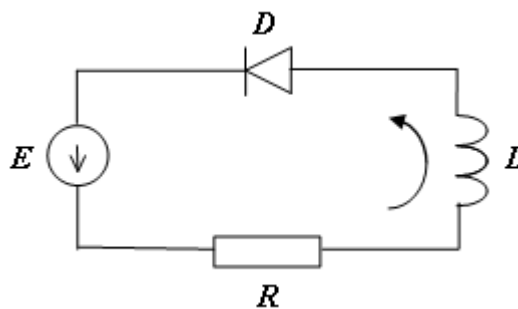


Рис. 1

Идеальный диод D – это элемент, свободно проводящий ток в направлении стрелки (от *анода* к *катоде*) и не проводящий его в обратном направлении. При отрицательном *анодном* напряжении ($u_D < 0$) *анодный* ток равен нулю ($i_D = 0$); при нулевом ($u_D = 0$) – может принимать любое неотрицательное значение ($i_D \geq 0$); положительное значение *анодного* напряжения невозможно. Другими словами, для идеального диода зависимость *анодного* тока от *анодного* напряжения можно описать системой трех соотношений:

$$\begin{cases} i \geq 0, \\ u \leq 0, \\ iu = 0. \end{cases} \quad (1)$$

Графически эта зависимость изображена на следующем рисунке.

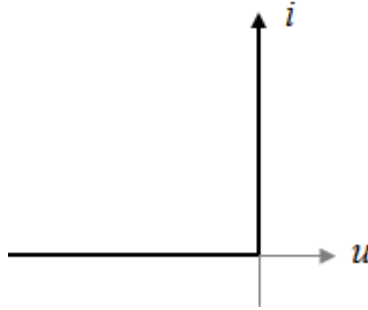


Рис 2

Полученную ломаную можно трактовать как график многозначной функции

$$i \in D(u) := \begin{cases} \{0\}, \text{ если } u < 0, \\ [0, +\infty), \text{ если } u = 0, \\ \emptyset, \text{ если } u > 0 \end{cases}$$

или обратной многозначной функции

$$u \in D^{-1}(i) := \begin{cases} \{0\}, \text{ если } i > 0, \\ (-\infty, 0], \text{ если } i = 0, \\ \emptyset, \text{ если } i < 0. \end{cases} \quad (2)$$

Для данной цепи воспользуемся вторым законом Кирхгофа, по которому сумма напряжений элементов по замкнутому контуру равна нулю:

$$u_L + u_R + u_D + u_E = 0.$$

Воспользовавшись уравнениями линейных элементов и замечая, что токи всех элементов в неразветвленной цепи одинаковы ($i_L = i_R = i_D = i$), получаем уравнение с двумя неизвестными i и $u := u_D$:

$$L \frac{di}{dt} + Ri = e(t) - u.$$

Для полноты описания цепи к нему нужно присоединить соотношения (1) или многозначную зависимость (2) i от i . В последнем случае математическая модель цепи принимает вид *дифференциального включения*:

$$L \frac{di}{dt} \in e(t) - Ri - D^{-1}i.$$

В дальнейшем нам будет удобно записывать его с единичным коэффициентом при производной:

$$\frac{di}{dt} \in E(t) - \delta i - D^{-1}(i);$$

здесь

$$E(t) := \frac{e(t)}{L}, \quad \delta := \frac{R}{L}$$

и, заметим, $D^{-1}(i) / L = D^{-1}(i)$.

Для связи с дальнейшим нам будет удобно также использовать следующие обозначения и термины: $[0, +\infty) =: Q$ – *фазовое пространство* данной цепи, $D^{-1}(i) = N_i$ – *нормальный конус к фазовому пространству Q точке $i \in Q$* . Окончательно математическая модель рассматриваемой цепи принимает вид дифференциального включения в фазовом пространстве Q :

$$\frac{di}{dt} \in E(t) - \delta i - N_i. \quad (3)$$

1.1.2. Частная ситуация.

Рассмотрим изменение тока в цепи рис.1 для того частного случая, когда $e(t) \equiv -1$, $L=1$, $R=1$, $i(0)=1$. Соотношение (3) при этом имеет вид

$$\frac{di}{dt} \in -1 - i - N_i;$$

при $i > 0$ оно эквивалентно равенству

$$\frac{di}{dt} = -1 - i \quad (N_i = \{0\}), \quad (*)$$

а при $i = 0$ – соотношению

$$\frac{di}{dt} \in [-1, +\infty) \quad (N_i = N_0 = (-\infty, 0]). \quad (**)$$

Решив дифференциальное уравнение (*) при заданном начальном значении $i(0) = 1$, получим:

$$i = 2e^{-t} - 1.$$

Эта функция положительна при $t \in [0, \ln 2)$, т.е. является на этом промежутке решением включения (3). Далее, функция $i \equiv 0$ удовлетворяет включению (**). Поэтому непрерывную функцию

$$i = \begin{cases} 2e^{-t} - 1, & \text{если } 0 \leq t < \ln 2, \\ 0, & \text{если } t \geq \ln 2 \end{cases}$$

естественно считать решением рассматриваемой задачи, хотя в точке $t = \ln 2$ она не имеет производной в обычном смысле: левая производная равна -1 , а правая – нулю.

Описанная здесь ситуация характерна для систем с диодными нелинейностями, поэтому определение решения для таких систем должно допускать отсутствие производной в некоторых точках (но включать требование непрерывности во всех точках). Строгое определение дается ниже в пункте 1.2.7.

1.1.3. Запись в виде дифференциального уравнения с разрывной правой частью.

Пусть решение $i(t)$ включения (3) имеет в точке $t = t_1$ (двустороннюю) производную. Если при этом $i(t_1) > 0$, то в данной точке выполнено равенство

$$\frac{di}{dt} = E(t) - \delta i. \text{ Если же } i(t_1) = 0, \text{ то и } i'(t_1) = 0, \text{ поскольку в этом случае } t_1 \text{ есть}$$

точка минимума неотрицательной функции $i(t)$. Заметим, что этом случае из

включения (3) вытекает, что $E(t_1)$ не может иметь положительное значение, поскольку в противном случае $i' = 0 \notin E(t) - \delta \cdot 0 - N_i = [E(t), +\infty)$.

Итак, любое решение включения (3) во всех точках, в которых оно имеет двустороннюю производную, удовлетворяет уравнению

$$i' = \begin{cases} E(t) - \delta i, & \text{если } i > 0, \\ 0, & \text{если } i = 0. \end{cases}$$

Для любой точки i фазового пространства $Q = [0, +\infty)$ введем понятие *касательного конуса* T_i к Q в этой точке:

$$T_i := \begin{cases} (-\infty, +\infty), & \text{если } i > 0, \\ [0, +\infty), & \text{если } i = 0; \end{cases}$$

и обозначим через τ_i оператор проектирования на касательный конус T_i , определяющий для любого вещественного числа ближайшую к нему точку из T_i . Такая точка всегда существует, причём единственная.

Для $i > 0$ $\tau_i(E(t) - \delta i) = E(t) - \delta i$, и, следовательно $i' = \tau_i(E(t) - \delta i)$, если производная i' существует.

$$\text{При } i = 0 \quad \tau_i(E(t) - \delta i) = \tau_0(E(t)) = \begin{cases} E(t), & \text{если } E(t) \in [0, +\infty), \\ 0, & \text{если } E(t) < 0. \end{cases}$$

Если в момент t_2 обнуления i (т.е. $i(t) > 0$ на некотором промежутке $(t_2 - \delta, t_2)$ и $i(t_2) = 0$) значение функции $E(t_2) < 0$ отделено от нуля, то оператор τ_i терпит в точке t_2 разрыв.

С учётом замечания $E(t_1) \leq 0$ для точек с нулевым значением i и существующей двусторонней производной i' приходим к выводу, что решения (3) в точках существования i' удовлетворяет уравнению с разрывной правой частью

$$i' = \tau_i(E(t) - \delta i).$$

1.1.4. Общий вид системы с диодной нелинейностью.

Будем полагать теперь, что Q является некоторым произвольным выпуклым замкнутым множеством пространства \mathbb{R}^n , N_x – конус внешних нормалей к Q в точке $x \in Q$

и T_x – касательный конус к Q в точке x . τ_x – оператор проектирования точек \mathbb{R}^n на касательный конус T_x .

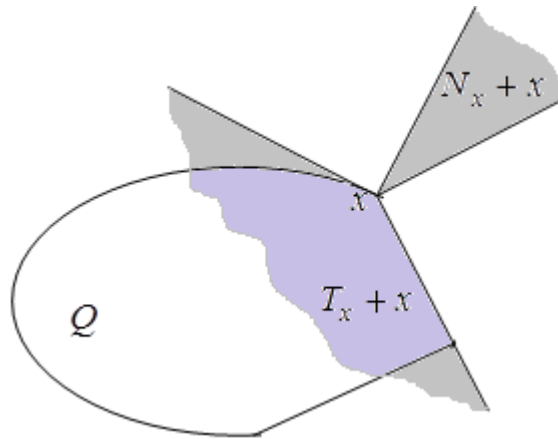


Рис. 3

Строгие определения этих объектов и их свойства мы рассмотрим в параграфе 1.2.

Для функции $f(t, x)$ систему, записанную в виде дифференциальных уравнений

$$\dot{x} = \tau_x f(t, x) \quad (4)$$

или в виде дифференциального включения

$$\dot{x} \in f(t, x) - N_x \quad (5)$$

будем называть системой с диодной нелинейностью (СДН).

Эквивалентность (4) и (5) будет доказана в 1.2.8, а вначале следующего параграфа поговорим об объектах, входящих в понятие СДН.

1.2. Выпуклые множества и СДН

1.2.1. Определение и примеры.

Определение. Подмножество Q пространства \mathbb{R}^n называется *выпуклым*, если $\forall(x \in Q, y \in Q, t \in [0, 1])[tx + (1 - t)y \in Q]$, т.е. если с любыми двумя своими элементами оно содержит соединяющий их отрезок.

Примеры. Докажите, что следующие множества выпуклы.

1. Пустое множество.
2. Все пространство \mathbb{R}^n .
3. Подпространство единичной коразмерности, которое можно описать как множество элементов x , удовлетворяющих при некотором фиксированном ненулевом $n \in \mathbb{R}^n$ уравнению $(n, x) = 0$. Вектор n называется *нормалью* к данному подпространству.
4. Пересечение любого семейства выпуклых множеств.
5. В частности, любое линейное подпространство L – пересечение конечного множества подпространств единичной коразмерности; его можно описать системой уравнений $(n_i, x) = 0$ ($i = 1, \dots, k$). Здесь и в дальнейшем круглыми скобками обозначается стандартное скалярное произведение в \mathbb{R}^n – сумма попарных произведений соответствующих координат. Подпространство L можно также описать векторным уравнением $Nx = 0$ с матрицей N , строками которой являются векторы n_i .
6. Сдвиг $Q + s$ выпуклого множества Q на вектор $s \in \mathbb{R}^n$.
7. В частности, сдвинутое подпространство (аффинное подпространство) $L + s$, которое можно также описать неоднородным векторным уравнением $Nx = c$ с вектором $c = Ns$.
8. Полупространство, т.е. множество векторов x , удовлетворяющих при некотором фиксированном ненулевом $n \in \mathbb{R}^n$ неравенству $(n, x) \leq 0$. Вектор n называется *внешней нормалью* к данному полупространству.
9. *Граненый (многогранный) конус* – пересечение конечного набора полупространств.
10. Сдвинутое полупространство $P + s$ – сдвиг полупространства на некоторый вектор s . Может быть описано через внешнюю нормаль n и константу $c = (n, s)$ неравенством $(n, x) \leq c$.

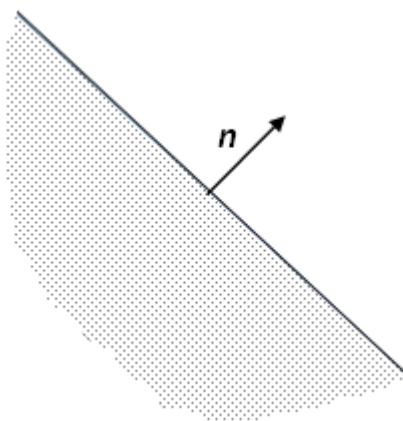


Рис. 4: сдвинутое полупространство

11. *Многогранник* – пересечение конечного множества сдвинутых полупространств. Может быть описан системой неравенств $(n_i, x) \leq c_i$ ($i = 1, \dots, k$).
12. *Выпуклая оболочка* $\text{co}V$ множества $V \subset \mathbb{R}^n$, т.е. множество всех выпуклых комбинаций конечных подмножеств множества V : $x \in \text{co}V$ означает, что x допускает представление

$$x = \sum_{j=0}^m \alpha_j v_j, v_j \in V, \alpha_j \geq 0, \sum_{j=0}^m \alpha_j = 1$$

(m может зависеть от x).

13. *Симплекс* размерности $0 \leq r \leq n$ – выпуклая оболочка множества *вершин* $V = \{v_0, v_1, \dots, v_r\}$, находящихся в *общем положении*, т.е. таких, что векторы $\{v_1 - v_0, \dots, v_r - v_0\}$ линейно независимы.
14. Множество, описываемое неравенством $f(x) \leq 0$ с *выпуклой* функцией $f: \mathbb{R}^n \rightarrow \mathbb{R}$, т.е. такой, что

$$f\left(\frac{x+y}{2}\right) \leq \frac{f(x) + f(y)}{2}$$

для любых $x, y \in \mathbb{R}^n$.

15. В частности, шар радиуса R с центром в нуле – в этом случае

$$f(x) = x^2 - R^2, x^2 = (x, x).$$

16. *Конус* – множество $K \subset \mathbb{R}^n$, содержащее вместе с любыми своими элементами x, y их линейные комбинации с неотрицательными коэффициентами. В частности, все пространство, подпространство, полупространство и граничный конус являются конусами.

В дальнейшем, как правило, рассматриваются *замкнутые* выпуклые множества, т.е. такие, которые содержат все свои предельные точки.

1.2.2. Проекция на выпуклое замкнутое множество.

Определение. Точка $x \in \mathbb{R}^n$ называется *проекцией* точки $y \in \mathbb{R}^n$ на множество $Q \subset \mathbb{R}^n$, если она является единственной ближайшей к y точкой этого множества. В таком случае будем использовать обозначение $x = P(y, Q)$.

Привести примеры, когда ближайшей точки не существует, и когда ближайшая точка не единственна.

Утверждение о существовании проекции. *Если Q – непустое выпуклое замкнутое множество, то любая точка y имеет проекцию на это множество.*

Доказательство. Пусть $d = \inf\{\|y - z\| : z \in Q\}$, $z_n \in Q$, $\|y - z_n\| < d + 1/n$. Последовательность (z_n) лежит в шаре радиуса $d + 1$ с центром в точке y . Поэтому из нее можно выделить подпоследовательность, сходящуюся к некоторому элементу x (пространство конечномерно). Это и есть искомая проекция y на Q , поскольку $x \in Q$ (множество Q замкнуто) и $d \leq \|y - x\| \leq d$, т.е.

$\|y - x\| = d = \min\{\|y - z\| : z \in Q\}$. Если предположить, что в Q есть еще один элемент \bar{x} , удаленный от y на такое же расстояние d , то мы получим, что середина \tilde{x} отрезка $[x, \bar{x}]$, принадлежащая (выпуклому) множеству Q , удалена от y на меньшее расстояние – оно равно высоте равнобедренного треугольника $x y \bar{x}$, опущенной из вершины y .

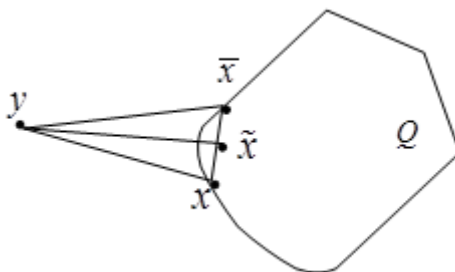


Рис. 5

В последнем рассуждении мы применили аргументацию, основанную на элементарной геометрии, и будем пользоваться подобными наглядными соображениями впредь. Они вполне законны, поскольку все евклидовы пространства одинаковой размерности изоморфны, т.е., в частности, плоскость в \mathbb{R}^n , содержащая треугольник $x y \bar{x}$, изоморфна плоскости, изучаемой в элементарной геометрии.

Утверждение об эквивалентном определении проекции. *если Q – выпуклое замкнутое множество в \mathbb{R}^n , то*

$$x = P(y, Q) \Leftrightarrow x \in Q \wedge \forall (z \in Q) [(y - x, z - x) \leq 0] \quad (6)$$

Доказательство. Пусть $x = P(y, Q)$. Рассмотрим точку $x_t = x + t(z - x) = (1 - t)x + tz$. Очевидно, если $t \in [0, 1]$, то $x_t \in Q$. Из определения проекции следует, что функция $\varphi(t) = \|y - x_t\|^2$ при $t = 0$ принимает минимальное значение, то есть $\varphi(t) \geq \varphi(0)$ при $t \in [0, 1]$. Следовательно, $\varphi'(0) \geq 0$. Но

$$\varphi'(0) = \frac{d}{dt} \|y - x - t(z - x)\|^2 \Big|_{t=0} = 2(y - x - t(z - x), -(z - x)) \Big|_{t=0} = -2(y - x, z - x).$$

Итак, $(y - x, z - x) \leq 0$.

В другую сторону, если $x \in Q \wedge \forall (z \in Q) [(y - x, z - x) \leq 0]$, то заметим, что для $z \in Q$, в силу выполнения неравенства $(y - x, z - x) \leq 0$ вектора $(y - x)$ и $(z - x)$ образуют тупой угол, поэтому $\|y - z\| \geq \|y - x\|$ (сторона, лежащая против тупого или прямого угла треугольника).

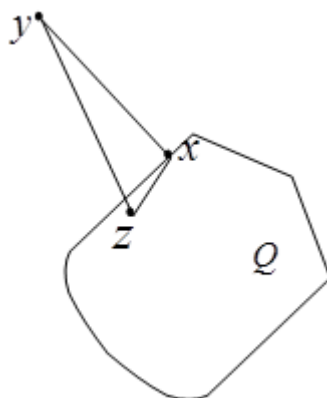


Рис. 6

Утверждение. *Оператор проектирования на непустое выпуклое замкнутое множество $Q \in \mathbb{R}^n$ является нерастягивающим.*

Доказательство. Построим две $(n - 1)$ -мерные плоскости L_x и L_y , проходящие через точки $P(x, Q)$ и $P(y, Q)$ ортогонально отрезку соединяющему их. Согласно предыдущему утверждению $(x - P(x, Q), P(y, Q) - P(x, Q)) \leq 0$, поэтому точка x лежит в замкнутой области с одной стороны от L_x , а $P(y, Q)$ с другой стороны. Аналогично, в силу $(y - P(y, Q), P(x, Q) - P(y, Q)) \leq 0$ точка y расположена с одной стороны от L_y , а $P(x, Q)$ с другой. Отсюда следует, что отрезок $[x, y]$ име-

ет с плоскостями L_x и L_y общие точки, а поскольку расстояние между этими плоскостями равно $\|P(x, Q) - P(y, Q)\|$, то $\|P(x, Q) - P(y, Q)\| \leq \|x - y\|$.

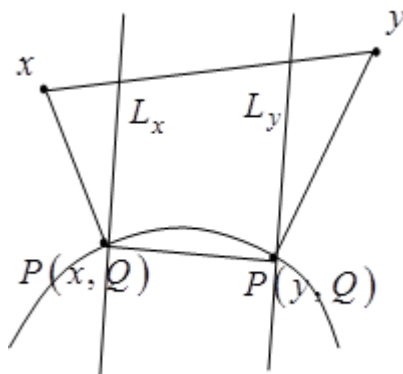


Рис. 1.6.1

1.2.3. Нормальный конус.

Определение. Пусть Q – выпуклое замкнутое множество в \mathbb{R}^n , $x \in Q$. *Нормальный конус* $N_x = N_x(Q)$ к Q в точке x определяется соотношением:

$$n \in N_x \Leftrightarrow \forall (z \in Q) [(n, z - x) \leq 0]. \quad (7)$$

Иными словами, N_x есть множество всех таких векторов n , что проекции точек $x + n$ на Q совпадают с x .

Утверждение. N_x есть замкнутый конус.

Понятие конуса можно трактовать и определять по-разному. Мы некоторое время будем придерживаться определения, данного в примере 16 (1.2.1), но затем дадим другое более удобное для наших задач определение (1.3.2).

Доказательство. Действительно, если $n, \bar{n} \in N_x$, $\alpha, \bar{\alpha} \geq 0$ и $z \in Q$, то

$$(\alpha n + \bar{\alpha} \bar{n}, z - x) = \alpha(n, z - x) + \bar{\alpha}(\bar{n}, z - x) \leq 0.$$

Следовательно, N_x есть конус. Далее, если $n_i \in N_x$ и $n_i \rightarrow n$ при $i \rightarrow \infty$, то

$$(n, z - x) = \lim_{i \rightarrow \infty} (n_i, z - x) \leq 0,$$

т.е. $n \in N_x$. Итак, N_x – замкнутый конус.

Примеры. Докажите следующие утверждения.

1. Если $x \in \text{int } Q$ (т.е. x есть внутренняя точка множества Q), то $N_x = \{\theta\}$ – конус, состоящий из одной нулевой точки.

2. Если x есть точка сдвинутого подпространства $Q = \{x : (n, x) = c\}$ единичной коразмерности, то $N_x = \text{lin}\{n\}$ (линейная оболочка одноэлементного множества $\{n\}$, т.е. проходящая через нуль прямая с направляющим вектором n).
3. Если x есть граничная точка сдвинутого полупространства $Q = \{x : (n, x) \leq c\}$ (т.е. $(n, x) = c$), то $N_x = \text{con}\{n\}$ – выходящий из нуля луч с направляющим вектором n , коническая оболочка множества $\{n\}$.
4. Если Q есть пересечение выпуклых замкнутых множеств Q_1, Q_2 и $x \in Q$, то

$$N_x = \text{con}[N_x(Q_1) \cup N_x(Q_2)].$$

Коническая оболочка произвольного множества $M \subset \mathbb{R}^n$ определяется как множество всех конечных линейных комбинаций элементов M с неотрицательными коэффициентами, т.е. $\text{con } M = \left\{ n : n = \sum_{i=1}^k \lambda_i n_i, n_i \in M, \lambda_i \geq 0, k \in \mathbb{N} \right\}$.

5. Если Q состоит из единственной точки x , то $N_x = \mathbb{R}^n$.
6. Если $x \in Q_1 \subset Q_2$, то $N_x(Q_2) \subseteq N_x(Q_1)$.

1.2.4. Сопряженный конус.

Определение. Сопряженный конус K^* к конусу $K \subset \mathbb{R}^n$ определяется соотношением:

$$y \in K^* \Leftrightarrow \forall (z \in K) [(y, z) \leq 0]. \quad (8)$$

Утверждение. $K^* = N_0(K)$. (9)

Действительно, при $x = 0$ определения N_x и K^* совпадают.

Примеры. Докажите следующие утверждения.

1. Конус K^* , сопряжённый к произвольному конусу K является замкнутым множеством.
2. Замыкание \bar{K} конуса K тоже является конусом и $(\bar{K})^* = K^*$.
3. $(\mathbb{R}_+^n)^* = \mathbb{R}_+^n$.
4. Если K подпространство, то K^* тоже, причём каждая пара $x \in K$ и $y \in K^*$ ортогональна $x \perp y$.

5. K^* равно пересечению полупространств, внешние нормали которых пробегают конус K .
6. K^* является конической оболочкой множества всех внешних нормалей к полупространствам, содержащим конус K .

1.2.5. Ортогональное разложение по сопряженным конусам.

Для замкнутого конуса K пространства \mathbb{R}^n докажем справедливость следующих утверждений

Утверждение (а). Разность $z = y - x$ между произвольным элементом $y \in \mathbb{R}^n$ и его проекцией x на конус K ортогональна вектору x и является проекцией y на сопряженный конус K^* .

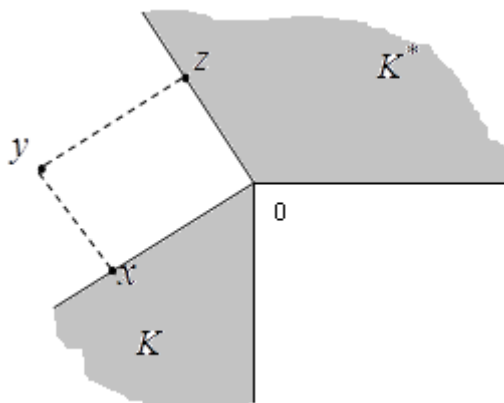


Рис. 7: Ортогональное разложение по сопряженным конусам

Доказательство. Заметим во-первых, что $z \in N_x(K)$, так как проекция точки $z + x = y$ на K совпадает с x . По этой причине $(z, u - x) \leq 0$ для любого $u \in K$. Взяв в качестве u сначала $2x$, а затем 0 , получим: $(z, 2x - x) = (z, x) \leq 0$ и $(z, 0 - x) = -(z, x) \leq 0$. Следовательно, $(z, x) = 0$, т.е. $z \perp x$.

Проверим далее, что $z \in K^*$, т.е. $(z, \bar{x}) \leq 0$ для любого $\bar{x} \in K$. Действительно, $(z, \bar{x}) = (y - x, \bar{x} - x) \leq 0$, по эквивалентному определению проекции (б) для x .

Наконец, по этому же определению убедимся, что z есть проекция y на K^* . Для любого $\bar{z} \in K^*$ имеем $(y - z, \bar{z} - z) = (x, \bar{z} - z) = (x, \bar{z}) - (x, z) = (x, \bar{z}) - 0 \leq 0$.

Утверждение (б). Любой элемент $y \in \mathbb{R}^n$ есть ортогональная сумма своих проекций на K и K^* .

Доказательство. Положим $x = P(y, K)$, $z = P(y, K^*)$, $\bar{z} = y - x$. Тогда по предыдущему свойству $\bar{z} \perp x$, $\bar{z} = P(y, K^*)$ и, в силу единственности проекции, $\bar{z} = z$, $y = x + z$, $x \perp z$.

Утверждение (в). Если элемент y представлен в виде ортогональной суммы элементов x из K и z из K^* , то слагаемые x , z являются проекциями этого элемента на соответствующие конусы.

Доказательство. Взяв произвольные $\bar{x} \in K$ и $\bar{z} \in K^*$, убедимся в выполнении свойства проекций (б):

$$(y - x, \bar{x} - x) = (z, \bar{x} - x) = (z, \bar{x}) - (z, x) = (z, \bar{x}) - 0 \leq 0,$$

аналогично $(y - z, \bar{z} - z) = (x, \bar{z}) \leq 0$.

Примеры. Докажите, что если конус K замкнут, то сопряжённый к конусу K^* совпадает с K , т.е. $K^{**} = (K^*)^* = K$.

1.2.6. Касательный конус.

Определение. Касательный конус T_x к выпуклому замкнутому множеству $Q \subset \mathbb{R}^n$ в точке $x \in Q$ есть, по определению, конус, сопряженный к N_x :

$$z \in T_x \Leftrightarrow \forall (y \in N_x) [(z, y) \leq 0] \quad (10)$$

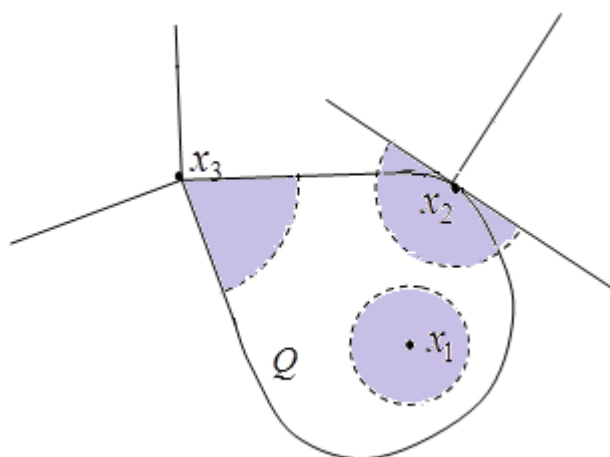


Рис. 8

На рисунке 8 серым цветом и пунктирной линией указаны касательные конуса к области Q в точках x_1 , x_2 , x_3 , сдвинутые в соответствующие точки. Касательный конус к внутренней точке x_1 совпадает со всем пространством $T_{x_1} = \mathbb{R}^n$, а конус T_{x_2} является полупространством.

Примеры и свойства. Докажите следующие утверждения.

1. Касательный конус T_x замкнут.
2. Если $x \in \text{int} Q$ (т.е. x есть внутренняя точка множества Q), то $T_x = \mathbb{R}^n$ – конус, совпадающий со всем пространством.
3. Если x есть точка сдвинутого подпространства $Q = \{x : (n, x) = c\}$ единичной коразмерности, то касательный конус совпадает с подпространством $T_x = \{x : (n, x) = 0\}$.
4. Если x есть граничная точка сдвинутого полупространства $Q = \{x : (n, x) \leq c\}$ (т.е. $(n, x) = c$), то касательный конус совпадает с полупространством $T_x = \{x : (n, x) \leq 0\}$.
5. Если Q есть пересечение выпуклых замкнутых множеств Q_1, Q_2 и $x \in Q$, то
$$T_x = T_x(Q_1) \cap T_x(Q_2).$$
7. Если Q состоит из единственной точки x , то $T_x = \{\theta\}$ – множество, состоящее только из нулевой точки.

Отметим два существенных для нас свойства касательного конуса. Для функции $x(t)$, определённой в окрестности точки \bar{t} , выполнены следующие утверждения:

Свойство 1. если существует правосторонняя производная $x'_+(\bar{t})$ и $x(\bar{t} + s) \in Q$ ($0 \leq s < \varepsilon$), то $x'_+(\bar{t}) \in T_{x(\bar{t})}$; (11)

Свойство 2. если существует левосторонняя производная $x'_-(\bar{t})$ и $x(\bar{t} + s) \in Q$ ($-\varepsilon \leq s < 0$), то $-x'_-(\bar{t}) \in T_{x(\bar{t})}$. (12)

Доказательство. Если существует $x'_+(\bar{t})$, то по определению нормального конуса

(7) для произвольного вектора $u \in N_{x(\bar{t})}$ справедливо $\left(\frac{x(\bar{t} + s) - x(\bar{t})}{s}, u \right) \leq 0$, из

этого неравенства в пределе при $s \rightarrow +0$ получаем $\forall (u \in N_{x(\bar{t})}) \left[(x'_+(\bar{t}), u) \leq 0 \right]$,

что означает по (10) $v \in T_{x(\bar{t})}$. Доказательство свойства 2 отличается тем, что для

вектора $u \in N_{x(\bar{t})}$ выполняется неравенство $\left(\frac{x(\bar{t} + s) - x(\bar{t})}{-s}, u \right) \leq 0$, поэтому

$-x'_-(\bar{t}) \in T_{x(\bar{t})}$.

1.2.7. Определение решений систем с диодной нелинейностью.

Для вектора $y \in \mathbb{R}^n$ введём обозначения его проекций на сопряженные конуса N_x и T_x , построенных к выпуклому замкнутому множеству Q в точке x

$$\nu_x y := P(y, N_x), \quad \tau_x y := P(y, T_x).$$

Определение решения уравнения (4). *Решением* дифференциального уравнения (4) $\dot{x} = \tau_x f(t, x)$ (с разрывной по x правой частью) называется определенная на некотором промежутке локально абсолютно непрерывная функция, удовлетворяющая (4) почти всюду.

Определение решения включения (5). *Решением* дифференциального включения (5) $\dot{x} \in f(t, x) - N_x$ называется определенная на некотором промежутке локально абсолютно непрерывная функция, удовлетворяющая (5) почти всюду.

1.2.8. Эквивалентность двух записей системы с диодной нелинейностью.

Утверждение. *Дифференциальное уравнение (4) $\dot{x} = \tau_x f(t, x)$ эквивалентно дифференциальному включению (5) $\dot{x} \in f(t, x) - N_x$ в том смысле, что они имеют одно и то же множество решений.*

Доказательство. 1) Покажем, что любое решение (4) является решением (5).

Предположим, что абсолютно непрерывная на некотором промежутке J функция x является решением дифференциального уравнения (4), т.е. для почти всех $t \in J$ выполнено равенство $\dot{x}(t) = \tau_{x(t)} f(t, x(t))$. Из утверждения (а) пункта 1.2.5

$\tau_{x(t)} f(t, x(t)) = f(t, x(t)) - \nu_{x(t)} f(t, x(t)) \in f(t, x(t)) - N_{x(t)}$, поэтому выполнено дифференциальное включение (5) $\dot{x}(t) \in f(t, x(t)) - N_{x(t)}$.

2) Теперь покажем, что любое решение (5) является решением (4). Пусть функция x есть решение дифференциального включения (5), т.е. для почти всех $t \in J$ выполнено включение $\dot{x}(t) \in f(t, x(t)) - N_{x(t)}$. Тогда найдётся вектор $u \in N_{x(t)}$ та-

кой, что $\dot{x}(t) = f(t, x(t)) - u$. В точке t $\dot{x}(t) = x'_+(t) = x'_-(t)$, по свойствам 1 и 2

пункта 1.2.6 имеем, $\dot{x}(t) \in T_{x(t)}$ и $(\dot{x}(t), u) \leq 0$, кроме того $-\dot{x}(t) \in T_{x(t)}$ и

$(\dot{x}(t), u) \geq 0$. Следовательно, $(\dot{x}(t), u) = 0$, что означает ортогональность векторов

$\dot{x}(t) \perp u$. С учётом $f(t, x(t)) = \dot{x}(t) + u$, $u \in N_{x(t)}$, $\dot{x}(t) \in T_{x(t)}$, $\dot{x}(t) \perp u$ и утверждения

(в) 1.2.5, имеем $\dot{x}(t) = \tau_{x(t)} f(t, x(t))$, что и требовалось доказать.

1.3. Модель одного класса электрических цепей с диодными преобразователями

1.3.1. Примеры диодных преобразователей тока.

В качестве первого примера рассмотрим мостовую схему однофазного двухполу- периодного выпрямителя, изображённого на рисунке 9. Все узлы 0, 1, 2 и 3 являются в нём внешними, т.е через них преобразователь может быть присоединён к другим электрическим элементам для образования более сложной цепи.

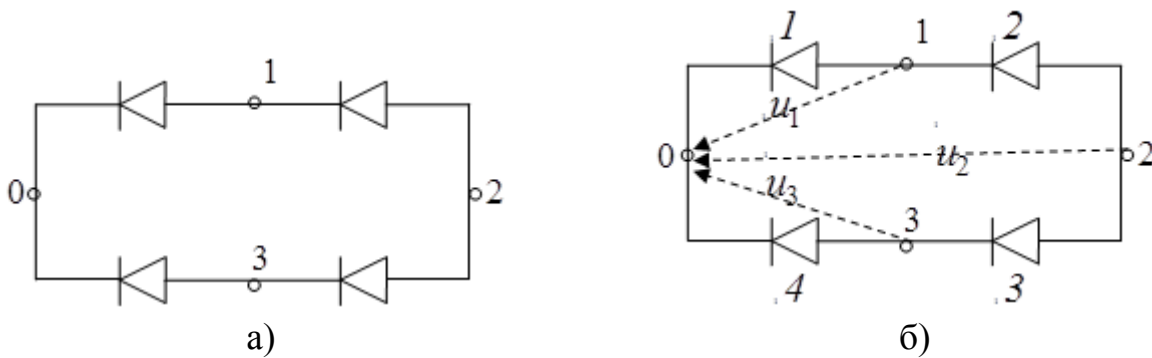


Рис. 9

Пронумеруем диоды преобразователя цифрами 1, 2, 3, 4 (рис. 9 б)) и обозначим через u_1, u_2, u_3 напряжения между нулевым узлом и узлами 1, 2, 3 соответственно. Тогда напряжения на диодах 1, 2, 3, 4 равны соответственно $u_1 = u_1$, $u_2 = u_2 - u_1$, $u_3 = u_2 - u_3$, $u_4 = u_3$. Из того, что напряжение идеальной модели диода (см. 1.1.1) принимает неположительные значения, получаем следующую систему неравенств

$$\begin{cases} u_1 \leq 0, \\ u_2 \leq u_1, \\ u_3 \leq 0, \\ u_2 \leq u_3. \end{cases}$$

Каждому неравенству соответствует полупространство в \mathbb{R}^3 , а множеством решений системы является пересечение этих полупространств, т.е. гранёный конус, который обозначим K^* .

Обозначим вектор внешних токов, входящих в узлы 1, 2 и 3, как $i = (i_1 \ i_2 \ i_3)$. Значения этих токов согласно первому закону Кирхгофа, по которому сумма выходящих из любого узла цепи токов равна нулю, выписываются

через токи диодов следующим образом (ток, входящий в нулевой узел равен $-(i_1 + i_2 + i_3)$)

$$\begin{cases} i_1 = x_1 - x_2, \\ i_2 = x_2 + x_3, \\ i_3 = x_4 - x_3. \end{cases} \text{ или в матричном виде } i = \begin{pmatrix} 1 & -1 & 0 & 0 \\ 0 & 1 & 1 & 0 \\ 0 & 0 & -1 & 1 \end{pmatrix} \cdot \begin{pmatrix} x_1 \\ x_2 \\ x_3 \\ x_4 \end{pmatrix}.$$

Поскольку ток на каждом диоде неотрицателен, вектор токов i принадлежит конической оболочке K столбцов матрицы $A = \begin{pmatrix} 1 & -1 & 0 & 0 \\ 0 & 1 & 1 & 0 \\ 0 & 0 & -1 & 1 \end{pmatrix}$. Заметим, что пер-

вый столбец матрицы A является вектором внешней нормали к подпространству $u_1 \leq 0$, второй столбец – к подпространству $u_2 \leq u_1$, третий – к подпространству $u_2 \leq u_3$ и четвёртый – к подпространству $u_3 \leq 0$. Это доказывает, что конус K^* является сопряжённым K . Кроме того вектор токов i ортогонален вектору напряжений $u = (u_1 \ u_2 \ u_3)$. Действительно, выразив из соотношений приведённых выше $u_2 = y_1 + y_2$ и $u_3 = y_1 + y_2 - y_4$, вычислим скалярное произведение (i, u) , при этом будем помнить, что произведение тока на напряжение для каждого идеального диода равно нулю (1.1.1).

$$\begin{aligned} (i, u) &= i_1 u_1 + i_2 u_2 + i_3 u_3 = \\ &= (x_1 - x_2) y_1 + (x_2 + x_3)(y_1 + y_2) + (x_4 - x_3) y_4 = \\ &= x_1 y_1 - x_2 y_1 + x_2 y_1 + x_2 y_2 + x_3 y_1 + x_3 y_2 + x_4 y_4 - x_3 y_4 = \\ &= x_1 y_1 + x_2 y_2 + x_4 y_4 + x_3 (y_1 + y_2 - y_4) = 0. \end{aligned}$$

Таким образом, мы выразили связь между внешними токами и напряжениями рассматриваемого диодного преобразователя в виде:

$$\begin{cases} i \in K, \\ u \in K^*, \\ (i, u) = 0. \end{cases} \quad (13)$$

В качестве второго примера диодного преобразователя возьмём схему трёхфазного двухполупериодного мостового выпрямителя (схема Ларионова) (рис. 10).

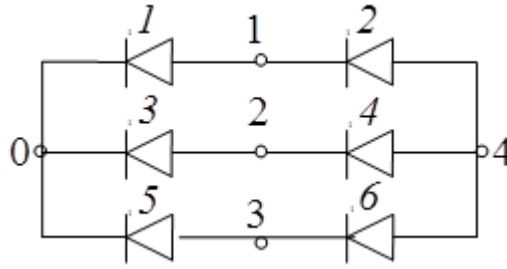


Рис. 10

Вводя обозначения $i = (i_1 \ i_2 \ i_3 \ i_4)$ – вектор внешних токов, входящих в узлы 1, 2, 3, 4 соответственно, и $u = (u_1 \ u_2 \ u_3 \ u_4)$ – вектор напряжений между нулевым узлом и узлами 1, 2, 3, 4 читателю предлагается самостоятельно вывести для этого преобразователя соотношение (13), в котором K – коническая оболочка столбцов матрицы

$$A = \begin{pmatrix} 1 & -1 & 0 & 0 & 0 & 0 \\ 0 & 0 & 1 & -1 & 0 & 0 \\ 0 & 0 & 0 & 0 & 1 & -1 \\ 0 & 1 & 0 & 1 & 0 & 1 \end{pmatrix},$$

а K^* – пересечение полупространств $u_1 \leq 0$, $u_4 \leq u_1$, $u_2 \leq 0$, $u_4 \leq u_2$, $u_5 \leq 0$, $u_4 \leq u_5$ является сопряжённым к K конусом.

Ближайшая наша цель – обоснование того, что сохранение внешним током и напряжением диодного преобразователя основного свойства идеального диода в виде (13) не является случайным, присущим только рассмотренным примерам.

Но прежде поговорим о некоторых свойствах конусов и линейных операторов, которые нам потребуются для решения этой поставленной задачи.

1.3.2. Дополнительные сведения о конусах.

Сначала дадим несколько определений, которые в той или иной форме упоминались в примерах пункта 1.2.1.

Определение. Выпуклой комбинацией произвольного конечного числа точек

x_1, x_2, \dots, x_s называют сумму $\sum_{i=1}^s \lambda_i x_i$ с неотрицательными коэффициентами

$\lambda_i \geq 0$, сумма которых равна единице $\sum_{i=1}^s \lambda_i = 1$.

Определение. Выпуклой оболочкой coA множества $A \subset \mathbb{R}^n$ называют множество всех возможных конечных выпуклых комбинаций точек из A .

Утверждение. Выпуклое множество совпадает со своей выпуклой оболочкой.

Доказательство. Пусть A – выпуклое множество. Включение $A \subset coA$ очевидно. Покажем обратное включение. Выберем произвольно точки x_1, x_2, \dots, x_s из множества A . Доказательство того, что их выпуклая комбинация тоже содержится в A проведём индукцией по числу точек s .

База индукции. Для $s = 1$ выпуклая комбинация совпадает с элементом $x_1 \in A$, а при $s = 2$ выпуклая комбинация $\lambda_1 x_1 + \lambda_2 x_2 = \lambda_1 x_1 + (1 - \lambda_1) x_2 \in A$ по определению выпуклости.

Шаг индукции. Предположим, что для $s = k$ любая выпуклая комбинация

$\sum_{i=1}^k \lambda_i x_i \in A$ ($\lambda_i > 0$, $\sum_{i=1}^k \lambda_i = 1$). Покажем, что тогда $\sum_{i=1}^{k+1} \lambda_i x_i$ ($\lambda_i > 0$, $\sum_{i=1}^{k+1} \lambda_i = 1$) тоже

содержится в A . Из равенства $\sum_{i=1}^{k+1} \lambda_i = 1$ имеем $1 - \lambda_{k+1} = \lambda_1 + \lambda_2 + \dots + \lambda_k > 0$, по-

этому $x = \frac{\lambda_1}{1 - \lambda_{k+1}} x_1 + \frac{\lambda_2}{1 - \lambda_{k+1}} x_2 + \dots + \frac{\lambda_k}{1 - \lambda_{k+1}} x_k$ является выпуклой комбинацией

из k элементов, по предположению индукции принадлежащей множеству A .

Тогда $\sum_{i=1}^{k+1} \lambda_i x_i = (1 - \lambda_{k+1}) x + \lambda_{k+1} x_{k+1} \in A$, так как A выпуклое.

Определение. Конической комбинацией произвольного конечного числа точек

x_1, x_2, \dots, x_s называют сумму $\sum_{i=1}^s \lambda_i x_i$ с неотрицательными коэффициентами

$\lambda_i \geq 0$.

Заметим, что выпуклая комбинация является частным случаем конической.

Определение. Множество всех конических комбинаций элементов множества M называют его конической оболочкой $conM$.

Напомним, что $conM$ – выпуклое множество и что конусом мы называли множество пространства \mathbb{R}^n , содержащее вместе с любыми двумя своими элементами их коническую комбинацию (примеры из 1.2.1). В дальнейшем мы будем пользоваться только замкнутыми выпуклыми конусами, поэтому дадим следующее определение.

Определение. Замкнутое выпуклое множество $K \subset \mathbb{R}^n$ будем называть конусом, если для любого элемента $x \in K$ и $\lambda \geq 0$ вектор $\lambda x \in K$.

При таком определении выполнено равенство $K^{**} = (K^*)^* = K$. Напомним, что мы определили в 1.2.4 сопряжённый к K конус равенством

$$K^* = \{y \in \mathbb{R}^n : \forall (x \in K) [(x, y) \leq 0]\}.$$

Конусы K и K^* будем называть взаимно сопряжёнными.

Следующее простое утверждение даёт эквивалентное определение конуса.

Утверждение. Если K – конус, то коническая комбинация $\sum_{i=1}^s \lambda_i x_i$ произвольного конечного числа s его элементов x_1, x_2, \dots, x_s тоже принадлежит K . Другими словами $K = \text{con}K$.

Доказательство. Если все коэффициенты конической комбинации нулевые, то она принадлежит K , так как ноль по определению содержится в любом конусе. В противном случае $\lambda = \lambda_1 + \lambda_2 + \dots + \lambda_s > 0$ и коническую сумму можно записать в виде $\sum_{i=1}^s \lambda_i x_i = \lambda \sum_{i=1}^s \frac{\lambda_i}{\lambda} x_i$, где $\sum_{i=1}^s \frac{\lambda_i}{\lambda} x_i$ – выпуклая комбинация, принадлежащая K в силу его выпуклости.

Утверждение об отделимости. Если y не принадлежит конусу K , то найдётся $g \in K^*$ такой, что $(y, g) > 0$.

Доказательство. По утверждению (б) из 1.2.5 y представим в виде суммы ортогональных элементов $x = P(y, K)$, $z = P(y, K^*)$. z отличен от нуля, так как иначе $y = x + 0 = x$ был бы элементом K . В качестве g возьмём элемент

$z = P(y, K^*) \in K^*$, тогда скалярное произведение

$$(y, g) = (x + z, z) = (x, z) + (z, z) = 0 + \|z\|^2 > 0.$$

Утверждение. Любой конус $K \subset \mathbb{R}^n$ есть пересечение содержащих его замкнутых полупространств.

Доказательство. Обозначим через Q пересечение замкнутых полупространств, содержащих K . Включение $K \subset Q$ очевидно. Покажем обратное включение.

Пусть $x \notin K$, тогда по утверждению об отделимости найдётся $g \in K^*$, такое, что $(x, g) > 0$. Полупространство $\{v : (v, g) \leq 0\}$ содержит K , но не содержит x (подпространство $\{v : (v, g) = 0\}$ отделяет x от K), поэтому $x \notin Q$.

1.3.3. Образ и ядро линейного оператора.

В этом пункте мы кратко напомним хорошо известные определения и свойства линейного оператора в конечномерном пространстве, которые нам потребуются в дальнейшем.

Пусть оператор $A: \mathbb{R}^m \rightarrow \mathbb{R}^n$ является линейным.

Определение. *Образом* $\text{Im} A$ линейного оператора A называют множество его значений $\text{Im} A = \{b \in \mathbb{R}^n : \exists (x \in \mathbb{R}^m) [Ax = b]\}$. Другими словами $b \in \text{Im} A$ в том случае, когда линейная неоднородная система $Ax = b$ разрешима.

Определение. *Ядром* $\text{Ker} A$ линейного оператора A называют множество всех решений однородной системы $Ay = 0$, т.е. $\text{Ker} A = \{y \in \mathbb{R}^m : Ay = 0\}$.

Определение. Для линейного оператора $A: \mathbb{R}^m \rightarrow \mathbb{R}^n$ *сопряжённым* ему A^* называют такой оператор $A^*: \mathbb{R}^n \rightarrow \mathbb{R}^m$, для которого выполнено равенство $(Ax, y) = (x, A^*y)$ для всех $x \in \mathbb{R}^m$ и $y \in \mathbb{R}^n$.

Определение. Если E – подпространство \mathbb{R}^n , то $E^\perp := \{y : \forall (x \in E) [y \perp x]\}$, которое тоже является подпространством \mathbb{R}^n , называется *ортогональным* E .

Справедливы два утверждения: $(E^\perp)^\perp = E$ и $\mathbb{R}^n = E \oplus E^\perp$, т.е. для любого $x \in \mathbb{R}^n$ найдётся единственная пара $y \in E$ и $z \in E^\perp$ таких, что $x = y + z$.

Если подпространства E и E^\perp рассматривать как сопряжённые конуса K и K^* (пример 5 1.2.4), то, как мы видели ранее (пример 4 1.2.4, 1.2.5), получаются аналогичные утверждения.

Утверждение. Для линейного оператора $A: \mathbb{R}^m \rightarrow \mathbb{R}^n$ справедливы равенства: 1) $(\text{Im} A)^\perp = \text{Ker} A^*$; 2) $(AE)^\perp = (A^*)^{-1} E^\perp$; 3) $(AK)^* = (A^*)^{-1} K^*$. (14)

Первые два равенства хорошо известны, первое эквивалентно альтернативе Фредгольма для линейного оператора “либо уравнение $Ax = b$ имеет решение при любой правой части b , либо сопряжённое к нему уравнение $A^*y = 0$ имеет нетривиальное решение”.

Докажем только третье равенство.

Доказательство. Для произвольного $z \in (AK)^*$ по определению сопряжённого конуса скалярное произведение $(z, y) \leq 0$ при любом $y \in AK$ ($y = Ax, x \in K$). Это означает, что для всех $x \in K$ $(z, Ax) \leq 0$ или $(A^*z, x) \leq 0$, откуда $A^*z \in K^*$ или $z \in (A^*)^{-1}K^*$. В этой цепочке рассуждений везде были эквивалентные переходы

$$\begin{aligned} z \in (AK)^* &\Leftrightarrow \forall (y \in AK) [(z, y) \leq 0] \Leftrightarrow \forall (x \in K) [(z, Ax) \leq 0] \Leftrightarrow \\ &\Leftrightarrow \forall (x \in K) [(A^*z, x) \leq 0] \Leftrightarrow A^*z \in K^* \Leftrightarrow z \in (A^*)^{-1}K^*, \end{aligned}$$

поэтому равенство $(AK)^* = (A^*)^{-1}K^*$ доказано.

1.3.4. Граненые конусы.

Определение. Конус K называется *гранёным* (многогранным), если он представим в виде пересечения конечного набора замкнутых полупространств.

Другими словами конус K в этом случае определяется системой нестрогих неравенств

$$\begin{cases} (x, c_1) \geq 0, \\ (x, c_2) \geq 0, \\ \dots \\ (x, c_m) \geq 0. \end{cases} \quad (15)$$

Примеры. Покажите, что следующие множества являются гранёными конусами.

- 1) Любое замкнутое полупространство.
- 2) Любое подпространство \mathbb{R}^n .
- 3) Произвольный луч, выходящий из нуля.
- 4) Пересечение конечного числа гранёных конусов.

Определение. Множество K' решений системы, которая получена из (15) заменой некоторых неравенств на равенства, называют гранью конуса K .

Пример. 5) Покажите, что пересечение конуса K с подпространством является гранью K .

Определение. Грань K' называется *минимальной*, если в системе, определяющей её все неравенства (15) заменены равенствами.

Минимальная грань, очевидно, содержится в любой другой грани конуса K и является подпространством \mathbb{R}^n . Отметим, что каждая грань K' конуса K вместе с ним тоже является гранёным конусом, так как равенство $(x, c_i) = 0$ эквива-

лентно системе неравенств
$$\begin{cases} (x, c_i) \geq 0, \\ (x, -c_i) \geq 0. \end{cases}$$
 Кроме того каждая грань конуса K' яв-

ляется гранью K . Заметим ещё, что у гранёного конуса конечное число граней.

Определение. Гранёный конус K называют *заострённым*, если его минимальная грань состоит только из нулевой точки.

Определение. Одномерные грани конуса $K \subset \mathbb{R}^n$ (получаемые заменой $n - 1$ линейно независимых неравенств в (15) равенствами) называют *рёбрами* K .

Заострённый конус имеет рёбра, так как ранг матрицы системы, определяющей минимальную грань для него, равен n .

Определение. Конусом, *натянутым* на множество M назовём замыкание конической оболочки этого множества, т.е. $K(M) = \overline{\text{con}M}$.

Пример. б) Покажите, что \mathbb{R}^n является конусом, натянутым на объединение любого своего базиса $\{x_1, x_2, \dots, x_n\}$ с вектором $x = -(x_1 + x_2 + \dots + x_n)$.

Утверждение. Любой многогранный конус K натянут на объединение его минимальной грани с некоторым заострённым конусом.

Доказательство. Обозначим через K'_{\min} минимальную грань и определим

$K_1 = (K'_{\min})^\perp \cap K$. K_1 – гранёный конус (пример 4), причём заострённый, так как K'_{\min} пересекается с $(K'_{\min})^\perp$ только в нулевой точке, а как нетрудно проверить система уравнений для минимальной грани конуса K_1 совпадает с системой, описывающей $K'_{\min} \cap (K'_{\min})^\perp$.

Очевидно, что $\overline{\text{con}\{K'_{\min} \cup K_1\}} \subset K$. С другой стороны, для произвольного $x \in \mathbb{R}^n$ существует разложение $x = y + z$, $y \in K'_{\min}$, $z \in (K'_{\min})^\perp$. Если $x \in K$, то $z = x + (-y)$, где $(-y) \in K'_{\min} \subset K$, поэтому $z \in K$, и следовательно $z \in K_1$, а $x \in \text{con}\{K'_{\min} \cup K_1\}$.

Утверждение. Произвольный элемент x заострённого конуса K размерности не меньше двух представим в виде суммы двух элементов $x = x_1 + x_2$, принадлежащих граням меньшей, чем K , размерности.

Доказательство. Если x лежит на одной из граней K с меньшей размерностью, то $x = x + 0$ и утверждение выполнено. При ином положении x возьмём произвольно $y \in K$, $y \neq 0$ и не коллинеарный x , построим двумерную плоскость E по трём точкам ноль, x и y . $K_1 = K \cap E$ является двумерным заострённым конусом (пример 4). Построив на его рёбрах параллелограмм с вершиной x , получим нужные слагаемые (рис. 11).

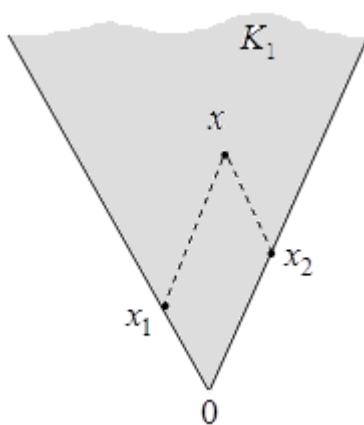


Рис. 11

Более строгое аналитическое доказательство можно найти в главе V [Беклемишев Д.В. Дополнительные главы линейной алгебры. – М.: Наука, 1983. –336 с.]
оформить ссылку

Утверждение. Любой заострённый конус натянут на свои рёбра.

Доказательство. Конус, натянутый на рёбра заострённого конуса K , содержится в K очевидным образом. Покажем, что любой элемент $x \in K$ принадлежит конической комбинации рёбер K . Доказательство этого факта проведём методом индукции по размерности конуса K . Если K одномерный, то он состоит только из ребра и утверждение выполнено. Пусть для заострённых конусов размерности r утверждение верно, и пусть K имеет размерность $2 \leq r + 1 \leq n$. В этом случае по предыдущему утверждению возможно представление $x = x_1 + x_2$, где x_1 и x_2 принадлежат граням конуса K размерности не большей r . Тогда по предположению индукции x_1 и x_2 представимы в виде конической комбинации рёбер соответствующих граней и конуса K , а вместе с ними x тоже.

Утверждение. Любой гранёный конус натянут на конечное множество векторов. Действительно, гранёный конус K натянут на $K'_{\min} \cup K_1$, где K_1 – заострённый, и поэтому натянут на конечное число векторов, K'_{\min} является подпространством и тоже натянуто на конечное множество (см. пример 6).

Утверждение. Если K – натянут на конечное множество, то K^* – гранёный конус.

Доказательство. Пусть K натянут на множество $\{x_1, x_2, \dots, x_s\}$, и P_1, P_2, \dots, P_s – полупространства с внешними нормальными x_1, x_2, \dots, x_s соответственно ($(x_i, y) \leq 0$

при всех $y \in P_i, i = 1, \dots, s$). Очевидно $K^* = \bigcap_{i=1}^s P_i$.

Следствие. Из двух предыдущих утверждений следует, что если один из сопряжённых конусов – гранёный, то и второй тоже.

1.3.5. Диодная нелинейность.

Как показано в п. 1.2.8, обобщенная система с диодной нелинейностью для выпуклого замкнутого множества Q может быть записана в виде дифференциального включения (5):

$$\dot{x} \in f(t, x) - N_x.$$

Значение многозначного оператора $x \mapsto N_x$, сопоставляющего любой точке $x \in Q$ нормальный конус к Q в этой точке, мы подробнее будем обозначать $N(Q)x$ и называть сам оператор $N(Q)$ (обобщенной) *диодной нелинейностью, порожденной множеством Q* . В этом параграфе мы рассмотрим важный частный случай – диодную нелинейность $N(K)$, порожденную конусом $K \subset \mathbb{R}^n$. Для этого случая отметим

свойства диодной нелинейности:

(а) *следующие утверждения эквивалентны*

$$y \in N(K)x \Leftrightarrow x = P(y+x, K) \Leftrightarrow x \in K \wedge y \in K^* \wedge y \perp x;$$

$$(б) (N(K))^{-1} = N(K^*).$$

Доказательство. Первая эквивалентность в (а) следует из определения нормального конуса (7) и эквивалентного определения проекции (6):

$$y \in N(K)x \Leftrightarrow \forall (z \in K) [(y, z-x) \leq 0] \Leftrightarrow$$

$$\Leftrightarrow \forall (z \in K) [(y+x-x, z-x) \leq 0] \Leftrightarrow x = P(y+x, K).$$

Вторая вытекает из утверждений (а) и (в) об ортогональном разложении по сопряженным конусам (1.2.5).

Утверждение (б) вытекает из определения обратного отображения и второй эквивалентности в (а):

$$x \in (N(K))^{-1} y \Leftrightarrow y \in N(K)x \Leftrightarrow (x \in K \wedge y \in K^* \wedge x \perp y) \Leftrightarrow x \in N(K^*)y.$$

Пример. Покажите, что для гранёного конуса K диодная нелинейность $N(K)$ ставит в соответствие каждому элементу $x \in K$ ортогональную x грань сопряжённого конуса K^* (пересечение $(n-1)$ -мерного ортогонального x подпространства с K^*).

1.3.6. Утверждение о линейном преобразовании диодной нелинейности.

Пусть $A: \mathbb{R}^m \rightarrow \mathbb{R}^n$ и $B: \mathbb{R}^m \rightarrow \mathbb{R}^n$ линейные операторы, K – конус в \mathbb{R}^m .

Тогда:

$$1) N(AK) = (A^*)^{-1} N(K); \tag{16}$$

$$2) N\left(\left(B^*\right)^{-1} K\right) = BN(K). \tag{17}$$

Доказательство. Заметим, что первое утверждение другими словами означает (свойство (а) из 1.3.5), что из соотношений

$$i \in K, u \in K^*, i \perp u, \quad (18)$$

$$Ai = I, u = A^*U$$

следует

$$I \in AK, U \in (AK)^*, I \perp U; \quad (19)$$

Действительно,

$$I = Ai \in AK, U \in (A^*)^{-1} K^*, (U, I) = (U, Ai) = (A^*U, i) = (u, i) = 0.$$

Остается заметить (см. ((14)), что

$$(A^*)^{-1} K^* = (AK)^*,$$

и мы получаем соотношения (19), а вместе с ними доказательство равенства (16). Второе утверждение (17) доказывается аналогично с учетом того, что оно утверждает следование из (18) и равенств

$$i = B^*I, U = Bu$$

соотношения

$$I \in (BK^*)^*, U \in BK^*, I \perp U,$$

а также с учётом равенства $K^{**} = K$ (см. 1.3.2).

1.3.7. Теорема о внешней характеристике диодного преобразователя

Рассмотрим *диодный преобразователь*, представляющий из себя электрическую цепь из m идеальных диодов. Все узлы этой цепи мы считаем ее *входами*, т.е. контактами, через которые данный диодный преобразователь может соединяться с другими цепями. Входы (узлы) пронумерованы в каком-то порядке целыми числами от 0 до n . В каждом диоде положительным направлением тока считается направление от анода к катоду. Ток j -того диода обозначим через x_j , напряжение (от анода к катоду) – через y_j . *Входной ток*, т.е. ток, идущий от внешней цепи к диодному преобразователю через k -тый вход, будем обозначать i_k ($k = 1, 2, \dots, n$); *входное напряжение*, т.е. напряжение между k -м и нулевым входами – u_k . Связь между вектором $x = (x_1, x_2, \dots, x_m)$ анодных токов диодов и вектором $i = (i_1, i_2, \dots, i_n)$ входных токов по первому закону Кирхгофа запишем в виде уравнения

$$Ax = i. \quad (20)$$

Здесь A – матрица с элементами

$$a_{kj} = \begin{cases} 1, & \text{если анод } j \text{ – того диода соединен с } k \text{ – тым узлом,} \\ -1, & \text{если катод } j \text{ – того диода соединен с } k \text{ – тым узлом,} \\ 0 & \text{в остальных случаях.} \end{cases} \quad (21)$$

Для нулевого узла мы не пишем уравнение токов, поскольку оно является следствием уже написанных и того факта (гипотезы), что сумма всех входных токов равна нулю.

Теорема. Векторы входных напряжений и входных токов диодного преобразователя связаны оператором диодной нелинейности

$$u \in N(K)i, \quad (22)$$

где конус K определяется равенством:

$$K = AR_+^m = \text{con} \{A^1, A^2, \dots, A^m\}, \quad A^j \text{ – столбцы матрицы } A.$$

Доказательство. Вольтамперную характеристику идеального диода можно записать в виде:

$$x_k \in \mathbf{R}_+, y_k \in -\mathbf{R}_+, x_k y_k = 0.$$

Это означает, что

$$x \in \mathbf{R}_+^m, y \in -\mathbf{R}_+^m = (\mathbf{R}_+^m)^*, (x, y) = 0.$$

Следовательно, зависимость y от x описывается оператором диодной нелинейности:

$$y \in N(\mathbf{R}_+^m)x. \quad (23)$$

Отметим связь анодных напряжений диодов с входными напряжениями. Пусть $k(j,+)$ есть номер узла, с которым соединен анод j -того диода, а $k(j,-)$ – соответствующий номер узла для катода. Тогда

$$y_j = u_{k(j,+)} - u_{k(j,-)}.$$

В матрице A у столбца с номером j ненулевыми могут быть только элементы с номерами $k(j,+)$ и $k(j,-)$. Если один из этих номеров равен нулю, то соответствующее входное напряжение также равно нулю. Сказанное позволяет сделать вывод, что

$$y = A^* u. \quad (24)$$

Теперь из (23) и (24) в силу утверждения о линейном преобразовании диодной нелинейности вытекает (22).

1.3.8. Пример: двухполупериодный выпрямитель с цепями питания и нагрузки.

На примере электрической цепи, изображенной на рисунке 12, продемонстрируем процесс получения модели в виде СДН.

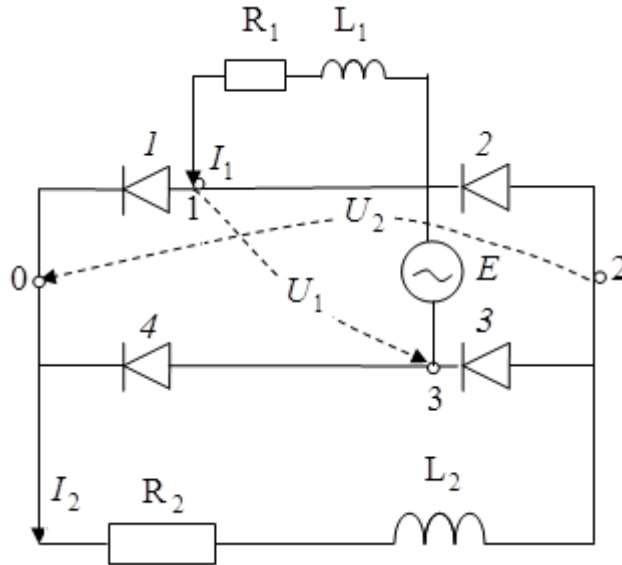


Рис. 12

Итак, составим систему уравнений цепи (рис. 12), для этого введём обозначения. Ток *цепи питания* EL_1R_1 обозначим через I_1 , *цепи нагрузки* L_2R_2 – через I_2 . Выбор положительных направлений отмечен стрелками. Входное напряжение цепи питания (между узлами 1 и 3) обозначим через U_1 , цепи нагрузки (между узлами 0 и 2) – через U_2 . Уравнения этих цепей можно записать в виде:

$$\begin{aligned} L_1 \dot{I}_1 + R_1 I_1 + U_1 &= E(t), \\ L_2 \dot{I}_2 + R_2 I_2 + U_2 &= 0. \end{aligned} \quad (25)$$

Используем обозначения, $x = (x_1, x_2, x_3, x_4)$ и $y = (y_1, y_2, y_3, y_4)$ – векторы анодных токов и напряжений диодов, $i = (i_1, i_2, i_3)$ и $u = (u_1, u_2, u_3)$ – внешних токов и напряжений диодного преобразователя. По теореме о внешней характеристике диодного преобразователя 1.3.7 $u \in N(K)i$ (21), где $K = AR_+^4$, а линейный оператор A определяется матрицей

$$\begin{pmatrix} 1 & -1 & 0 & 0 \\ 0 & 1 & 1 & 0 \\ 0 & 0 & -1 & 1 \end{pmatrix} \quad (\text{см. первый пример 1.3.1}).$$

Заметим, что входные токи и напряжения I, U внешних цепей связаны с входными токами и напряжениями i, u диодного преобразователя равенствами:

$$i = \begin{pmatrix} 1 & 0 \\ 0 & 1 \\ -1 & 0 \end{pmatrix} I, \quad U = \begin{pmatrix} 1 & 0 & -1 \\ 0 & 1 & 0 \end{pmatrix} u.$$

Из утверждения о линейном преобразовании диодной нелинейности 1.3.6 (17) получаем:

$$U \in BK^*, I \in (BK^*)^*, \text{ где } B = \begin{pmatrix} 1 & 0 & -1 \\ 0 & 1 & 0 \end{pmatrix}.$$

Введем обозначение $K_1 := (BK^*)^*$. Тогда математическая модель рассматриваемой цепи будет представлена уравнениями (25) и соотношениями

$$I \in K_1, U \in K_1^*, I \perp U.$$

В дифференциальных уравнениях этой системы коэффициенты при производных не равны единице, поэтому она еще не полностью приведена к виду системы с диодной нелинейностью. Чтобы завершить преобразование, сделаем еще одну линейную замену переменных:

$$\begin{pmatrix} \sqrt{L_1} & 0 \\ 0 & \sqrt{L_2} \end{pmatrix} I = X, \quad \begin{pmatrix} \sqrt{L_1} & 0 \\ 0 & \sqrt{L_2} \end{pmatrix} Y = U.$$

Тогда модель запишется в виде дифференциального включения:

$$\dot{X} \in e(t) - rX - N(K_2)X, \text{ где} \quad (26)$$

$$e(t) = \begin{pmatrix} E(t) / \sqrt{L_1} \\ 0 \end{pmatrix}, \quad r = \begin{pmatrix} R_1 / L_1 & 0 \\ 0 & R_2 / L_2 \end{pmatrix}, \quad K_2 = \begin{pmatrix} \sqrt{L_1} & 0 \\ 0 & \sqrt{L_2} \end{pmatrix} K_1.$$

Ее можно также записать в виде уравнения:

$$\dot{X} = \tau_X [e(t) - rX]. \quad (27)$$

Здесь τ_X – оператор проектирования на конус, касательный к K_2 в точке X .

Для данного примера цепи конус K_1 можно найти непосредственно, не производя последовательно приведенных выше преобразований. Заметим (см. рисунок 12), что справедливы следующие равенства:

$$I_1 = x_1 - x_2, \quad I_2 = x_1 + x_4 = x_2 + x_3.$$

Из них получаются соотношения между I_1, I_2 :

$$I_1 + I_2 = x_1 + x_3 \geq 0, \quad I_1 - I_2 = -x_2 - x_4 \leq 0.$$

Итак,

$$I \in K_1 \Rightarrow I_2 \geq -I_1 \wedge I_2 \geq I_1.$$

Аналогичные соотношения справедливы для напряжений U_1, U_2 :

$$U_1 = y_1 - y_4, U_2 = y_2 + y_1 = y_3 + y_4;$$

$$U_1 + U_2 = y_1 + y_3 \leq 0, U_1 - U_2 = -y_4 - y_2 \geq 0;$$

$$U \in K_1^* \Rightarrow U_2 \leq -U_1 \wedge U_2 \leq U_1 .$$

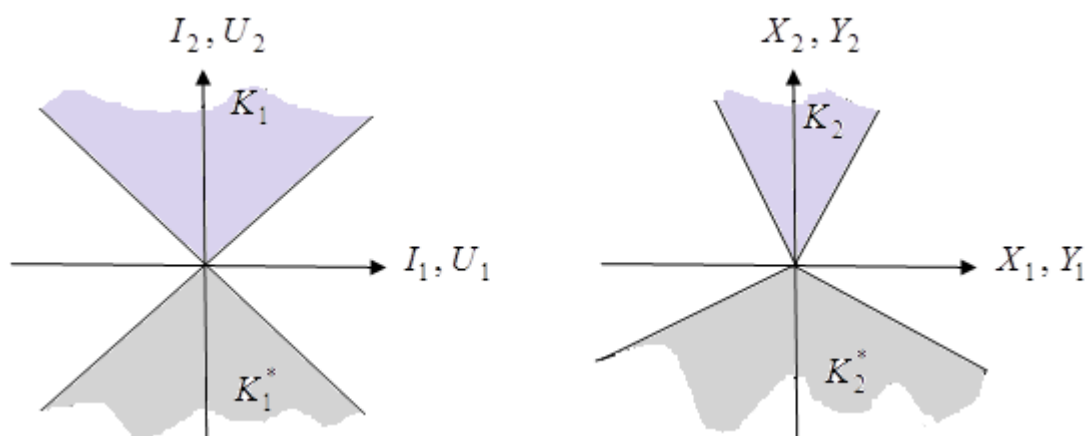


Рис. 13

1.3.9. Численные эксперименты.

Здесь приведены программа использования системы символьной математики “Mathematica 6” для численного выражения математической модели электрической цепи, описанной в предыдущем пункте 1.5.8, и полученные с её помощью графики. Модель цепи реализована для частного случая

$$L_1 = R_1 = L_2 = R_2 = 1, E(t) = 5 \cos 6t, \text{ с нулевым начальным условием.}$$

На первой картинке изображена фазовая траектория вектора X (совпадающего при данных параметрах с I), которая совершает начальный подъём по правой границе конуса K_2 с последующим переходом на периодические колебания между правым и левым ограничивающими конус лучами. На втором рисунке изображены графики координат вектора X , демонстрирующие основную задачу диодного преобразователя данной цепи как выпрямителя тока: красным цветом отмечена первая координата X_1 , совпадающая с током цепи питания, зелёным – вторая координата X_2 , совпадающая с током цепи нагрузки.

$$L1 = 1; L2 = 1; R1 = 1; R2 = 1; E0 = 5; Q = 6;$$

```
x0=0;y0=0;T=5;M=1000;
```

```
G4=Plot[x*(Sqrt[L2]/Sqrt[L1]),{x,-1,1},PlotStyle->Blue];
```

```
G5=Plot[-(Sqrt[L2]/Sqrt[L1])*x,{x,-1,1},PlotStyle->Blue];
```

```
NDSolve[{x'[t] ==- (R1/L1)*x[t]-M*Max[0,x[t]*Sqrt[L2]-y[t]*Sqrt[L1]]-
```

```
M*Min[0,x[t]*Sqrt[L2]+y[t]*Sqrt[L1]]+(E0/Sqrt[L1])*Cos[Q*t],
```

```
y'[t] ==- (R2/L2)*y[t]+M*Max[0,x[t]*Sqrt[L2]-y[t]*Sqrt[L1]]-
```

```
(M)*Min[0,y[t]*Sqrt[L1]+x[t]*Sqrt[L1]],x[0] ==x0,y[0] ==y0},{x,y},{t,0,T}];
```

```
G1=Plot[{Evaluate[{x[t]}/.%}],{t,0,T},PlotStyle->RGBColor[1,0,0]];
```

```
G2=Plot[{Evaluate[{y[t]}/.%%}],{t,0,T},PlotStyle->RGBColor[0,1,0]];
```

```
G3=ParametricPlot[{Evaluate[{x[t],y[t]}/.%%}],{t,0,T},PlotStyle->
```

```
RGBColor[0,1,0]];
```

```
Show[G4,G5,G3,PlotRange->{{-1,1},{0,0.4}}]
```

```
Show[G1,G2,PlotRange->{{0,5},{-0.2,0.4}}]
```

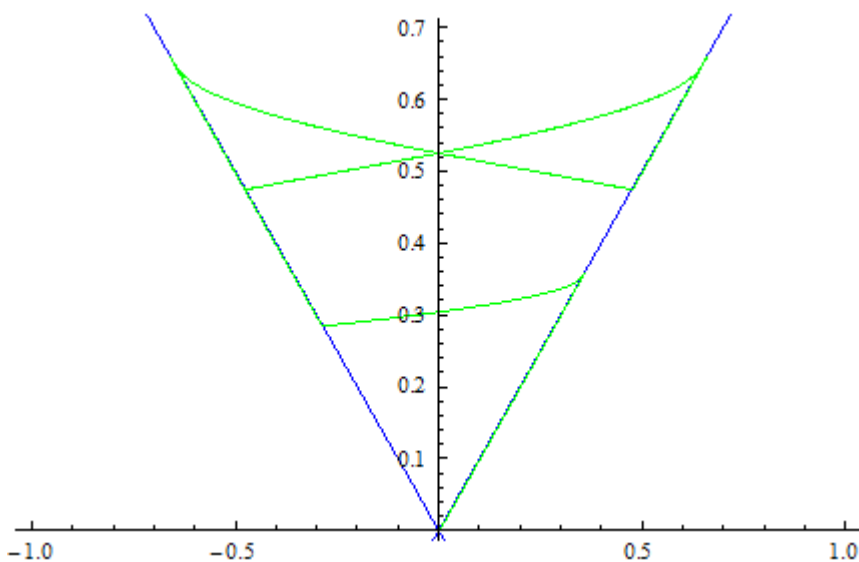
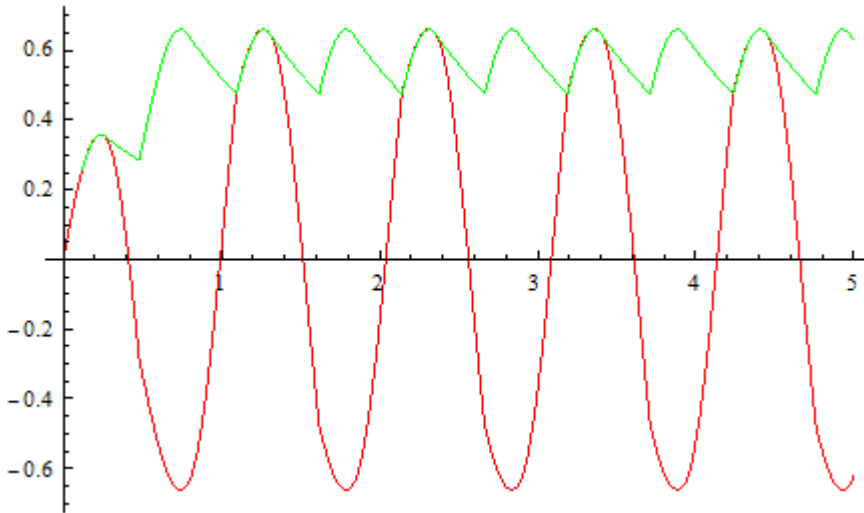
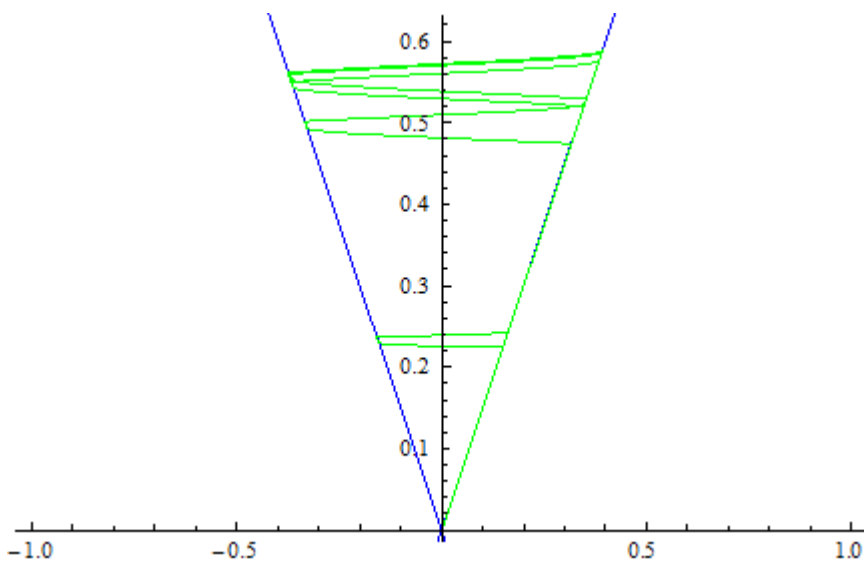


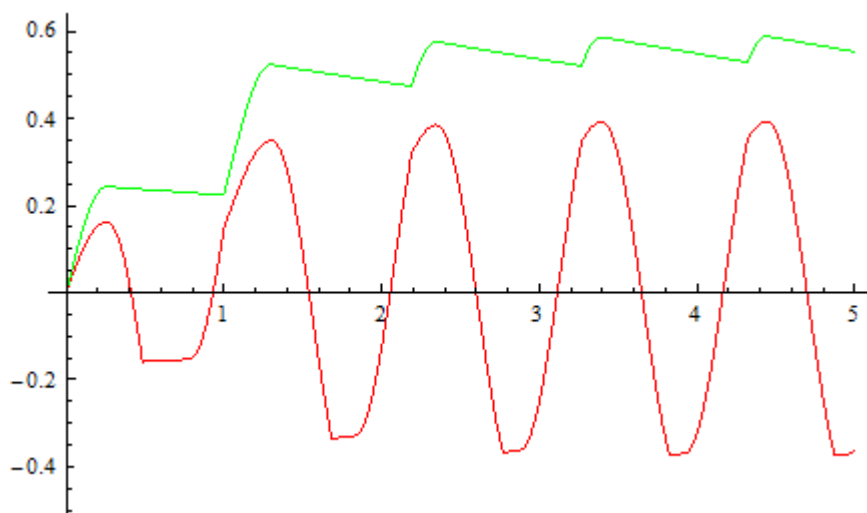
Рис. 14 фазовый портрет I

Рис. 15 графики токов I_1 и I_2

Следующий график иллюстрирует деформацию конуса K_2 при изменении параметров индуктивностей. Асимметричность периодических колебаний на этом графике объясняется изменением соотношения между параметрами индуктивностей.

$L_1 = 4$; $L_2 = 9$; $R_1 = 1$; $R_2 = 1$; $E_0 = 5$; $Q = 6$;

Рис. 16 фазовый портрет X

Рис. графики координат X

1.3.10. Условие существования модели в виде СДН для электрической цепи с диодами.

Элементы источников тока и напряжения будем обозначать буквой S , сопротивления — R , ёмкости — C , индуктивности — L , диодов — D .

Рассмотрим электрическую связную цепь, состоящую из элементов S , R , C , L и D .

В теории электрических цепей для того, чтобы выписать законы Кирхгофа, строят тем или иным образом дерево графа цепи, включающее в себя все узлы графа и не содержащее ни одного контура. Ветви (элементы), не вошедшие в дерево, называют *ветвями связи*, каждая из них замыкает в точности один *главный контур*, содержащий помимо данной ветви только ветви дерева. С другой стороны, каждая ветвь дерева образует ровно одно *главное сечение* — набор ветвей, включающий помимо данной ветви дерева все те ветви связи, главные контуры которых содержат выбранную ветвь дерева. Если обозначить через \bar{U} вектор напряжений, через \bar{I} — вектор токов в ветвях связи, а за через U и I — в ветвях дерева, то уравнения главных контуров $\bar{U} = M \cdot U$ будут связаны с уравнениями главных сечений $I = -M^* \cdot \bar{I}$ общей матрицей M [Лисицкая И.Н., Сеницкий Л.А., Шумков Ю.М.

Анализ электрических цепей с магнитными и полупроводниковыми элементами. Киев: Наукова думка. 1969].

Обозначим через D_1 множество всех диодов, параллельно подключенных в рассматриваемой цепи к ёмкостям (то есть образующих контур с одной из ёмкостей цепи), а количество диодов в D_1 через k_1 . Остальную часть диодов цепи обозначим D_2 и число элементов в ней – k_2 . Пронумеровав отдельно диоды в D_1 и D_2 в произвольном порядке, сформируем диодный преобразователь D следующим образом. Все элементы D_1 присоединим к преобразователю, считая их его ветвями и обозначим эту часть через D_1 , а из элементов D_2 построим диодный преобразователь D_2 так, как описано в 1.3.7, присоединив его к D . Рассмотрим вектора

$x := (y_1, y_2, \dots, y_{k_1}, x_1, x_2, \dots, x_{k_2})^T$ – k_1 анодных напряжений диодов D_1 , k_2 анодных токов диодов D_2 и $y := (x_1, x_2, \dots, x_{k_1}, y_1, y_2, \dots, y_{k_2})$ – k_1 анодных токов диодов D_1 , k_2 анодных напряжений диодов D_2 . Эти вектора принадлежат взаимно сопряжённым конусам $\mathbb{R}_-^{k_1} \times \mathbb{R}_+^{k_2}$, $\mathbb{R}_+^{k_1} \times \mathbb{R}_-^{k_2}$ и их скалярное произведение равно нулю, то есть они связаны оператором диодной нелинейности. Тогда смешанный вектор анодных напряжений на диодах части D_1 и токов на входах преобразователя D_2 выражается через x равенством

$$v := (u_1, u_2, \dots, u_{k_1}, i_1, i_2, \dots, i_n)^T = \begin{pmatrix} E & 0 \\ 0 & A \end{pmatrix} \cdot x, \quad \text{здесь}$$

матрица A из 1.3.7, а E – единичная матрица размерности k_1 .

$u := (i_1, i_2, \dots, i_{k_1}, u_1, u_2, \dots, u_n)$ – вектор токов диодов части преобразователя D_1 , и

напряжений в ветвях части D_2 связан с y равенством $y = \begin{pmatrix} E & 0 \\ 0 & A \end{pmatrix}^* u = \begin{pmatrix} E & 0 \\ 0 & A^* \end{pmatrix} u$

(смотри 1.3.7). Поэтому в силу утверждения 1.3.6 оператором диодной нелинейности связаны вектора u и v .

Будем предполагать, что электрическая цепь удовлетворяет следующему условию:

любой путь цепи из линейных элементов S, R, C, L , соединяющий два входа части D_2 диодного преобразователя, содержит хотя бы одну индуктивность. (LC-условие)

Теперь разобьём все элементы цепи на шесть групп: 1) C ; 2) D_2 ; 3) S ; 4) R ; 5) L ; 6) D_1 . Внутри группы 1) первыми пронумеруем ёмкости, параллельно присоединённые к диодам из D_1 , а затем остальные ёмкости в произвольном порядке. Внутри групп 3), 4), 5) пронумеруем элементы в произвольном порядке, а во второй и шестой группах оставим нумерацию от формирования преобразователя D . Построим дерево цепи, перебирая группы и элементы внутри групп согласно выбранной нумерации, будем присоединять элемент к дереву всякий раз, когда он не образует ни одного контура с включёнными ранее в дерево элементами.

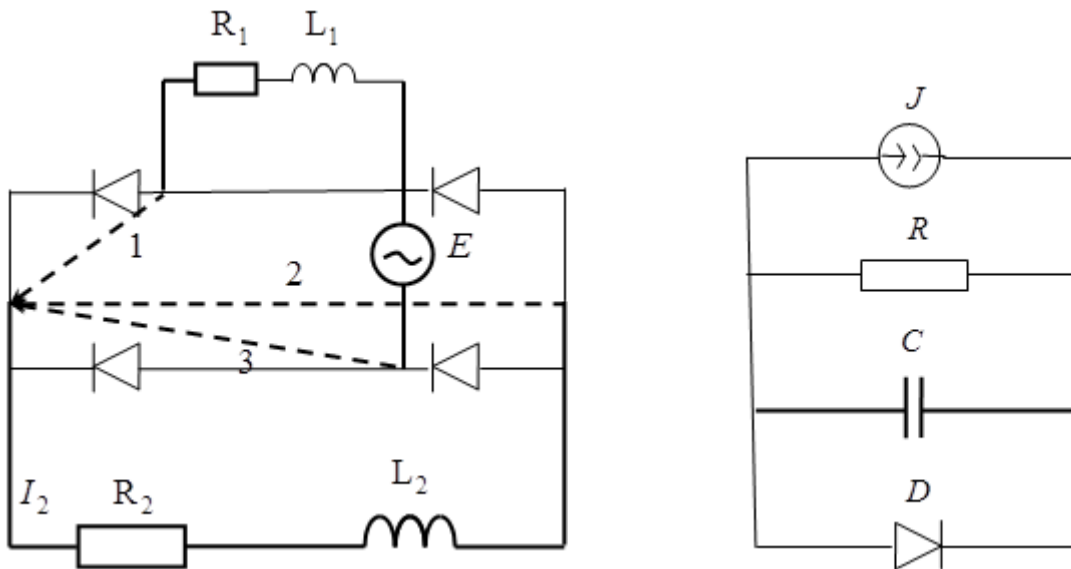


Figura 2.

Например, для каждой из двух изображённых цепей выполняется LC-условие, их деревья отмечены жирными линиями. По приведённому алгоритму в дерево цепи слева сначала включаются ветви 1, 2 и 3 диодного преобразователя, построенного на множестве диодов цепи (они отмечены серым цветом), затем ветвь источника напряжения E . Наконец последними присоединяются ветви сопротивлений R_1 и

R_2 . Ветви L_1 и L_2 являются здесь ветвями связей. Для этой цепи множества C и D_1 пусты. Дерево цепи справа состоит только из одной ветви ёмкости C , остальные являются ветвями связи. Для этой цепи множества L и D_2 пусты.

Из описания процедуры построения дерева и LC -условия очевидно следует, что все ветви D_2 войдут в дерево, а все диоды D_1 будут ветвями связи.

После того как дерево будет построено, перенумеруем в каждой группе отдельно элементы дерева и элементы связи (не вошедшие в дерево) в порядке старой нумерации. Токи и напряжения ветвей связи будем помечать чертой вверху. Отметим, что нумерация в диодном преобразователе не изменится.

В результате уравнения главных контуров и главных сечений по построенному дереву запишутся в следующем виде.

$$\bar{u}_C = M_{11}u_C, \quad (1к)$$

(2к)

$$\bar{u}_S = M_{31}u_C + M_{33}u_S, \quad (3к)$$

$$\bar{u}_R = M_{41}u_C + M_{43}u_S + M_{44}u_R, \quad (4к)$$

$$\bar{u}_L = M_{51}u_C + M_{52}u_{D_2} + M_{53}u_S + M_{54}u_R + M_{55}u_L, \quad (5к)$$

$$\bar{u}_{D_1} = M_{61}u_C, \quad (6к)$$

$$i_C = -M_{11}^* \bar{i}_C - M_{31}^* \bar{i}_S - M_{41}^* \bar{i}_R - M_{51}^* \bar{i}_L - M_{61}^* \bar{i}_{D_1}, \quad (1с)$$

$$i_{D_2} = -M_{52}^* \bar{i}_L, \quad (2с)$$

$$i_S = -M_{33}^* \bar{i}_S - M_{43}^* \bar{i}_R - M_{53}^* \bar{i}_L, \quad (3с)$$

$$i_R = -M_{44}^* \bar{i}_R - M_{54}^* \bar{i}_L, \quad (4с)$$

$$i_L = -M_{55}^* \bar{i}_L. \quad (5с)$$

Добавим для полноты математического описания уравнения индуктивностей, ёмкостей и сопротивлений цепи

$$\bar{L} \cdot \bar{i}_L' = \bar{u}_L, \quad L \cdot i_L' = u_L, \quad \bar{C} \cdot \bar{u}_C' = \bar{i}_C, \quad C \cdot u_C' = i_C, \quad \bar{u}_R = \bar{R} \cdot \bar{i}_R, \quad u_R = R \cdot i_R. \quad (уэ)$$

Здесь \bar{L} , L , \bar{C} , C , \bar{R} , R – диагональные матрицы с положительными числами на диагонали.

u_S и \bar{i}_S будем считать известными функциями, это означает, что все источники напряжения входят в дерево, а источники тока являются ветвями связи, в противном случае схема может оказаться противоречивой.

Теперь займёмся преобразованием системы выписанных нами уравнений. Сначала исключим u_L и \bar{i}_c из уравнений (5к), (1с) продифференцировав (1к), (5с) и воспользовавшись (уэ).

$$\bar{u}_C' = M_{11}u_C' \Rightarrow \bar{C}\bar{u}_C' = \bar{C}M_{11}C^{-1}Cu_C' \Rightarrow \bar{i}_C = \bar{C}M_{11}C^{-1}i_C,$$

$$i_L' = -M_{55}^*\bar{i}_L' \Rightarrow Li_L' = -LM_{55}^*\bar{L}^{-1}\bar{L}\bar{i}_L' \Rightarrow u_L = -LM_{55}^*\bar{L}^{-1}\bar{u}_L.$$

Подставим найденные выражения u_L , \bar{i}_c в (5к), (1с)

$$\left(\bar{L} + M_{55}LM_{55}^*\right)\bar{L}^{-1}\bar{u}_L = M_{51}u_C + M_{52}u_{D1} + M_{53}u_S + M_{54}u_R, \quad (28)$$

$$\left(C + M_{11}^*\bar{C}M_{11}\right)C^{-1}i_C = -M_{31}^*\bar{i}_S - M_{41}^*\bar{i}_R - M_{51}^*\bar{i}_L - M_{61}^*\bar{i}_{D1}. \quad (29)$$

Введём обозначения $A = \bar{L} + M_{55}LM_{55}^*$ и $B = C + M_{11}^*\bar{C}M_{11}$, умножим уравнения элементов индуктивностей связи и ёмкостей дерева на $A\bar{L}^{-1}$, BC^{-1} соответственно, после чего воспользуемся равенствами (28), (29)

$$A\bar{i}_L' = M_{51}u_C + M_{52}u_{D2} + M_{53}u_S + M_{54}u_R, \quad (30)$$

$$Bu_C' = -M_{31}^*\bar{i}_S - M_{41}^*\bar{i}_R - M_{51}^*\bar{i}_L - M_{61}^*\bar{i}_{D1}. \quad (32)$$

Исключим из этих равенств \bar{i}_R , u_R . Сначала найдём \bar{i}_R из (4к) с использованием уравнений элементов сопротивлений и уравнения (4с)

$$\left(\bar{R} + M_{44}RM_{44}^*\right)\bar{i}_R = M_{41}u_C + M_{43}u_S - M_{44}RM_{54}^*\bar{i}_L,$$

здесь матрица $R_1 = \left(\bar{R} + M_{44}RM_{44}^*\right)$ симметрична и положительно определена, поэтому имеет обратную

$$\bar{i}_R = R_1^{-1}M_{41}u_C + R_1^{-1}M_{43}u_S - R_1^{-1}M_{44}RM_{54}^*\bar{i}_L. \quad (33)$$

Теперь выразим напряжения и остальные токи сопротивлений. Подставляя (32) в уравнение сопротивления, получим

$$\bar{u}_R = \bar{R}R_1^{-1}M_{41}u_C + \bar{R}R_1^{-1}M_{43}u_S - \bar{R}R_1^{-1}M_{44}RM_{54}^*\bar{i}_L,$$

а подставляя (32) в (4с), получим

$$i_R = -M_{44}^*R_1^{-1}M_{41}u_C - M_{44}^*R_1^{-1}M_{43}u_S + (M_{44}^*R_1^{-1}M_{44}R - E)M_{54}^*\bar{i}_L.$$

Наконец $u_R = -RM_{44}^*R_1^{-1}M_{41}u_C - RM_{44}^*R_1^{-1}M_{43}u_S + R(M_{44}^*R_1^{-1}M_{44}R - E)M_{54}^*\bar{i}_L$.

Введём дополнительные обозначения $x = (\bar{i}_L, u_C)$, $y = (\bar{i}_S, u_S)$, $A_1 = \begin{pmatrix} A & 0 \\ 0 & B \end{pmatrix}$,

$$A_2 = \begin{pmatrix} M_{54}R(M_{44}^*R_1^{-1}M_{44}R - E)M_{54}^* & M_{51} - M_{54}RM_{44}^*R_1^{-1}M_{41} \\ M_{41}R_1^{-1}M_{44}RM_{54}^* - M_{51}^* & -M_{41}^*R_1^{-1}M_{41} \end{pmatrix}, \quad A_3 = \begin{pmatrix} 0 & -M_{52} \\ M_{61}^* & 0 \end{pmatrix},$$

$$A_4 = \begin{pmatrix} 0 & M_{53} - M_{54}RM_{44}^*R_1^{-1}M_{43} \\ -M_{31}^* & -M_{41}^*R_1^{-1}M_{43} \end{pmatrix} \text{ и запишем вектора } u \text{ и } v \text{ в виде}$$

$u = (\bar{i}_{D_1}, u_{D_2})$, $v = (\bar{u}_{D_1}, i_{D_2})$. Теперь равенства (30) и (31) запишем следующим образом

$$A_1 x' = A_2 x - A_3 u + A_4 y. \quad (28)$$

А уравнения (6к), (2с) в виде

$$v = A_3^* x.$$

Напомним, что мы считаем y известной функцией времени t , определяющей работу источников тока и напряжения. Заметим, что A_1 является симметричной положительно определённой матрицей и имеет обратную. Вводя обозначения

$$X = A_1^{-1/2} x, \quad U = A_1^{-1/2} A_3 u, \quad f(t, X) = A_1^{-1/2} A_2 A_1^{-1/2} X + A_1^{-1/2} A_4 y, \text{ заметим, что}$$

$v = A_3^* A_1^{-1/2} X$. Умножая (33) на $A_1^{-1/2}$, получим

$$X' = f(t, X) - A_1^{-1/2} A_3 u \quad (29)$$

Вектора диодного преобразователя u , v связаны, как мы выяснили ранее, оператором диодной нелинейности, поэтому в силу утверждения 1.3.6 с учётом выражения v через X можно утверждать, вектор $A_1^{-1/2}A_3u$ связан с X оператором диодной нелинейности $N(K)$, порождённым некоторым конусом K . Поэтому (34) можно записать в виде СДН

$$X' \in f(t, X) - N_X. \quad (30)$$

Таким образом мы доказали следующую теорему.

Теорема. *Если для электрической цепи выполнено LC-условие, то математическая модель цепи может быть представлена в виде СДН.*

Наконец заметим, что найдя решение включения (35), без труда можно вычислить все токи и напряжения цепи.

Следующий пример показывает, что для существования модели (35) наложенные на цепь условия являются достаточными, но не необходимыми условиями.

Пример. Для цепи рисунка 12.1 LC-условие не выполняется, так как три пути, состоящих из элементов J_1 , J_2 и соединяющих входы диодного преобразователя части D_2 не содержат индуктивностей.

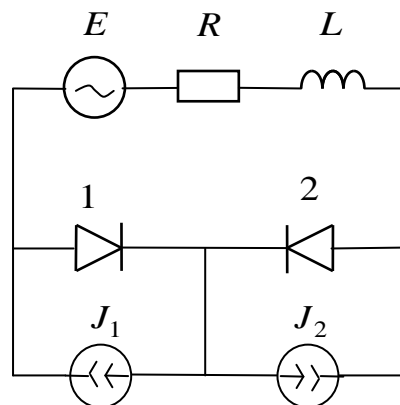


Рис. 12.1

Уравнения падений напряжения в контуре E , R , L , D_2 , D_1 имеет вид

$u_R + u_L + u_{D_2} - u_{D_1} = -u_E$, где $u_E = u_E(t)$ некоторая заданная функция времени t .

Обозначим через $i := i_R = i_L = i_{D_2} - J_2 = -i_{D_1} + J_1$. Где J_1 и J_2 некоторые заданные константы. Выражая напряжения через i из уравнений элементов $u_R = i \cdot R$, $u_L = i' \cdot L$, получим равенство

$$i \cdot R + i' \cdot L + u_{D_2} - u_{D_1} = -u_E. \quad (36)$$

Анодные токи диодов $i_{D_1} = J_1 - i$ и $i_{D_2} = J_2 + i$ принимают неотрицательные значения, поэтому $-J_2 \leq i \leq J_1$. Для корректной работы цепи потребуем, чтобы константы J_1, J_2 удовлетворяли неравенству $-J_2 \leq J_1$.

Если $i \in (-J_2, J_1)$, то $i_{D_1} > 0$ и $i_{D_2} > 0$ и, следовательно, $u_{D_1} = u_{D_2} = 0$. Если $i = -J_2$, то $i_{D_1} > 0$ и $u_{D_1} = 0$, а $i_{D_2} = 0$ и $u_{D_2} \leq 0$. Наконец, если $i = J_1$, то $i_{D_2} > 0$ и $u_{D_2} = 0$, а $i_{D_1} = 0$ и $u_{D_1} \leq 0$. Из этих рассуждений вытекает, что в любом случае вектор $u := u_{D_2} - u_{D_1} \in N_{[-J_2, J_1]}(i)$.

Запишем равенство (36) в виде $i' = -\frac{u_E}{L} - i \cdot \frac{R}{L} - \frac{u}{L}$ и обозначим

$f(t, i) = \frac{u_E}{L} - i \cdot \frac{R}{L}$. Отметим, что по-прежнему $\frac{u}{L} \in N_{[-J_2, J_1]}(i)$ в силу положительности параметра L . В результате получаем модель рассматриваемой цепи в виде СДН $i' = f(t, i) - N_{[-J_2, J_1]}(i)$.

Стоит отметить, что в этом примере множество, порождающее оператор диодной нелинейности, не является конусом.

1.4. Задача выпуклого программирования и СДН

1.4.1. Описание уравнения

Задачу выпуклого программирования можно трактовать как поиск минимального значения выпуклой функции $f(x)$ на некотором выпуклом замкнутом множестве $Q \subset \mathbb{R}^m$.

Напомним, что *выпуклой* на множестве Q называют функцию $f(x)$, которая удовлетворяет неравенству

$$f(\alpha x_1 + (1 - \alpha)x_2) \leq \alpha f(x_1) + (1 - \alpha)f(x_2) \text{ при всех } x_1, x_2 \in Q \text{ и } \alpha \in [0, 1].$$

Известен ряд методов поиска приближенного решения этой задачи, которые носят характер громоздких вычислений из-за необходимости постоянного контроля за тем, чтобы процесс поиска не вышел за границы области Q .

Здесь мы предлагаем путь поиска приближённых решений задач динамического программирования с помощью СДН, который обеспечивает успех даже при выходе за пределы границ Q .

Будем полагать, что $f(x)$ дифференцируемая в некоторой окрестности Q , и имеет на ней ограниченный градиент $\nabla f(x)$. Рассмотрим систему

$$\dot{x} = -\nabla f(x) - M \cdot (x - P(x, Q)) \quad (28)$$

при большом значении положительного параметра M (по сравнению с величиной градиента $\nabla f(x)$). Заметим, что для $x \in Q$ $x - P(x, Q) = 0 \in N_x$ и вместе с ним $M(x - P(x, Q)) = 0 \in N_x$. Поэтому решение (28), не выходящее за пределы множества Q , будет также решением СДН $\dot{x} \in -\nabla f(x) - N_x$. Поскольку мы хотим разрешить x выходить за пределы Q , где нормальный конус N_x нами не определён, мы будем пользоваться $N_x = \{k(x - P(x, Q)) : k \in \mathbb{R}_+\}$ в качестве естественного доопределения N_x в некоторой окрестности области Q .

Если решение x системы (28) находится в области Q , то оно движется по закону $\dot{x} = -\nabla f(x)$ к точке минимума $f \in Q$.

Покажем, что в случае, когда градиент $\nabla f(x) \neq 0$ на Q , решение x (28) находясь за пределами Q , движется к области, удовлетворяя вблизи Q неравенству $f(x) < f_o$, где f_o – минимум f на Q .

Сначала рассмотрим функцию

$V(x) = \|x - Px\|^2$. Для простоты будем обозначать $Px = P(x, Q)$

1.4.2. Лемма о дифференцировании функции $V(x)$

Функция $V(x)$ непрерывно дифференцируема для выпуклого замкнутого множества Q и

$$\nabla V(x) = 2(x - Px). \quad (29)$$

Доказательство. Рассмотрим разность

$$\Delta = V(y) - V(x) - (2(x - Px), y - x)$$

и докажем, что

$$\frac{\Delta}{\|y - x\|} \rightarrow 0 \text{ при } y \rightarrow x. \quad (30)$$

Заметим, что

$$\begin{aligned} \Delta &= (y - Py, y - Py) - (x - Px, x - Px) - 2(x - Px, y - x) = (y - Py, y - Py) - \\ &\quad - (x - Px, y - Py) + (x - Px, y - Py) - (x - Px, x - Px) - 2(x - Px, y - x) = \\ &= (y - x + Px - Py, y - Py) + (x - Px, y - x + Px - Py) - 2(x - Px, y - x) = \\ &= (y - x + Px - Py, y - x) + (y - x + Px - Py, x - Py) + (x - Px, y - x + Px - Py) - \\ &\quad - 2(x - Px, y - x). \end{aligned}$$

Рассмотрим отдельно скалярное произведение $(y - x + Px - Py, y - x)$ и воспользуемся тем фактом, что оператор проектирования на выпуклое множество является нерастягивающим (1.2.2).

$$\begin{aligned} (y - x + Px - Py, y - x) &= (y - x, y - x) + (Px - Py, y - x) \leq \|y - x\|^2 + \\ &\quad + \|Px - Py\| \cdot \|y - x\| \leq \|y - x\|^2 + \|y - x\|^2 = 2\|y - x\|^2 = o(\|y - x\|). \end{aligned}$$

Тогда

$$\begin{aligned}
\Delta &= o(\|y-x\|) + (y-x+Px-Py, x-Py) + (y-x+Px-Py, x-Px) - \\
&\quad - 2(x-Px, y-x) = \\
&= o(\|y-x\|) + (y-x+Px-Py, x-Py) + (Px-Py, x-Px) - \\
&\quad - (y-x, x-Px) = \\
&= o(\|y-x\|) + (y-x, x-Py) + (Px-Py, x-Py) + (Px-Py, x-Px) - \\
&\quad - (y-x, x-Px) = \\
&= o(\|y-x\|) + (y-x, Px-Py) + (Px-Py, 2x-Px-Py) = \\
&= o(\|y-x\|) + (Px-Py, y-x+2x-Px-Py),
\end{aligned}$$

Окончательно получаем

$$\Delta = o(\|y-x\|) + (Px-Py, x-Px) + (Px-Py, y-Py). \quad (31)$$

Покажем теперь, что $(Px-Py, x-Px) = o(\|y-x\|)$ и

$$(Px-Py, y-Py) = o(\|y-x\|).$$

Действительно, если α – предельная точка выражения $\left(\frac{Px-Py}{\|y-x\|}, x-Px\right)$ при

$y \rightarrow x$, то для некоторой сходящейся к x последовательности (y_n)

$$\lim_{n \rightarrow \infty} \left(\frac{Px - Py_n}{\|y_n - x\|}, x - Px \right) = \alpha.$$

Из свойства оператора проектирования (1.2.2) очевидно следует, что $\alpha \geq 0$. С другой стороны, ввиду того же свойства и непрерывности оператора проектирования, которая очевидным образом следует из свойства не растягивать, имеем

$$\alpha = \lim_{n \rightarrow \infty} \left(\frac{Px - Py_n}{\|y_n - x\|}, y_n - Py_n \right) \leq 0$$

Таким образом,

$$\lim_{n \rightarrow \infty} \left(\frac{Px - Py_n}{\|y_n - x\|}, x - Px \right) = \lim_{n \rightarrow \infty} \left(\frac{Px - Py_n}{\|y_n - x\|}, y_n - Py_n \right) = 0$$

Отсюда и из (31) следует (30).

1.4.3. Лемма о дифференциальном неравенстве для функции $V(x)$

Для сколь угодно малого $\varepsilon > 0$ обозначим через $X = \{x : \varepsilon \leq \rho(x, Q) \leq r\}$ компактное множество из окрестности Q (r – некоторое положительное число), положим $S = \max_{x \in X} \{\|\nabla f(x)\|\}$. И рассмотрим производную $\dot{V}(x) := \langle \nabla V(x), \dot{x} \rangle$ по траекториям системы 28.

Лемма. Если $x \in X$ – значение решения $x(t)$ системы (28), то

$$\dot{V}(x) \leq -2MV(x) + 2S\sqrt{V(x)} \quad (32)$$

Доказательство. Из (28) и (29) следует:

$$\begin{aligned} \dot{V}(x) &= (\nabla V, \dot{x}) = (2(x - Px), -\nabla f(x) - M \cdot (x - Px)) = -2M\|x - Px\|^2 + \\ &+ 2(x - Px, -\nabla f(x)) \leq -2MV(x) + 2\sqrt{V(x)}\|\nabla f(x)\| \leq -2MV(x) + 2S\sqrt{V(x)} \end{aligned}$$

Лемма доказана.

1.4.4. Теорема о верхней предельной оценке

Пусть f_0 – минимум функции $f(x)$ на множестве Q .

Теорема. Для любого $\varepsilon > 0$ существуют такие $M > 0$ и $T > 0$, что если $x(0) = x_0 \in X$ и $t \geq T$, то

$$f(x(t)) < f_0 \text{ и } \rho(x(t), Q) \leq \varepsilon$$

Доказательство. Из (32) и теоремы о нестрогом дифференциальном неравенстве ([x 81], с.16,17) вытекает оценка:

$$\rho(x(t), Q) = \sqrt{V(x(t))} \leq \frac{S}{M} + \left(\|x_0 - Px_0\| - \frac{S}{M} \right) \cdot e^{-Mt} \leq \frac{S}{M} + \left(r - \frac{S}{M} \right) \cdot e^{-Mt}.$$

Поэтому существуют такие $M > 0$ и $T > 0$, что при $t \geq T$ $\rho(x(t), Q) \leq \varepsilon$.

Запишем систему (28) в виде

$$\dot{x} = -\nabla Z(x), \quad (33)$$

где $Z(x) = f(x) + \frac{1}{2}MV(x)$ с градиентом в силу (29)

$$\nabla Z(x) = \nabla f(x) + \frac{1}{2}M\nabla V(x) = \nabla f(x) + M(x - Px).$$

Нетрудно видеть, что $Z(x)$ вместе с $f(x)$ является выпуклой функцией, кроме того $\|Z(x)\| \rightarrow \infty$ при неограниченном удалении x от множества Q . Поэтому $Z(x)$ имеет непустое выпуклое замкнутое множество точек минимума, к которому асимптотически стремится любая траектория системы (33). Заметим, что если \bar{x} – одна из точек минимума $Z(x)$, то $f(\bar{x}) < f_o$. Действительно, если $\tilde{x} \in Q$ и $f(\tilde{x}) = f_o$, то $Z(\tilde{x}) = f_o$. С другой стороны $Z(\bar{x}) < Z(\tilde{x})$, так как \tilde{x} не может быть точкой минимума функции $Z(x)$

($\nabla Z(\tilde{x}) = \nabla f(\tilde{x}) \neq 0$ по предположению в 1.4.1). Поскольку $V(\bar{x}) > V(\tilde{x}) = 0$, мы получаем неравенство $f(\bar{x}) < f(\tilde{x}) = f_o$. Следовательно, при достаточно больших t будет выполнено неравенство $f(x(t)) < f_o$.

Теорема доказана.

1.4.5. Численные эксперименты

Рассмотрим задачу о поиске минимального значения функции

$f(x, y) = 2 + (x - 2)^2 + (y - 5)^2$ на круге Q , удовлетворяющему неравенству

$(x - 2)^2 + (y - 2)^2 \leq 4$. Очевидно, $f_{\min} = 3$ достигается при $x = 2, y = 4$.

Из приведённых ниже результатов численного эксперимента с программой пакета “Mathematica” видно, что оператор диодной нелинейности действует, как ”магнит”, притягивающий траекторию к множеству Q .

`x0=0;y0=3;T=200;M=1000;`

`G4=Plot[Sqrt[4-(x-2)^2]+2,{x,0,4},PlotStyle->RGBColor[0,1,0]];`

```
G5=Plot[2-Sqrt[4-(x-2)^2],{x,0,4},PlotStyle->RGBColor[0,1,0]];
```

```
NDSolve[{x'[t]==-2*(x[t]-2)+(2-x[t])*M*Max[0,(x[t]-2)*(x[t]-2)+(y[t]-2)*(y[t]-2)-4],y'[t]==-2*(y[t]-5)+(2-y[t])*M*Max[0,(x[t]-2)*(x[t]-2)+(y[t]-2)*(y[t]-2)-4],x[0]==x0,y[0]==y0},{x,y},{t,0,T]}];
```

```
G3=ParametricPlot[{Evaluate[{x[t],y[t]}/.%]],{t,0,T},PlotStyle->RGBColor[1,0,0]];
```

```
Show[G4, G5, G3, PlotRange -> {{0, 4.5}, {0, 4.5}}, AspectRatio -> 1, AxesOrigin -> {0, 0}]
```

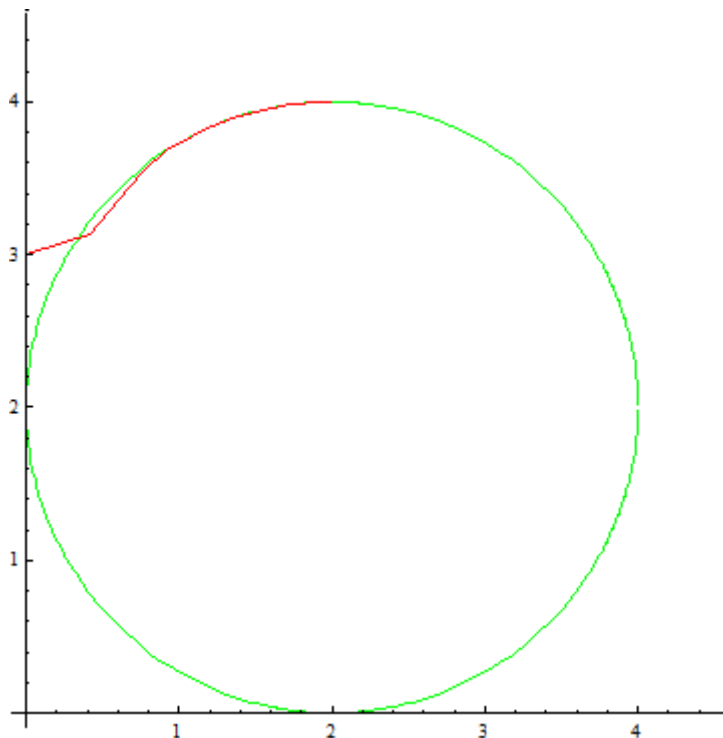


Рис. 18

1.5. Существование и единственность решения начальной задачи

1.5.1. Формулировка и план доказательства локальной теоремы.

Теорема. На непустом выпуклом замкнутом множестве $Q \subset \mathbb{R}^m$ рассматривается задача Коши для обобщенной системы с диодной нелинейностью:

$$\dot{x} = \tau_x f(t, x), \quad (1.34)$$

$$x(t_0) = x_0 \in Q. \quad (1.35)$$

Предполагается, что функция $f : [t_0, t_0 + H] \times Q \rightarrow \mathbb{R}^m$ непрерывна по первому аргументу и удовлетворяет локальному условию Липшица по второму:

$$\|f(t, x) - f(t, y)\| \leq L \|x - y\| \quad (1.36)$$

(константа L для некоторой окрестности любой точки своя). Утверждается, что задача (1.34), (1.35) имеет на некотором отрезке $[t_0, t_0 + h]$ ($h > 0$) единственное решение.

Напомним, что решением системы с диодной нелинейностью называется локально абсолютно непрерывная функция, удовлетворяющая этой системе почти всюду. Доказательство теоремы будет состоять из следующих шагов.

- 1) Продолжение системы (1.34) с множества Q на множество $Q_1 \supset Q$.
- 2) Построение «бочки» – множества, в котором будут лежать графики приближенных решений рассматриваемой задачи.
- 3) Построение приближенных решений – «ломанных Эйлера» и доказательство относительной компактности.
- 4) Предельный переход – доказательство того, что предел ломанных Эйлера есть решение данной задачи (в множестве Q_1).
- 5) Доказательство того, что построенное решение не выходит из Q .
- 6) Доказательство единственности.

1.5.2. Продолжение системы.

Положим

$$Q_1 = \{x \in \mathbb{R}^m : \rho(x, Q) \leq 1\}.$$

Для $x \in Q_1$ обозначим $\bar{x} = P(x, Q)$ и определим

$$e_x = \begin{cases} (x - \bar{x}) / \|x - \bar{x}\|, & \text{если } x \in Q_1 \setminus Q, \\ 0, & \text{если } x \in Q. \end{cases} ;$$

$$\tilde{f}(t, x) = f(t, \bar{x}) - (\|x - \bar{x}\| + (f(t, \bar{x}), e_x)_+) e_x,$$

здесь мы используем обозначение $(a, b)_+ = \max\{0, (a, b)\}$. Отметим, что

$\tilde{f}(t, x) = f(t, x)$ для $x \in Q$, а для $x \in Q_1 \setminus Q$ вектор $(f(t, \bar{x}), e_x)_+ e_x$ является проекцией $f(t, \bar{x})$ на конус N_x , нормальный к Q в точке x , который в 1.4.1 мы определили как луч $M(x - \bar{x})$ для $M \geq 0$.

Однозначная функция \tilde{f} непрерывна на $\text{int } Q$ и на $Q_1 \setminus Q$, а на границе Q , возможно, имеет разрывы.

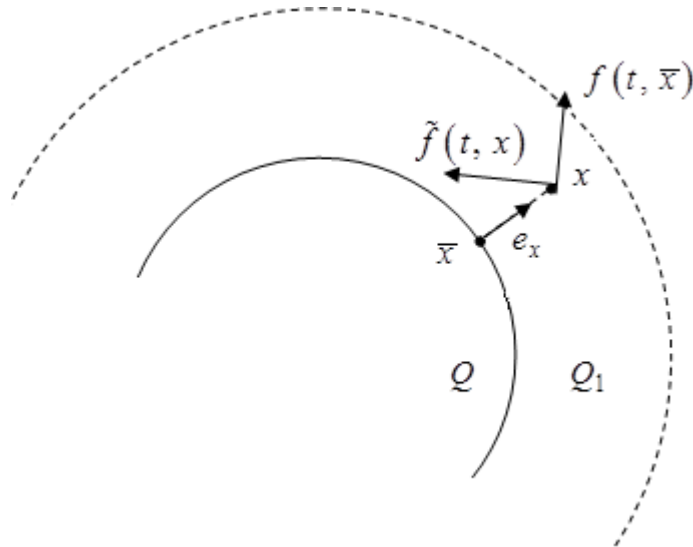


Рис. 19

Рассмотрим дифференциальное включение

$$\dot{x} \in F(t, x), \quad (1.37)$$

где

$$F(t, x) = \begin{cases} f(t, x) - N_x, & \text{если } x \in Q, \\ \{\tilde{f}(t, x)\}, & \text{если } x \in Q_1 \setminus Q. \end{cases} \quad (1.38)$$

Покажем, что эта многозначная функция *полунепрерывна сверху*.

Определение. Многозначная функция $F : (D(F) \subset \mathbb{R}^m \times \mathbb{R}^m) \rightarrow \mathbb{R}^m$ называется *полунепрерывной сверху*, если для любой точки $(t, x) \in D(F)$ из соотношений $(t_k, x_k) \in D(F)$, $y_k \in F(t_k, x_k)$ ($k \in \mathbb{N}$), $t_k \rightarrow t$, $x_k \rightarrow x$, $y_k \rightarrow y$ при $k \rightarrow \infty$, следует, что $y \in F(t, x)$.

Это свойство также называют *замкнутостью графика* многозначной функции F .

Примеры.

1. Каждое однозначное непрерывное отображение замкнутого множества можно трактовать как многозначное полунепрерывное сверху отображение.
2. Отображение $x \mapsto N_x$ для выпуклого замкнутого множества Q *полунепрерывно сверху*.

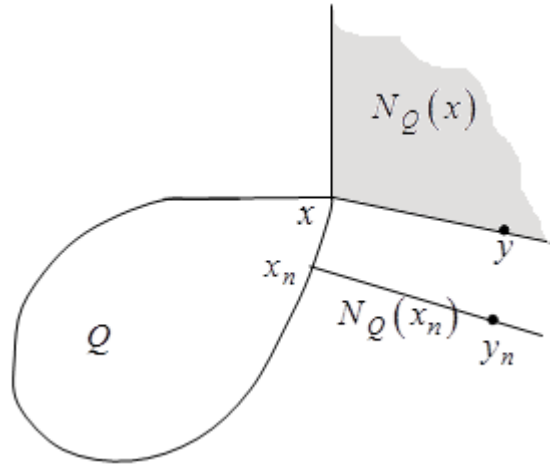


Рис. 20

3. Отображение $x \mapsto T(Q)x$ может не быть полунепрерывным сверху.

Условие полунепрерывности сверху отображения F эквивалентно следующему:

$$\forall ((\bar{t}, \bar{x}) \in D(F)) \forall (\varepsilon > 0) \exists (\delta > 0) \forall ((t, x) \in D(F)) \\ \left[|t - \bar{t}| < \delta \wedge \|x - \bar{x}\| < \delta \rightarrow F(t, x) \subset F(\bar{t}, \bar{x}) + B_\varepsilon =: F^\varepsilon(\bar{t}, \bar{x}) \right].$$

Здесь B_ε – открытый шар радиуса ε в \mathbb{R}^m [x91].

Утверждение. Мнозначная функция F , определённая формулой (1.38), является полунепрерывной сверху.

Доказательство. Достаточно рассмотреть три случая:

- 1) $\{x_k\} \subset Q$ (и, следовательно, $x \in Q$);
- 2) $\{x_k\} \subset Q_1 \setminus Q$, $x \in Q$;
- 3) $\{x_k\} \subset Q_1 \setminus Q$, $x \in Q_1 \setminus Q$.

В первом случае из условия $y_k \in F(t_k, x_k)$ ($k \in \mathbb{N}$) следует, что

$$f(t_k, x_k) - y_k =: u_k \in N_{x_k},$$

то есть для любого $z \in Q$ справедливо неравенство $(u_k, z - x_k) \leq 0$. Переходя к пределу при $k \rightarrow \infty$, получаем: $(u, z - x) \leq 0$, поэтому

$u := f(t, x) - y \in N_x$. Это означает, что $y \in F(t, x)$.

Во втором случае

$$y_k = f(t_k, \bar{x}_k) - \left(\|x_k - \bar{x}_k\| + \left(f(t_k, \bar{x}_k), e_{x_k} \right)_+ \right) e_{x_k} \rightarrow y,$$

причем $f(t_k, \bar{x}_k) \rightarrow f(t, \bar{x}) = f(t, x)$ и $\|x_k - \bar{x}_k\| \rightarrow 0$. Следовательно,

$$\left(f(t_k, \bar{x}_k), e_{x_k} \right)_+ e_{x_k} \rightarrow f(t, x) - y.$$

Из ранее сделанного нами замечания о том, что $(f(t_k, \bar{x}_k), e_{x_k})_+ e_{x_k}$ есть проекция $f(t_k, \bar{x}_k)$ на конус $N_{x_k} \subset N_{\bar{x}_k}$, следует $(f(t_k, \bar{x}_k), e_{x_k})_+ e_{x_k} =: u_k \in N_{\bar{x}_k}$. Отсюда, как и в первом случае, получаем, что $f(t, x) - u \in N_x$, т.е. $u \in F(t, x)$. Наконец, в третьем случае доказываемое утверждение вытекает из непрерывности функции \tilde{f} .

1.5.3. Построение «бочки».

Положим

$$\bar{B}(x_0) = \{x \in \mathbb{R}^m : \|x - x_0\| \leq a\}, \text{ где } a > 0 \text{ произвольно,}$$

и

$$M = \max \{ \|f(t, x)\| : t \in [t_0, t_0 + H], x \in Q \cap \bar{B}(x_0) \}.$$

Заметим, что если $x \in \bar{B}(x_0)$, то (в силу свойства оператора проектирования на Q не растягивать) расстояние между $\bar{x} = P(x, Q)$ и $x_0 = P(x_0, Q)$ не превышает $\|x - x_0\| \leq a$, поэтому $\bar{x} \in \bar{B}(x_0)$ вместе с x . С учётом этого факта для $t \in [t_0, t_0 + H]$, $x \in \bar{B}(x_0)$ получим оценку

$$\|\tilde{f}(t, x)\| \leq M + a. \quad (1.39)$$

Действительно, $\|\tilde{f}(t, x)\| = \|f(t, \bar{x}) - (\|x - \bar{x}\| + (f(t, \bar{x}), e_x)_+) e_x\| \leq \|f(t, \bar{x}) - (f(t, \bar{x}), e_x)_+ e_x\| + \|x - \bar{x}\|.$

Как мы отмечали выше $(f(t, \bar{x}), e_x)_+ e_x$ есть проекция $f(t, \bar{x})$ на N_x , по теореме о разложении на ортогональные проекции из 1.2.5 $f(t, \bar{x}) - (f(t, \bar{x}), e_x)_+ e_x \in T_x$ и $\|f(t, \bar{x}) - (f(t, \bar{x}), e_x)_+ e_x\| \leq \|f(t, \bar{x})\|$, а поскольку $\bar{x} \in Q \cap \bar{B}(x_0)$, получаем $\|f(t, \bar{x})\| \leq M$. Осталось заметить, что расстояние от точки x до её проекции \bar{x} на множество Q не может превосходить расстояния от x до $x_0 \in Q$, а поскольку $\|x - x_0\| \leq a$, то получаем $\|x - \bar{x}\| \leq a$.

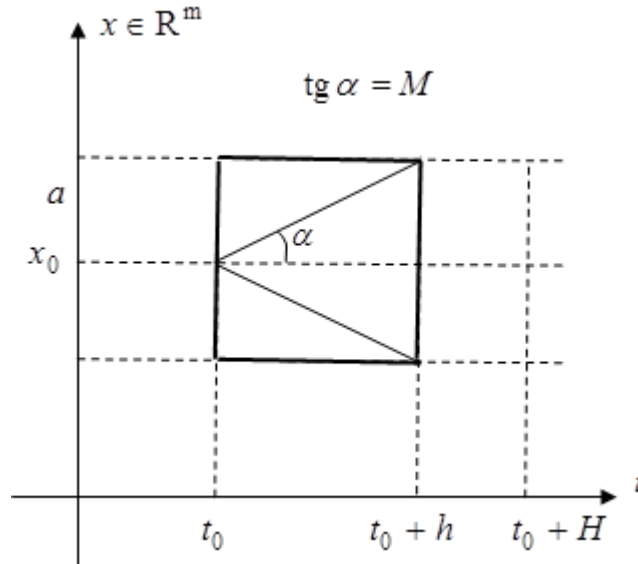


Рис. 21

Наконец с высотой $h = \min \left\{ H, \frac{a}{M + a} \right\}$ построим цилиндр (‘‘бочку’’)

$$Z = [t_0, t_0 + h] \times \bar{B}(x_0).$$

1.5.4. Ломаные Эйлера.

Разобьём промежуток $[t_0, t_0 + h]$ на k равных частей ($k \in \mathbb{N}$) точками $t_{k,i}$ ($i = 0, \dots, k$):

$$h_k := h / k, \quad t_{k,0} = t_0, \quad \dots, \quad t_{k,i} = t_{k,i-1} + h_k \quad (i = 1, \dots, k).$$

Построим ломанную Эйлера $x_k(t)$ на отрезке $[t_0, t_0 + h]$, положив $x_k(t_0) = x_0$, и в предположении, что ломанная уже построена на промежутке $[t_{k,0}, t_{k,i-1}]$ продолжим её построение на очередном отрезке, определив для $t \in [t_{k,i-1}, t_{k,i}]$

$$x_k(t) = x_k(t_{k,i-1}) + \tilde{f}(t_{k,i-1}, x_k(t_{k,i-1}))(t - t_{k,i-1}). \quad (1.40)$$

Построенная таким образом функция обладает следующими свойствами:

- 1) $\dot{x}_k(t) = \tilde{f}(t_{k,i-1}, x_k(t_{k,i-1}))$ для $t \in [t_{k,i-1}, t_{k,i}]$;
- 2) $\|x_k(t') - x_k(t'')\| \leq (M + a)|t' - t''|$ для $t_0 \leq t' \leq t'' \leq t_0 + h$;
- 3) $x_k(t) \in \bar{B}(x_0)$ при $t \in [t_0, t_0 + h]$.

Первое свойство непосредственно следует из (1.40). Второе из теоремы Лагранжа, свойства 1) и неравенства (1.39). Для $t_0 \leq t' \leq t'' \leq t_0 + h$

$$\|x_k(t') - x_k(t'')\| \leq \|\dot{x}_k(\xi)\| \cdot |t' - t''| = \|\tilde{f}(t_{k,i-1}, x_k(t_{k,i-1}))\| \cdot |t' - t''| \leq (M + a)|t' - t''|,$$

здесь $\xi \in [t', t'']$ и $\xi \in [t_{k,i-1}, t_{k,i}]$ при некотором i . Наконец третье свойство следует из второго

$$\|x_0 - x_k(t)\| = \|x_k(0) - x_k(t)\| \leq (M + a)|t_0 - t| \leq (M + a) \frac{a}{M + a} = a$$

Из этих свойств вытекает, что *последовательность* $(x_k(t))$ *равностепенно непрерывна и равномерно ограничена и, следовательно, из нее по теореме Арцела можно выделить подпоследовательность, равномерно сходящуюся к некоторой функции* $x(t)$.

1.5.5. Предельный переход.

Перенумеровав, если требуется, члены сходящейся подпоследовательности, будем считать, что

$$x_k(t) \rightarrow x(t) \text{ при } k \rightarrow \infty \text{ равномерно на } [t_0, t_0 + h].$$

Нетрудно видеть, что предельная функция $x(t)$, как и ломаные Эйлера, удовлетворяет условию Липшица с константой $M + a$ (и, следовательно, абсолютно непрерывна). Покажем, что эта функция удовлетворяет включению (1.37).

Пусть в точке $\bar{t} \in [t_0, t_0 + h]$ существует $\dot{x}(\bar{t})$. Возьмем произвольное $\varepsilon > 0$ и докажем, что

$$\dot{x}(\bar{t}) \in \bar{F}^\varepsilon(\bar{t}, x(\bar{t}))$$

(черта над F означает замыкание). Тогда предельный переход при $\varepsilon \rightarrow 0$ даст (1.37). Выберем $\delta > 0$ так, чтобы из $|t - \bar{t}| < \delta$, $\|x(t) - x(\bar{t})\| < (M + a + 1)\delta$ вытекало включение $F(t, x) \subset F^\varepsilon(\bar{t}, \bar{x})$. Пусть K таково, чтобы при $k \geq K$ было $h_k < \delta / 2$ и $\|x_k(t) - x(t)\| < \delta$ для любого $t \in [t_0, t_0 + h]$.

Если $|t - \bar{t}| < \delta / 2$ и $k \geq K$, то ближайший к t слева узел $t_{k,i-1}$ ломаной $x_k(t)$ лежит в открытой δ -окрестности точки \bar{t} . Поэтому

$$\|x_k(t_{k,i-1}) - x(\bar{t})\| \leq \|x_k(t_{k,i-1}) - x_k(\bar{t})\| + \|x_k(\bar{t}) - x(\bar{t})\| \leq (M + a + 1)\delta,$$

$$\dot{x}_k(t) = \tilde{f}(t_{k,i-1}, x_k(t_{k,i-1})) \in F(t_{k,i-1}, x_k(t_{k,i-1})) \subset F^\varepsilon(\bar{t}, \bar{x}).$$

Воспользуемся равенством:

$$\frac{x_k(t) - x_k(\bar{t})}{t - \bar{t}} = \frac{1}{t - \bar{t}} \int_{\bar{t}}^t \dot{x}_k(s) ds.$$

Нетрудно видеть, что стоящее в правой части интегральное среднее принадлежит замкнутой выпуклой оболочке множества значений подынтегральной функции (интеграл в данном случае можно понимать как предел интегральных сумм Римана, т.е. с учетом множителя перед интегралом выпуклых комбинаций значений подынтегральной функции). Итак,

$$\frac{x_k(t) - x_k(\bar{t})}{t - \bar{t}} \in \bar{F}^\varepsilon(\bar{t}, \bar{x}).$$

Переходя к пределу сначала при $k \rightarrow \infty$, а затем при $t \rightarrow \bar{t}$, получаем требуемое:

$$\dot{x}(\bar{t}) \in \bar{F}^\varepsilon(\bar{t}, \bar{x}).$$

1.5.6. Разрешимость в исходном множестве.

Итак, функция $x(t)$, полученная как предел ломаных Эйлера, является решением задачи (1.37), (1.35) в Q_1 . Докажем, что ее значения лежат в Q – это будет означать, что фактически найдено решение (1.34), (1.35).

Пусть на некотором интервале $(\alpha, \beta) \subset [t_0, t_0 + h]$ $x(t) \notin Q$, обозначим

$d(t) = \rho(x(t), Q) = \|x(t) - P(x(t), Q)\| = \|x(t) - \bar{x}(t)\|$. Покажем, что

$d(t + \Delta t) < d(t)$, если $t \in (\alpha, \beta)$ и $\Delta t > 0$ достаточно мало. Действительно,

$$\begin{aligned} d^2(t + \Delta t) &= \|x(t + \Delta t) - \bar{x}(t + \Delta t)\|^2 \leq \|x(t + \Delta t) - \bar{x}(t)\|^2 = \\ &= (x(t + \Delta t) - \bar{x}(t), x(t + \Delta t) - \bar{x}(t)) = \\ &= (x(t + \Delta t) - x(t) + x(t) - \bar{x}(t), x(t + \Delta t) - x(t) + x(t) - \bar{x}(t)) = \\ &= \|x(t + \Delta t) - x(t)\|^2 + \|x(t) - \bar{x}(t)\|^2 + 2(x(t + \Delta t) - x(t), x(t) - \bar{x}(t)) = \\ &= o(\Delta t) + d^2(t) + 2(\tilde{f}(t, x(t))\Delta t, x(t) - \bar{x}(t)) = \\ &= o(\Delta t) + d^2(t) + 2\left(f(t, \bar{x}(t)) - \left(f(t, \bar{x}(t)), e_x\right)_+ e_x - d(t)e_x, d(t)e_x\right)\Delta t \end{aligned}$$

Следовательно,

$$d^2(t + \Delta t) \leq d^2(t)(1 - 2\Delta t) + o(\Delta t) < d^2(t).$$

Итак, всюду вне Q функция $d(t)$ является невозрастающей, из-за чего значения $x(t)$ не могут выйти из Q . Тем самым доказано существование решения рассматриваемой задачи (1.34), (1.35) на $[t_0, t_0 + h]$.

1.5.7. Единственность решения.

Доказательство единственности решения задачи (1.34), (1.35) проведём в четыре этапа:

1) доказательство монотонности оператора N_x ;

2) доказательство дифференциального неравенства

$$\frac{d}{dt} \|x(t) - \bar{x}(t)\|^2 \leq 2L \|x(t) - \bar{x}(t)\|^2 \text{ для решений } x(t), \bar{x}(t) \text{ включения}$$

$$\dot{x} \in f(t, x) - N_x;$$

3) доказательство леммы о линейном дифференциальном неравенстве;

4) получение оценки нормы разности решений включения, из которой как следствие вытекает единственность решения задачи Коши.

1) **Монотонность оператора N_x .**

Определение. Мнозначный оператор $F : D(F) \subset \mathbb{R}^m \rightarrow \mathbb{R}^m$ называется *монотонным*, если

$$\forall (x, \hat{x} \in D(F)) \left[(F(x) - F(\hat{x}), x - \hat{x}) \geq 0 \right], \text{ т.е.}$$

$$\forall (x, \hat{x} \in D(F), y \in F(x), \hat{y} \in F(\hat{x})) \left[(y - \hat{y}, x - \hat{x}) \geq 0 \right].$$

Утверждение. *Нормальный конус N_x в точке x к непустому выпуклому замкнутому множеству $Q \subset \mathbb{R}^m$ является монотонной многозначной функцией переменной x .*

Действительно, для произвольных $x, \hat{x} \in Q$ и $y \in N_x, \hat{y} \in N_{\hat{x}}$ из определения нормального конуса имеем

$$(y - \hat{y}, x - \hat{x}) = -(y, \hat{x} - x) - (\hat{y}, x - \hat{x}) \geq 0.$$

2) **Дифференциальное неравенство для квадрата нормы разности решений.**

Утверждение. *Пусть $x(t), \hat{x}(t)$ – два решения дифференциального включения $\dot{x} \in f(t, x) - N_x$ на отрезке $[t_0, t_1]$, тогда почти всюду на этом отрезке с некоторой константой L справедливо неравенство*

$$\frac{d}{dt} \|x(t) - \hat{x}(t)\|^2 \leq 2L \|x(t) - \hat{x}(t)\|^2. \quad (1.41)$$

Доказательство. Рассмотрим (абсолютно непрерывную) функцию

$z(t) = \|x(t) - \hat{x}(t)\|^2$. Если в точке t она дифференцируема, то

$$\begin{aligned} \dot{z}(t) &= 2(x(t) - \hat{x}(t), \dot{x}(t) - \dot{\hat{x}}(t)) \in 2(x(t) - \hat{x}(t), f(t, x(t)) - f(t, \hat{x}(t))) - \\ &- 2(x(t) - \hat{x}(t), N_{x(t)} - N_{\hat{x}(t)}) \leq 2\|x(t) - \hat{x}(t)\| \cdot \|f(t, x(t)) - f(t, \hat{x}(t))\| \leq \\ &\leq 2L\|x(t) - \hat{x}(t)\|^2 = 2Lz(t). \end{aligned}$$

Здесь использовано условие Липшица функции $f(t, x)$ по второму аргументу для замкнутого множества, содержащего графики функций $x(t)$, $\bar{x}(t)$ – для любого замкнутого ограниченного множества из локального условия Липшица вытекает глобальное.

3) Лемма о линейном дифференциальном неравенстве.

Утверждение. Пусть абсолютно непрерывная функция z удовлетворяет почти всюду на отрезке $[t_0, t_1]$ дифференциальному неравенству

$$\dot{z}(t) \leq az(t), \quad (1.42)$$

тогда

$$z(t) \leq z(t_0)e^{a(t-t_0)} \quad (t_0 \leq t \leq t_1) \quad (1.43)$$

Доказательство. Из (1.42) следует, что

$$\dot{z}(t) = az(t) + b(t), \quad (1.44)$$

где функция $b(t) = \dot{z}(t) - az(t)$ суммируема и неположительна на $[t_0, t_1]$. Проверим, что функция

$$z_1(t) = z(t_0)e^{a(t-t_0)} + e^{at} \int_{t_0}^t e^{-as} b(s) ds$$

удовлетворяет уравнению (1.44):

$$\dot{z}_1(t) = z(t_0)ae^{a(t-t_0)} + ae^{at} \int_{t_0}^t e^{-as} b(s) ds + e^{at} e^{-at} b(t) = az_1(t) + b(t).$$

Более того, z_1 является единственным решением этого уравнения, принимающим в точке t_0 значение $z(t_0)$. Действительно, если z_2 – еще одно такое решение, то функция $w = z_1 - z_2$ абсолютно непрерывна, почти всюду удовлетворяет уравнению

$$\dot{w} = aw \quad (1.45)$$

и принимает в точке t_0 нулевое значение. Поэтому

$$w(t) = a \int_{t_0}^t w(s) ds.$$

Следовательно, функция w непрерывно дифференцируема (как интеграл с переменным верхним пределом от непрерывной функции) и удовлетворяет уравнению (1.45) *всюду*. Но в такой ситуации единственность решения задачи Коши следует из классической теории дифференциальных уравнений. Итак,

$$w(t) \equiv 0 \Rightarrow z_1(t) \equiv z_2(t) \equiv z(t) \equiv z(t_0)e^{a(t-t_0)} + e^{at} \int_{t_0}^t e^{-as} b(s) ds.$$

Поскольку подынтегральная функция в последнем интеграле неположительна и $t \geq t_0$, окончательно получаем, что верно неравенство (1.43).

4) Оценка нормы разности решений и следствие о единственности решения задачи Коши.

В условиях теоремы 1.6.1 норма разности любых решений $x(t)$, $\bar{x}(t)$ системы (1.34), определенных на отрезке $[t_0, t_1]$, допускает оценку

$$\|x(t) - \bar{x}(t)\| \leq e^{L(t-t_0)} \|x(t_0) - \bar{x}(t_0)\|, \quad (1.46)$$

где L – константа из условия Липшица (1.36) на замкнутом множестве, содержащем графики функций $x(t)$, $\bar{x}(t)$. В частности, задача Коши (1.34), (1.35) на любом отрезке $[t_0, t_1]$ имеет не более одного решения.

Доказательство. Из доказанного дифференциального неравенства (1.41) и леммы о линейном дифференциальном неравенстве вытекает

$$\|x(t) - \bar{x}(t)\|^2 \leq e^{2L(t-t_0)} \|x(t_0) - \bar{x}(t_0)\|^2.$$

Отсюда непосредственно получается (1.46). Если $x(t_0) = \bar{x}(t_0) = x_0$, то в качестве следствия получается тождество $x(t) \equiv \bar{x}(t)$ (т.е. единственность *вправо* решения задачи Коши).

1.6. Колебания в СДН

В прикладных задачах часто возникает необходимость в исследовании периодических и близких к ним процессов. Рассмотрим это на примере известного электрического колебательного контура.

1.6.1. Вынужденные колебания.

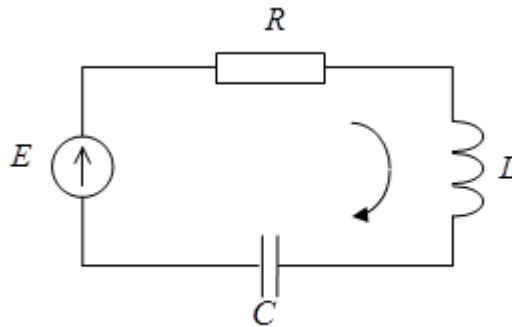


Рис. 22

Для контура, изображённого на рисунке 22, второй закон Кирхгофа запишем в виде $Ri + L \frac{di}{dt} + u = E(t)$ (здесь u – напряжение на конденсаторе C). Под-

ставляя в него выражение тока i из уравнения элемента $C \frac{du}{dt} = i$, получим

$$LC \frac{d^2u}{dt^2} + RC \frac{du}{dt} + u = E(t) \text{ или, разделив на произведение } LC, -$$

$$\ddot{u} + \frac{R}{L} \dot{u} + \frac{1}{LC} u = \frac{1}{LC} E(t). \text{ Вводя обозначения } \delta = \frac{R}{2L}, \omega^2 = \frac{1}{LC} \text{ } (\delta \geq 0, \omega > 0),$$

запишем уравнение в виде

$$\ddot{u} + 2\delta \dot{u} + \omega^2 u = \omega^2 E(t) \quad (1.47)$$

Число ω называют частотой свободных колебаний контура.

1.6.1.1. Анализ свободных колебаний

Положим $E(t) = 0$ и найдём решение однородного уравнения

$$\ddot{u} + 2\delta\dot{u} + \omega^2 u = 0. \quad (1.48)$$

Корнями характеристического уравнения $\lambda^2 + 2\delta\lambda + \omega^2 = 0$ являются числа

$\lambda_{1,2} = -\delta \pm \sqrt{\delta^2 - \omega^2}$, поэтому функции $\varphi_1(t) = e^{\lambda_1 t}$ и $\varphi_2(t) = e^{\lambda_2 t}$ образуют фундаментальную систему решений при $\delta \neq \omega$ (1.48).

Рассмотрим варианты значений корней λ_1, λ_2 :

1) $\delta > \omega$, тогда λ_1, λ_2 – вещественные, меньшие нуля, и все решения (1.48) стремятся к нулю при $t \rightarrow \infty$ (“затухающий режим”);

2) $\delta < \omega$, в этом случае λ_1, λ_2 – комплексно сопряжённые

$\lambda_{1,2} = -\delta \pm i\sqrt{\omega^2 - \delta^2} =: -\delta \pm i\bar{\omega}$, и при $\delta > 0$ решения

$e^{-\delta t} \cdot (C_1 \cos \bar{\omega}t + C_2 \sin \bar{\omega}t) = e^{-\delta t} \sqrt{C_1^2 + C_2^2} \cos(\bar{\omega}t - \alpha) =: e^{-\delta t} A \cos(\bar{\omega}t - \alpha)$ совершая колебания, стремятся к нулю (“затухающий колебательный режим”), при $\delta = 0$ решения (1.48) являются периодическими (“незатухающие колебания”). Здесь α

определяется равенством $\cos \alpha = \frac{C_1}{\sqrt{C_1^2 + C_2^2}}$. Отметим, однако, что $\delta = 0$ влечёт

$R = 0$ – практически невыполнимое условие;

3) $\delta = \omega$ (практически невыполнимое условие), и решения $e^{-\delta t} (C_1 + C_2 t)$ сходятся к нулю (“затухающий режим”).

1.6.1.2. Вынужденные колебания

Пусть напряжение источника является периодической функцией

$E(t) = U \cos \Omega t$ времени t (U и Ω – параметры), тогда уравнение (1.47) имеет вид

$$\ddot{u} + 2\delta\dot{u} + \omega^2 u = \omega^2 U \cos \Omega t, \quad (1.49)$$

и периодическая функция $u_{\text{чн}} = \frac{\omega^2 U}{\sqrt{(\omega^2 - \Omega^2)^2 + (2\delta\Omega)^2}} \cos(\Omega t - \beta)$ – его частное

решение для $\delta > 0$ (“вынужденные колебания”), где β определяется равенством

$$\cos \beta = \frac{\omega^2 - \Omega^2}{\sqrt{(\omega^2 - \Omega^2)^2 + (2\delta\Omega)^2}}.$$

1.6.1.3. Переходный процесс

Для случая $0 < \delta < \omega$ общее решение (1.49) можно записать в виде

$$u_{\text{он}} = e^{-\delta t} A \cos(\bar{\omega}t - \alpha) + \frac{\omega^2 U}{\sqrt{(\omega^2 - \Omega^2)^2 + (2\delta\Omega)^2}} \cos(\Omega t - \beta).$$

Как видим, все решения (1.49) асимптотически приближается к вынужденным колебаниям.

1.6.1.4. Резонанс токов

Для рассматриваемого нами колебательного контура интересен вопрос, при каком значении параметра ёмкости C амплитуда вынужденных колебаний тока максимальна. Рассматривая амплитуду тока

$$\begin{aligned} i_{\text{чн}} = C \dot{u}_{\text{чн}} &= - \frac{C \omega^2 U \Omega}{\sqrt{(\omega^2 - \Omega^2)^2 + (2\delta\Omega)^2}} \sin(\Omega t - \beta) = \\ &= \frac{U \Omega}{L \sqrt{\left(\frac{1}{LC} - \Omega^2\right)^2 + \left(2\frac{R}{2L}\Omega\right)^2}} \sin(\Omega t - \beta) \end{aligned}$$

в колебательном контуре для вынужденных колебаний, как функцию параметра C

$$A(C) = \frac{U \Omega}{\sqrt{\left(\frac{1}{C} - L\Omega^2\right)^2 + (R\Omega)^2}},$$

нетрудно видеть, что её максимальное значение достигается при $C = \frac{1}{L\Omega^2}$ (так

$$\text{как } A'(C) = \frac{U\Omega}{C^2 \left(\sqrt{\left(\frac{1}{C} - L\Omega^2\right)^2 + (R\Omega)^2} \right)^3 \cdot \left(\frac{1}{C} - L\Omega^2\right)}, \text{ т.е. при совпадении частот}$$

свободного и вынужденного колебаний $\omega^2 = \Omega^2$.

1.6.2. Существование замкнутой траектории у двумерной автономной системы.

Исследуем двумерную автономную СДН

$$\dot{x} = \tau_x f(x) \quad (1.50)$$

с выпуклым замкнутым множеством $Q \in \mathbb{R}^2$, имеющим непустую внутренность ($\text{Int } Q \neq \emptyset$), и изучим для неё вопрос существования, единственности и устойчивости замкнутой траектории [x24]. В этом пункте доказывается обобщение известной теоремы Пуанкаре – Бендиксона [**Хартман Ф. Обыкновенные дифференциальные уравнения.— М.: Мир, 1970. — 720 с.**] о существовании замкнутой траектории. В следующем пункте 1.6.3. описано одно достаточное условие, при выполнении которого гарантируется существование единственного орбитально устойчивого в усиленном смысле цикла.

Определение. *Траекторией системы (1.50) будем называть множество точек в \mathbb{R}^2 , которое является множеством значений какого-либо решения этой системы.*

Определение. *Замкнутой траекторией будем называть траекторию, отвечающую какому-нибудь решению φ системы (1.50), определенному на отрезке $[0, T]$ и такому, что $\varphi(0) = \varphi(T)$ и $\varphi(t_1) \neq \varphi(t_2)$ при $0 \leq t_1 < t_2 < T$.*

Определение. Как обычно [Хартман Ф.], точку $p \in \mathbb{R}^2$ будем называть ω -предельной точкой решения ψ , если существует последовательность $t_n \rightarrow +\infty$, такая, что $\psi(t_n) \rightarrow p$.

Определение. Множество всех ω -предельных точек решения ψ будем называть его ω -предельным множеством и обозначать Ω_ψ .

Теорема о существовании замкнутой траектории. Пусть выполнены условия:

(а) $f: Q \rightarrow \mathbb{R}^2$ — непрерывная функция;

(б) система (1.50) имеет на $[0, +\infty)$ ограниченное решение φ , ω -предельное множество Ω_φ которого не содержит стационарных точек, то есть если $p \in \Omega_\varphi$, то $f(p)$ не принадлежит N_p — нормальному конусу к множеству Q в точке p (см. 1.2.3);

тогда система (1.50) имеет замкнутую траекторию.

Доказательство этой теоремы занимает весь пункт 1.6.2 и будет разбито на несколько этапов (подпунктов). В 1.6.2.1 строится функция $\bar{\varphi}$, содержащаяся в ω -предельном множестве Ω_φ решения φ , как равномерный на каждом отрезке предел решений системы. Затем доказывается замкнутость множества решений системы (см. 1.6.2.2), из чего следует, что $\bar{\varphi}$ является решением (1.50). Замкнутость траектории решения $\bar{\varphi}$ доказывается с помощью, так называемой, трансверсали — отрезка, который будет сначала построен для произвольной ω -предельной точки $p \in \Omega_\varphi$, а потом доказано, что $\bar{\varphi}$ пересекает его только в точке p бесконечное число раз. А поскольку траектория $\bar{\varphi}$ состоит из ω -предельных точек φ , то это означает, что траектория $\bar{\varphi}$ совпадает $\Omega_{\bar{\varphi}}$ и является замкнутой [Хартман Ф.

Обыкновенные дифференциальные уравнения. — М.: Мир, 1970. — 720 с.].

1.6.2.1. Построение функции $\bar{\varphi}$

Пусть $p_0 \in \Omega_\varphi$ (очевидно, $\Omega_\varphi \neq \emptyset$ и является ограниченным множеством), и последовательность (t_n) такова, что $t_n \rightarrow +\infty$ и $\varphi(t_n) \rightarrow p_0$. Определим последовательность функций $\varphi_n(t) = \varphi(t + t_n)$. Тогда $\varphi_n(0) = \varphi(t_n) \rightarrow p_0$. Построенная последовательность равномерно ограничена в силу ограниченности $\varphi(t)$ и равномерно непрерывна в силу ограниченности на ограниченных множествах функции $f(x)$, а следовательно, и правой части системы (1.50) $\tau_x f(x)$. Таким образом, для последовательности (φ_n) выполнены условия леммы Арцела, согласно которой для произвольного $T > 0$ из (φ_n) можно выделить равномерно сходящуюся на конечном промежутке $[0, T]$ подпоследовательность функций. Выделим из (φ_n) подпоследовательность равномерно сходящуюся на отрезке $[0, 1]$ и упорядоченное множество номеров её элементов обозначим через A_1 . Из выделенной подпоследовательности выберем в свою очередь подпоследовательность, равномерно сходящуюся на отрезке $[0, 2]$, и упорядоченное множество номеров её элементов обозначим через A_2 . Действуя далее аналогичным образом построим последовательность бесконечных упорядоченных подмножеств натуральных чисел $A_k \subset \mathbb{N}$ ($k \in \mathbb{N}$), удовлетворяющую условиям: $A_{k+1} \subset A_k$; последовательность функций $(\varphi_n : n \in A_k)$ равномерно сходится на отрезке $[0; k]$. Обозначим через n_k k -тый (в порядке возрастания) элемент множества A_k . Тогда последовательность $(\varphi_{n_k} : k \in \mathbb{N})$ сходится на $[0, +\infty)$ к некоторой функции $\bar{\varphi}$, причем равномерно на каждом отрезке $[0, m]$ ($m \in \mathbb{N}$). Нетрудно видеть, что траектория $\bar{\varphi}$ лежит в Ω_φ и $\bar{\varphi}(0) = p_0$. Это означает, в частности, что $\bar{\varphi}$ ограничена и её ω -предельное множество $\Omega_{\bar{\varphi}}$ не пусто и включено в Ω_φ .

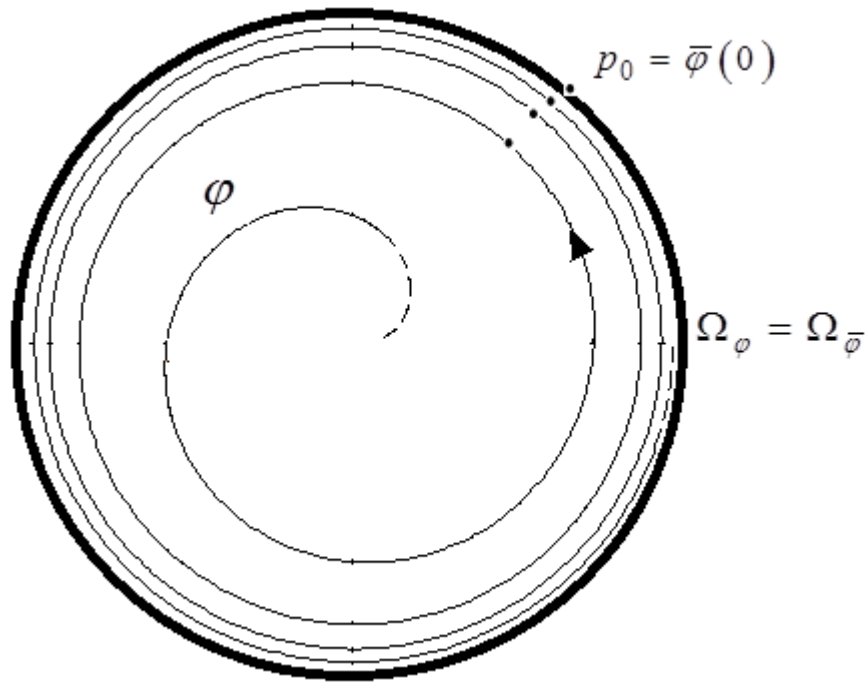


Рис. 23.

На рисунке точками обозначены первые три элемента последовательности $\varphi(t_n) \xrightarrow{n \rightarrow \infty} p_0$. Начиная от каждой точки $\varphi(t_n)$ влево вверх уходит траектория $\varphi_n(t) = \varphi(t + t_n)$ при $t \geq 0$. Траектория $\bar{\varphi}$ на изображённом примере совпадает с $\Omega_{\bar{\varphi}} = \Omega_{\varphi}$. При $t \rightarrow \infty$ точка $\bar{\varphi}(t)$ вращается по окружности $\Omega_{\bar{\varphi}}$ против часовой стрелки.

Для любого $x = (x_1, x_2) \in \mathbb{R}^2$ определим $Cx := (-x_2, x_1)$ — при стандартной ориентации осей координат на плоскости это есть вектор, полученный из x поворотом на угол $\frac{\pi}{2}$ против часовой стрелки.

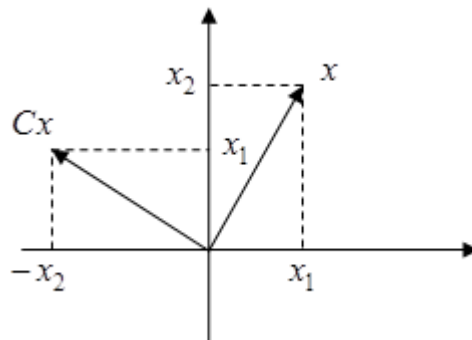


Рис. 24

Определение. Трансверсалью системы (1.50) называется отрезок $[a, b] \subset Q$, во всех точках x которого скалярное произведение $(C(b-a), \tau_x f(x))$ сохраняет знак.

Примеры.

а) Для постоянной вектор-функции $f(x) = (c_1, c_2)$ трансверсалью будет являться любой отрезок, расположенный во внутренности Q .

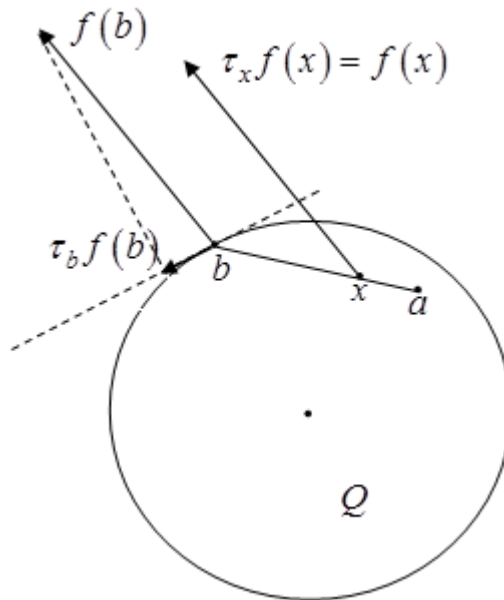


Рис. ??

На рисунке отрезок $[a, b]$ не является трансверсалью, так как в точке b , расположенной на границе множества Q , проекция $\tau f(x)$ меняет остроту угла с вектором $C(b-a)$, так $(C(b-a), \tau_x f(x)) < 0$ для всех $x \in [a, b)$, а $(C(b-a), \tau_b f(b)) > 0$.

б) Пусть $f(x) = Cx$, и $Q = B[0, 1]$ — круг с центром в $(0, 0)$ радиуса 1. Любой отрезок, совпадающий по расположению с радиусом $B[0, 1]$ и не содержащий точку $(0, 0)$ в качестве своей внутренней точки, является трансверсалью (но не только указанные отрезки в этом примере являются трансверсалью).

1.6.2.2. Лемма о замкнутости множества решений

Решения системы (1.50) образуют замкнутое множество в топологии равномерной сходимости на отрезках, то есть если последовательность решений $x_n(t)$ системы (1.50), определенных на промежутке J , равномерно сходится к некоторой функции $x(t)$ на каждом отрезке, включенном в J , то $x(t)$ является решением (1.50).

Доказательство. Уравнение (1.50) эквивалентно включению (см. 1.2.8)

$$f(x) \in \dot{x} + N_x \quad (1.51)$$

с максимальным монотонным оператором $N(Q)$. Монотонность оператора диодной нелинейности $N(Q): x \rightarrow N_x$ была показана в 1.5.7, а максимальность его следует из того факта, что $N(Q)$ определён нами для любой точки $z \in \mathbb{R}^m$ (см. 1.2.3 и 1.4.1) и значением его является конус, содержащий нулевую точку. Поэтому образ оператора $I + N(Q)$ покрывают всё пространство \mathbb{R}^m , что по теореме Минти эквивалентно максимальной монотонности оператора (невозможности расширения графика оператора с сохранением его монотонности) [Brezis H. Operaterus maximaux monotones et semigroupes de contractions dans les espaces de Hilbert. — Amsterdam-London-New York: Noth-Holland, 1973., стр.22].

Очевидно,

$$b_n(t) \in \dot{x}_n(t) + N_{x_n(t)}, \text{ где } b_n(t) := f(x_n(t)). \quad (1.52)$$

Заметим, что на любом отрезке $\Delta \subset J$ мы имеем равномерную сходимость $b_n(t) \rightarrow b(t) := f(x(t))$. Рассмотрим включение

$$b(t) \in \dot{y} + N_y \quad (1.53)$$

с начальным условием $y(t_0) = x(t_0)$, где t_0 — произвольная точка промежутка J .

У данной задачи на $J \cap [t_0, +\infty)$ существует единственное решение $y = y(t)$ [Brezis

H. Operaterus maximaux monotones et semigroupes de contractions dans les espaces de Hilbert. — Amster-

dam-London-New York: Noth-Holland, 1973., Prop 3.13, с. 106].

$$b_n(t) - b(t) \in \dot{x}_n(t) - \dot{y}(t) + N_{x_n(t)} - N_{y(t)}.$$

Найдутся $z(t) \in N_{x_n(t)}$ и $u(t) \in N_{y(t)}$, для которых выполняются равенства $b_n(t) = \dot{x}_n(t) + z(t)$, $b(t) = \dot{y}(t) + u(t)$. Вычтем из первого равенства второе $b_n(t) - b(t) = \dot{x}_n(t) - \dot{y}(t) + z(t) - u(t)$ и скалярно умножим на $x_n(t) - y(t)$

$$(\dot{x}_n - \dot{y}, x_n - y) + (z - u, x_n - y) = (b_n - b, x_n - y).$$

Второе слагаемое $(z - u, x_n - y)$ неотрицательно в силу монотонности $N(Q)$, поэтому:

$$\frac{1}{2} \left(\|x_n - y\|^2 \right)' \leq (b_n(t) - b(t), x_n - y) \leq k(\Delta, n) \|x_n - y\|,$$

где $k(\Delta, n) := \max_{t \in \Delta} \|b_n(t) - b(t)\| \xrightarrow{n \rightarrow \infty} 0$. Получаем дифференциальное неравенство вида $\dot{\psi} \leq 2k(\Delta, n) \sqrt{\psi}$. В силу теоремы о дифференциальном неравенстве [x81, с. 16,17] $\|x_n - y\| \leq \|x_n(t_0) - x(t_0)\| + k(\Delta, n)(t - t_0)$. Следовательно, $x_n \rightarrow y$ на Δ . Таким образом, $x = y$; тогда x является решением включения (1.53) и, следовательно, решением (1.51) на $J \cap [t_0, +\infty)$, а ввиду произвольности t_0 , на всем промежутке J .

Лемма доказана. Из неё в частности следует, что $\bar{\varphi}$ является решением (1.50).

1.6.2.3. Геометрическая трактовка полунепрерывности сверху оператора N_x

Утверждение. *Оператор N_x является полунепрерывным сверху в любой точке $x_0 \in \partial Q$ в следующем смысле: для любого $\alpha > 0$ существует окрестность V точки x_0 , такая, что угол между любым вектором из N_x ($x \in V \cap \partial Q$) и ближайшим к нему вектором из N_{x_0} меньше α .*

Доказательство. Предположим противное: для некоторого $x_0 \in \partial Q$ и $\alpha > 0$ не найдется такой окрестности. Тогда для любого натурального n существуют $x_n \in \partial Q$, $x_n \xrightarrow{n \rightarrow \infty} x_0$ и $y_n \in N_{x_n}$, $\|y_n\|=1$ такие, что угол между y_n и ближайшим к нему вектором из N_{x_0} не меньше α . При этом без ограничения общности можно считать, что последовательность (y_n) сходится к некоторому y_0 . Угол между y_0 и ближайшим к нему вектором из N_{x_0} также не меньше α , следовательно, $y_0 \notin N_{x_0}$. Это противоречит замкнутости графика максимального монотонного оператора $N(Q)$ [Обен Ж.-П., Экланд И. Прикладной нелинейный анализ. — М.: Мир, 1988., с.360,369-371]. Утверждение доказано.

1.6.2.4. Невозможность значениям непрерывной функции скачком войти внутрь касательного конуса

Утверждение. Если $f(p) \in \text{Int}T_p$, то $f(x) \in \text{Int}T_x$ для всех $x \in Q$ из некоторой окрестности точки p .

Доказательство. Предположим противное: пусть существует последовательность $x_n \xrightarrow{n \rightarrow \infty} p$, такая, что $f(x_n) \notin \text{Int}T_{x_n}$. Нетрудно видеть из определения касательного конуса (см. 1.2.6), что тогда существует последовательность векторов $y_n \in N_{x_n}$ и $\|y_n\|=1$, удовлетворяющих неравенству $(f(x_n), y_n) \geq 0$. Без ограничения общности можно считать, что y_n сходится к некоторому y , причем $y \in N_p$ в силу замкнутости графика оператора $N(Q)$. Переходя к пределу при $n \rightarrow \infty$, получаем неравенство $(f(p), y) \geq 0$, которое противоречит условию $f(p) \in \text{Int}T_p$. Утверждение доказано.

1.6.2.5. Терминология и обозначения

Будем использовать следующие термины и обозначения. Для ненулевых векторов $u, w \in \mathbb{R}^2$ выражение “ v лежит между u и w ” будет означать, что v есть нулевой вектор или при повороте вектора u против часовой стрелки до

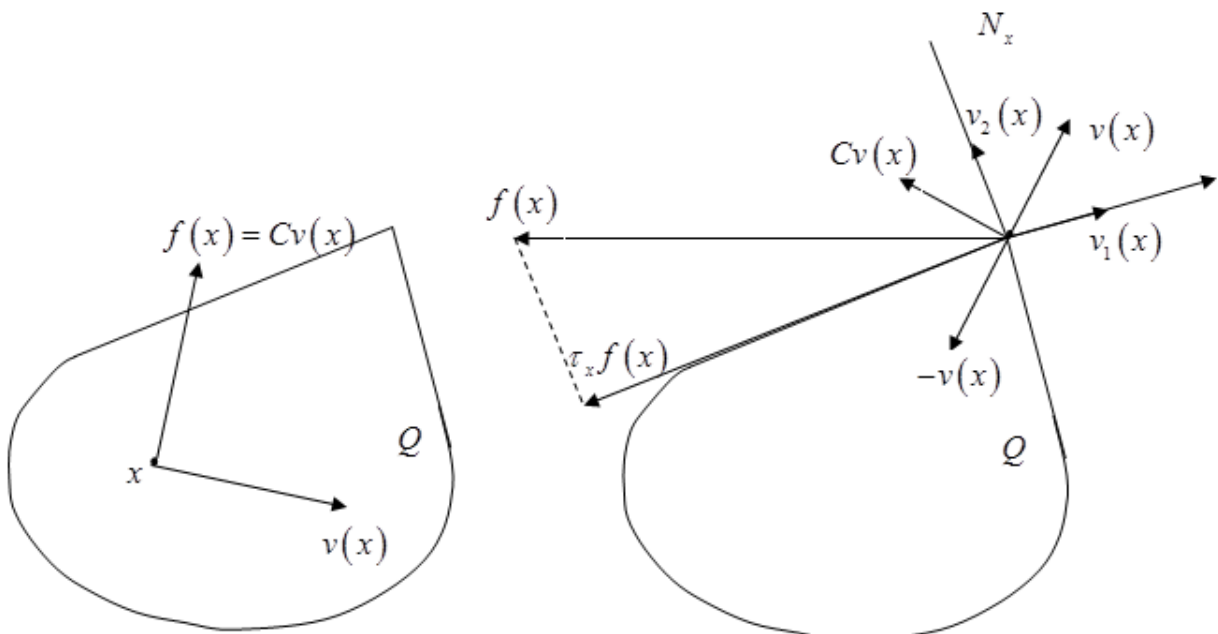
направления вектора w он пройдет через направление вектора v ; угол $\angle_{\rightarrow}(u, w)$ — множество векторов v , лежащих между u и w ; $\angle(u, w)$ — радианная мера угла $\angle_{\rightarrow}(u, w)$.

Для точки $x \in \partial Q$ будем обозначать через $v_1(x)$, $v_2(x)$ единичные векторы граней (сторон) конуса N_x , такие, что все вектора из N_x расположены между $v_1(x)$ и $v_2(x)$. Возможно, $v_1(x) = v_2(x)$, но в любом случае $v_1(x) \neq -v_2(x)$, так как множество Q имеет непустую внутренность.

Для ненулевого векторов $u \in \mathbb{R}^2$ выражение “ v лежит между N_x и u ” (“ v лежит между u и N_x ”) будет означать, что v лежит между вектором $v_2(x)$ и u (v лежит между вектором u и $v_1(x)$).

Если $x \in \text{Int } Q$ (рис.25 а), то положим $v(x) = C^{-1}f(x)$. При этом

$(f(x), Cv(x)) = (f(x), f(x)) = \|f(x)\|^2 \geq 0$. В случае $x \in \partial Q$ (рис.25 б)) положим $v(x) = v_1(x) + v_2(x)$. Нетрудно видеть, что $v(x) \in N_x$, а $-v(x) \in \text{Int } T_x$ и является биссектрисой угла касательного конуса T_x также, как $v(x)$ — биссектриса угла-нормального конуса N_x .



a)

b)

Рис. 25

1.6.2.6. Свойство граничной ω -предельной точки

Лемма. Если p — ω -предельная точка решения системы (1.50) и $p \in \partial Q$, то $f(p) \notin \text{Int}T_p$.

Доказательство. Поскольку $p \in \partial Q$, то векторы $v_1(p)$, $v_2(p)$ отличны от нулевого и $v = v_1(p) + v_2(p)$, $-v$ тоже не являются нулевыми (см. 1.6.2.5). Отметим, что для всех $x \in T_p$ в этом случае выполняется неравенство $(x, -v) \geq 0$, так как $(-v)$ — биссектриса угла T_p , не превосходящего π .

Предположим противное, что $f(p) \in \text{Int}T_p$ и, следовательно, отлично от нуля. Рассмотрим функцию $V(x, z) = \left(x - p, \frac{z}{\|z\|} \right)$, характеризующую проекцию удалённости x от p на вектор z . По утверждению 1.6.2.4. в точках x , близких к p , $f(x) \in \text{Int}T_x \subset T_x$, следовательно, для них $\tau_x f(x) = f(x)$. Кроме того из непрерывности f следует, что для $\varepsilon > 0$, при котором число $a := (f(p), -v) - \varepsilon > 0$, найдётся $\delta > 0$ такое, что для всех $x \in Q \cap B[p, \delta]$ и $z \in B[-v, \delta]$ выполнено не только $f(x) \in \text{Int}T_x$, но и неравенство $(f(x), z) > a$. Поэтому для производной функций $V(x(t), z)$ по траекториям решений $x(t)$ (1.50) со значениями из $Q \cap B[p, \delta]$ при любом фиксированном $z \in B[-v, \delta]$ выполняется неравенство

$$\frac{d}{dt}V(x(t), z) = (\dot{x}(t), z) = (f(x(t)), z) > a. \quad (1.54)$$

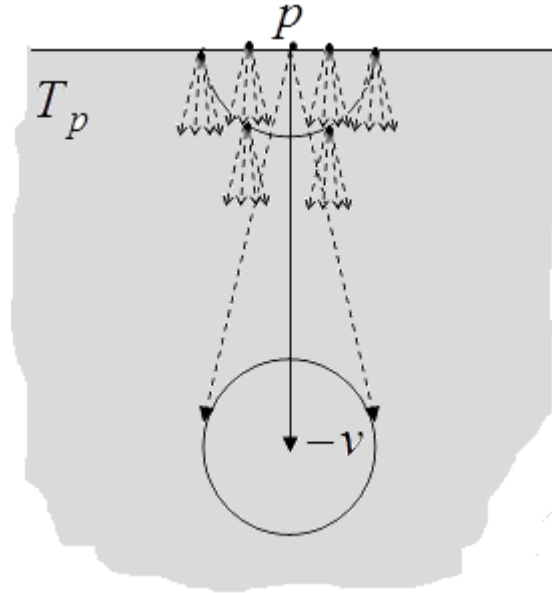


Рис. 26

Таким образом, множество $Q \cap B[p, \delta]$ является окрестностью точки p в Q , обладающей следующим свойством. Если точка решения $x(t)$ находится в этой окрестности, то скорость проекции её удаления $(x(t) - p)$ от p на произвольный вектор из окрестности $(-v)$ имеет значение, не меньшее положительного числа a . Поэтому ни одна траектория решения системы (1.50) не может войти в эту окрестность извне и любая траектория, начинающаяся в ней, обязательно выходит из этого множества. Это противоречит тому, что p есть ω -предельная точка. Лемма доказана.

1.6.2.7. Расположение векторов $f(p)$, $\tau_p f(p)$ и Cv

Лемма. Для ω -предельной точки p решения φ системы (1.50) величина $q := (\tau_p f(p), Cv)$ имеет тот же знак, что и $(f(p), Cv)$.

Здесь и далее $v := v(p)$.

Доказательство. Для $p \in \Omega_\varphi$ в силу условия **(б)** $f(p) \neq 0$ и при $p \in \text{Int } Q$ $(f(p), Cv) = \|f(p)\|^2 > 0$. Если $p \in \partial Q$, то в силу условия **(б)** $f(p)$ не только отличен от нуля, но и не направлен по лучу v . В лемме 1.6.2.6 было показано, что

этот вектор не может идти и по лучу $-v$, поскольку $-v \in \text{Int} T_p$. Следовательно, в любом случае $(f(p), Cv) \neq 0$.

Для $p \in \partial Q$ рассмотрим случай, когда

$$(f(p), Cv) > 0 \quad (1.55)$$

При этом вектор $f(p)$, а вместе с ним и $\tau_p f(p)$, находятся между $v_2(p)$, $-v$. Следовательно, $\tau_p f(p)$ лежит между v и $-v$, не совпадая ни с одним из этих векторов. Это означает, что $q > 0$.

Если для $p \in \partial Q$

$$(f(p), Cv) < 0, \quad (1.56)$$

то $f(p)$ и $\tau_p f(p)$, находятся между $-v$, $v_1(p)$ и, следовательно, между $-v$ и v . Отсюда следует, что $q < 0$. Лемма доказана.

1.6.2.8. Построение трансверсали

Лемма. Для ω -предельной точки p решения φ системы (1.50) существуют такие числа $r > 0$ и $a > 0$, что если $x \in Q$ и $\|x - p\| < r$, то $(\tau_x f(x), Cv)q > a$. В частности, отрезок $L := \{p + sv \in Q : s \in \mathbb{R} \wedge \|sv\| \leq r\}$ является трансверсалью системы (1.50).

Напомним, что в 1.6.2.7 мы определили $q = (\tau_p f(p), Cv)$.

Доказательство. В предположении противного найдётся сходящаяся к p последовательность точек x_k , для которых $(\tau_{x_k} f(x_k), Cv)q < \frac{1}{k}$. При достаточно больших k точки x_k лежат на ∂Q . Действительно, если бы для бесконечного множества M номеров k было $x_k \in \text{Int} Q$, то мы получили бы

$$(f(p), Cv)q = q \cdot \lim_{\substack{k \rightarrow \infty \\ k \in M}} (f(x_k), Cv) = q \cdot \lim_{\substack{k \rightarrow \infty \\ k \in M}} (\tau_{x_k} f(x_k), Cv) = (\tau_p f(p), Cv)q \leq 0, \text{ что}$$

противоречит лемме 1.6.2.7.

Будем считать, что $x_k \in \partial Q$ при всех k . Очевидно, что и $p \in \partial Q$. Рассмотрим случай, когда выполнено неравенство $(f(p), Cv) > 0$ и, следовательно, $q > 0$ по 1.6.2.7. Тогда $(\tau_{x_k} f(x_k), Cv)q = (C^{-1}\tau_{x_k} f(x_k), v)q = (\mu_k, v)q < \frac{1}{k}$, где $\mu_k \in N_{x_k}$. Последовательность (μ_k) ограничена, поэтому можно считать, что она сходится к некоторому μ . В силу замкнутости графика $N(Q)$ вектор $\mu \in N_p$, и $(\mu, v) = \lim_{k \rightarrow \infty} (\mu_k, v) \leq 0$. Если $\mu \neq 0$, то, поскольку v направлен по биссектрисе конуса N_p , это означает, что $\angle n_1 n_2 \geq \pi$, но это невозможно ввиду условия непустоты $\text{Int } Q$. Следовательно, $\mu = 0$. Это значит, что $\|\tau_{x_k} f(x_k)\| \rightarrow 0$. Заметим, что $f(x_k) - \tau_{x_k} f(x_k) \in N_{x_k}$. По свойству замкнутости графика $N(Q)$ получаем $f(p) \in N_p$. Получаем противоречие с условием **(б)**. Итак, при $(f(p), Cv) > 0$ мы пришли к противоречию.

Предположим, выполнено $(f(p), Cv) < 0$ и, следовательно, $q < 0$. Тогда $(\tau_{x_k} f(x_k), Cv)q = (C\tau_{x_k} f(x_k), -v)q = (\mu_k, v)(-q) < \frac{1}{k}$, где $\mu_k \in N_{x_k}$. Отсюда, как и в предыдущем случае, получается противоречие. Лемма доказана.

Зафиксируем точку $p \in \Omega_\varphi$ и построенную для неё трансверсаль $L = \{p + sv \in Q : s \in \mathbb{R} \wedge \|sv\| \leq r\}$ и определим $\tilde{L} := \{p + sv \in Q : s \in \mathbb{R} \wedge \|sv\| < r\}$ для формулировки и доказательства утверждений лемм 1.6.2.9 и 1.6.2.10.

1.6.2.9. О пересечении трансверсали траекториями решений φ и $\bar{\varphi}$

Лемма. Пусть $\bar{p} \in \Omega_\varphi \cap \tilde{L}$, $\varepsilon > 0$ и $\psi = \varphi$ или $\psi = \bar{\varphi}$. Тогда существуют $T > 0$ и $\delta > 0$, такие, что если $\|\psi(t_1) - \bar{p}\| < \delta$ и отрезок $[t_1 - T, t_1 + T]$ лежит в области определения решения ψ , то

$$\exists(t_2 \in [t_1 - T, t_1 + T])[\psi(t_2) \in L \wedge \|\psi(t_2) - \bar{p}\| < \varepsilon].$$

Доказательство. Поскольку $\bar{p} \in \tilde{L}$, расстояние между \bar{p} и p меньше r . Выберем $\varepsilon_1 \in (0, \varepsilon]$ так, чтобы выполнялось включение

$$B(\bar{p}, \varepsilon_1) = \{x \in \mathbb{R}^2 : \|x - \bar{p}\| < \varepsilon_1\} \subset B(p, r). \text{ Положим } H := \max_{x \in B(\bar{p}, \varepsilon_1) \cap Q} \{\|f(x)\|\} \text{ и}$$

$$T := \frac{\varepsilon_1}{H}. \text{ Если } 0 < \delta < \varepsilon_1 \text{ и}$$

$$\|\psi(t_1) - \bar{p}\| < \delta, \quad (1.57)$$

то

$$\|\psi(t) - \bar{p}\| < \varepsilon_1 \text{ при } |t - t_1| \leq T_1 := \frac{\varepsilon_1 - \delta}{H} \quad (1.58)$$

Действительно,

$$\|\psi(t) - \bar{p}\| = \left\| \psi(t_1) + \int_{t_1}^t \dot{\psi}(s) ds - \bar{p} \right\| \leq \|\psi(t_1) - \bar{p}\| + \left| \int_{t_1}^t \|\tau_{\psi(s)} f[\psi(s)]\| ds \right| < \delta + H|t - t_1| \leq$$

$$\delta + HT_1 = \varepsilon_1$$

Рассмотрим функцию $w(t) = (\psi(t) - \bar{p}, Cv)$. Покажем, что существует $t_2 \in [t_1 - T_1, t_1 + T_1] \subset [t_1 - T, t_1 + T]$ такое, что $w(t_2) = 0$ (то есть $\psi(t_2) \in L$); при этом неравенство $\|\psi(t_2) - \bar{p}\| < \varepsilon$ будет вытекать из (1.58).

Заметим, что при выполнении (1.57) справедливо неравенство

$$|w(t_1)q| \leq \delta \|v\| \cdot |q| \quad (q = (\tau_p f(p), Cv) \text{ см. 1.6.2.7}). \text{ Пусть } w(t_1)q > 0, \text{ тогда}$$

$$\begin{aligned} w(t_1 - T_1)q &= w(t_1)q + [w(t_1 - T_1) - w(t_1)]q \leq \delta \|v\| \cdot |q| + \int_{t_1}^{t_1 - T_1} (\dot{\psi}(s), Cv)q ds = \\ &= \delta \|v\| \cdot |q| - \int_{t_1 - T_1}^{t_1} (\tau_{\psi(s)} f[\psi(s)], Cv)q ds \leq \delta \|v\| \cdot |q| - T_1 a \end{aligned}$$

$((\tau_{\psi(s)}f(\psi(s)), Cv)q > a$ см. лемму 1.6.2.8). Выберем δ так, чтобы

$$w(t_1 - T_1)q \leq \delta \|v\|q - T_1 a \leq 0. \text{ Из последнего неравенства и } T_1 = \frac{\varepsilon_1 - \delta}{H} \text{ (см. (1.58))}$$

$\delta H \|v\| \cdot |q| \leq HT_1 a = \varepsilon_1 a - \delta a$, откуда

$$\delta \leq \frac{\varepsilon_1 a}{H \|v\| \cdot |q| + a}, \quad (1.59)$$

при этом нет противоречия с ранее введённым ограничением $0 < \delta < \varepsilon_1$.

Итак, при выборе $0 < \delta \leq \frac{\varepsilon_1 a}{H \|v\| \cdot |q| + a}$ на концах отрезка $[t_1 - T_1, t_1]$ непрерывная функция $w(t)q$ имеет разные знаки. Следовательно, на этом отрезке существует искомая точка t_2 .

При $w(t_1)q < 0$ аналогично доказываем существование точки t_2 на отрезке $[t_1, t_1 + T_1]$. Лемма доказана. Из неё следует, что траектория ψ бесконечное число раз пересекает трансверсаль L .

1.6.2.10. О пересечении Ω_φ с трансверсалью

Лемма. Если решение φ системы (1.50) не является замкнутой траекторией, то \tilde{L} не содержит точек множества Ω_φ , отличных от p .

Доказательство. Из леммы 1.6.2.9 следует, что множество $\{t: \varphi(t) \in L\}$ не пусто. Заметим, что оно дискретно, так как функция $u(x) = (x - p, Cv)q$ (см. 1.6.2.7 $q = (\tau_p f(p), Cv)$, Cv ортогонален L по построению трансверсали) строго возрастает на траектории решения φ в r -окрестности p , так как с учётом утверждения леммы 1.6.2.8 $u'(\varphi(t)) = (\dot{\varphi}(t), Cv)q = (\tau_{\varphi(t)} f(\varphi(t)), Cv)q > a > 0$ при $\|\varphi(t) - p\| < r$, и равна нулю на трансверсали. Единственной точкой сгущения множества $\{t: \varphi(t) \in L\}$ является $+\infty$, поскольку конечная точка сгущения была бы не изолированным элементом этого множества, и это противоречило бы нера-

венству $u'(\varphi(t)) > a$. Пронумеруем все элементы множества в порядке возрастания t — таким образом, построим монотонную последовательность $t_n \rightarrow \infty$ и соответствующую последовательность $\varphi(t_n) \in L$. Все точки $\varphi(t_n)$ различны, поскольку по предположению леммы траектория φ не является замкнутой. Определим положительное направление на трансверсали с помощью вектора $\varphi(t_2) - \varphi(t_1)$. Покажем методом математической индукции, что последовательность $\varphi(t_n)$ возрастает в смысле введенного направления, то есть $\varphi(t_i) < \varphi(t_{i+1})$ для всех i .

Для $i = 1$ это справедливо по определению. Пусть это верно для всех $i \leq m$. Докажем, что неравенство справедливо и для $i = m + 1$. Предположим противное, и пусть $(\varphi(t_k), \varphi(t_{k+1}))$ — интервал, содержащий $\varphi(t_{m+2})$ с $k \leq m$. Пусть Γ — кривая, составленная из дуги траектории φ при $t \in [t_k, t_{k+1}]$ и отрезка $[\varphi(t_k), \varphi(t_{k+1})]$. Ввиду предположения о не замкнутости траектории φ это есть жорданова кривая (топологический образ плоской окружности при некотором непрерывном отображении). По теореме Жордана дополнение Γ до всей плоскости состоит из двух связных компонент — ограниченной Δ_1 и неограниченной Δ_2 . Для каждой из них Γ является границей. Ограниченная компонента называется внутренней, неограниченная — внешней (см. [Хартман Ф. Обыкновенные дифференциальные уравнения. — М.: Мир, 1970. — 720 с.], стр.181).

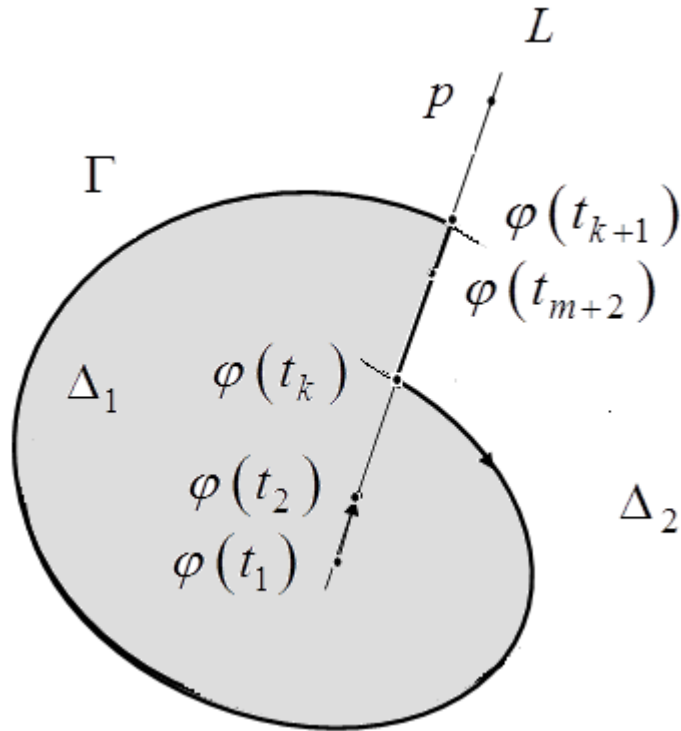


Рис. 27

Пусть $\xi \in (\varphi(t_k), \varphi(t_{k+1}))$. Докажем, что при достаточно малом $\varepsilon > 0$ множество $M_1 = \{x \in \mathbb{R}^2 : u(x) > 0 \wedge \rho(x, [\varphi(t_{k+1}), \xi]) < \varepsilon\}$ целиком лежит в одной из компонент Δ_1, Δ_2 . Достаточно выбрать ε так, чтобы указанное множество не содержало точек кривой $\{\varphi(t) : t_k \leq t \leq t_{k+1}\}$. Если такого $\varepsilon > 0$ не существует, то найдется последовательность чисел $t_k \leq s_j \leq t_{k+1}$, такая, что $u(\varphi(s_j)) > 0$ и $\varphi(s_j) \rightarrow b \in [\varphi(t_{k+1}), \xi]$. Нетрудно видеть, что в этом случае $b = \varphi(t_{k+1})$. Тогда

$$\begin{aligned}
 0 &> -u(\varphi(s_j)) = u(\varphi(t_{k+1})) - u(\varphi(s_j)) = \\
 &= \int_{s_j}^{t_{k+1}} (\tau_{\varphi(\sigma)} f(\varphi(\sigma)), Cv) q d\sigma > a(t_{k+1} - s_j) \quad , \quad (1.60)
 \end{aligned}$$

последнее неравенство справедливо при достаточно большом j в силу леммы 1.6.2.8. Так как $a > 0$, получаем противоречие. Аналогично доказывается, что при достаточно малом $\varepsilon > 0$ множество

$M_2 = \{x \in \mathbb{R}^2 : u(x) < 0 \wedge \rho(x, [\varphi(t_{k+1}), \xi]) < \varepsilon\}$ целиком лежит в одной из компонент Δ_1, Δ_2 . Очевидно, что множества M_1, M_2 лежат в разных компонентах.

Заметим, что решение $\varphi(t)$ пересекает L в направлении от M_2 к M_1 (иное противоречит возрастанию $u(\varphi(t))$). Множество $U = \Delta_1 \cup \Gamma$ называют *улиткой*. Улитку называют *развертывающейся*, если $M_1 \subset \Delta_2$ (рис. 27); и *свертывающейся*, если $M_1 \subset \Delta_1$.

Рассмотрим случай, когда U — развертывающаяся улитка. Тогда при достаточно малом $\delta > 0$ на интервале $(t_{k+1}, t_{k+1} + \delta)$ $\varphi(t)$ лежит в Δ_2 , а на интервале $(t_{m+2} - \delta, t_{m+2})$ — в Δ_1 . Поэтому на интервале $(t_{k+1} + \delta, t_{m+2} - \delta)$ существует точка t_* , в которой $\varphi(t_*) \in \Gamma$, что противоречит предположению индукции, если $\varphi(t_*) \in [\varphi(t_k), \varphi(t_{k+1})]$, или предположению о не замкнутости траектории φ , если $\varphi(t_*) = \varphi(\bar{t})$, $\bar{t} \in (t_k, t_{k+1})$. Аналогичные рассуждения в случае свертывающейся улитки также приводят к противоречию. Таким образом, последовательность $\varphi(t_n)$ возрастает в смысле введенного направления.

В силу леммы 1.6.2.9 точка p и все точки множества $\Omega_\varphi \cap \tilde{L}$ являются предельными для последовательности $\varphi(t_n)$. Ввиду монотонности $\varphi(t_n)$ предельная точка может быть только одна, следовательно, в \tilde{L} нет точек Ω_φ , кроме p . Лемма доказана.

Для завершения доказательства теоремы заметим, из двух последних лемм следует, что траектория $\bar{\varphi} \subset \Omega_\varphi$ неоднократно пересекает \tilde{L} в точке p . Произвольность выбора p из Ω_φ означает, что $\{(t, \bar{\varphi}(t))\} = \Omega_\varphi$ и является замкнутой траекторией системы (1.50). Доказательство теоремы 1.6.2.1 завершено.

1.6.3. Условия (усиленной) орбитальной устойчивости.

В данном пункте устанавливаются достаточные условия существования,

единственности и (в усиленном смысле) орбитальной устойчивости замкнутой траектории системы (1.50) $\dot{x} = \tau_x f(x)$.

Здесь мы будем предполагать, что для функции f выполнены следующие условия:

$$f: Q \rightarrow \mathbb{R}^2 \text{ — удовлетворяет условию Липшица;} \quad (1.60)$$

$$Q \neq \mathbb{R}^2 \text{ — выпуклое замкнутое множество в } \mathbb{R}^2; \quad (1.61)$$

$$0 \in \text{Int } Q; \quad (1.62)$$

$$f(x) \notin N_x \text{ при } x \neq 0; \quad (1.63)$$

существуют симметричная положительно определённая матрица B ,

скалярная функция $\mu: \mu(a) > 0$ для $a > 0$

такие, что выполнено неравенство

$$(Bx, f(x)) > \mu(\|x\|) \text{ для всех } x \in Q \setminus \{0\}; \quad (1.64)$$

существует число $\nu_0 > 0$ такое, что

$$\left| (f(x), Cx) \right| \geq \nu_0 \|x\|^2 \text{ для всех } x \in Q. \quad (*)$$

$(f(x), Cx)$ имеет на множестве $x \in Q \setminus \{0\}$ значения одного знака в силу

условий (1.60), (1.62) и (*). Поэтому без ограничения общности можно считать,

что в последнем условии (*) $(f(x), Cx) > 0$ при $x \in Q \setminus \{0\}$. Если это не так и

$(f(x), Cx) < 0$, можно заменой переменных $y = Dx = (x_1, -x_2)$ свести рассматри-

ваемую систему к системе $\dot{y} = \tau_y Df(Dy)$ в множестве DQ , для которой выполне-

ны все перечисленные выше условия, причем последнее неравенство без знака

модуля. Действительно, в силу очевидного равенства

$D\tau(x, Q)f(x) = \tau(Dx, DQ)Df(x)$ (где оператор $\tau(x, Q)$ обозначает проектор на

касательный конус к множеству Q в точке x) система (1.50) с учётом замены эк-

вивалентна $\dot{y} = \tau_y Df(Dy)$. При этом $(Df(Dy), Cy) = (f(Dy), DCy) =$

$= -(f(Dy), CDy) = -(f(x), Cx) \geq v_0 \|x\|^2 = v_0 \|y\|^2$. Поэтому последнее условие заменим на

$$(f(x), Cx) \geq v_0 \|x\|^2, \text{ где } v_0 > 0. \quad (1.65)$$

Отображение D есть зеркальное отражение в одной из осей координат, поэтому оно сохраняет интересующие нас свойства системы (1.50) (свойства замкнутости траекторий, их орбитальной и т.п.).

Заметим также, что из условия (1.65) вытекает, что $f(x) \neq 0$ на $x \in Q \setminus \{0\}$.

Условие (1.64) означает: при движении по траектории решения (1.50) без выхода на границу квадратичная форма (Bx, x) строго возрастает, так как в этом случае $(Bx(t), x(t))' = 2(Bx(t), x'(t)) = 2(Bx(t), f(x(t))) > \mu(\|x(t)\|) \geq 0$.

Условия (1.60)–(1.65) выполнены, например, если $f(x) = Ax$ и матрица A имеет комплексные собственные значения с положительной вещественной частью.

В приведенных условиях гарантировано существование единственного решения системы (1.50) с начальным условием $x(0) = x_0$, $x_0 \in Q$, определенного на всей правой полуоси (см. параграф 1.5). Значение этого решения в момент $t \geq 0$ будем обозначать $g^t x_0$.

Приведём некоторые определения и докажем ряд лемм, которые помогут доказать теорему о существовании в условиях (1.60) — (1.65) единственной орбитально устойчивой траектории системы (1.50).

Определение. Замкнутую траекторию φ системы (1.50) будем называть орбитально устойчивой, если для произвольного $\varepsilon > 0$ найдётся $\delta > 0$ такое, что если точка x_0 находится от замкнутой траектории φ на расстоянии, не превышающем δ , то траектория решения $g^t x_0$ остаётся в ε -окрестности φ при $t \geq 0$.

Из этого определения следует, что замкнутая орбитально устойчивая траектория системы отвечает периодическому решению.

Определение. Решение $\varphi(t)$ системы (1.50) будем называть асимптотически орбитально устойчивым, если найдётся такое $\delta > 0$, что если точка x_0 находится от траектории φ на расстоянии, не превышающем δ , то расстояние от траектории решения $g^t x_0$ до траектории φ стремится к нулю при $t \rightarrow +\infty$.

Если условие одного из этих определений выполняется только для $x_0 \in \Delta_2$ — внешней компоненте траектории φ , то говорят об орбитальной устойчивости φ извне. Аналогично, при выполнении условия только для $x_0 \in \Delta_1$ — внутренней компоненте траектории φ говорят об орбитальной устойчивости φ изнутри.

Легко видеть, что в рамках введённых ограничений на систему из устойчивости решения по Ляпунову (асимптотической устойчивости) следует орбитальная устойчивость (асимптотическая орбитальная устойчивость) траектории этого решения.

1.6.3.1. Лемма о взаимном расположении N_x , $f(x)$, $\tau_x f(x)$ и $-x$.

Лемма. В условиях (1.60)–(1.65) если x лежит на границе Q , то вектор $f(x)$ расположен между N_x и $(-x)$ и между N_x и $\tau_x f(x)$.

Доказательство. Докажем сначала, что $f(x)$ лежит между N_x и $(-x)$. Рассмотрим одну связную компоненту Γ множества ∂Q (∂Q не является связной в одном случае, когда состоит из двух параллельных прямых) и в ней одну из ближайших точек к началу координат. В этой точке x утверждение справедливо, так как, нетрудно видеть, в этом случае N_x совпадает с лучом, натянутым на вектор x . В силу условия (1.65) вектор $f(x)$ расположен строго между векторами x и $-x$ в каждой точке $x \in Q \setminus \{0\}$. Отсюда вытекает доказываемое утверждение для данной точки.

Множество всех точек границы Q , для которых вектор $f(x)$ лежит между N_x и $(-x)$, обозначим через M_1 (ввиду сделанного выше замечания $M_1 \neq \emptyset$), и

положим $M_2 = \Gamma \setminus M_1$. Покажем, что эти множества открыты в индуцированной из \mathbb{R}^2 топологии. Для каждой точки $x \in \partial Q$ рассмотрим попарно не пересекающиеся множества: U_1 — окрестность точки $(-x)$, U_2 — окрестность $f(x)$, U_3 — угловую α -окрестность нормального конуса N_x ($y \in U_3$ в том и только в том случае, когда угол между y и ближайшим к нему вектором из N_x меньше α или $y = 0$). Существование этих окрестностей гарантируют условия (1.62), (1.63), (1.65). Очевидно, между любыми элементами этих множеств сохраняется расположение, имеющее место для $(-x)$, $f(x)$ и N_x . В силу непрерывности функций $-x$, f и полунепрерывности сверху оператора N_x (утверждение 1.6.2.3) найдется такая окрестность U точки x , что для всех точек $x' \in U$ выполнено: $-x' \in U_1$; $f(x') \in U_2$ и $N_{x'} \in U_3$. Получаем, что множества M_1 и M_2 открыты.

Так как Γ связно, то M_2 пусто, то есть $f(x)$ лежит между N_x и $(-x)$ во всех точках x границы Q .

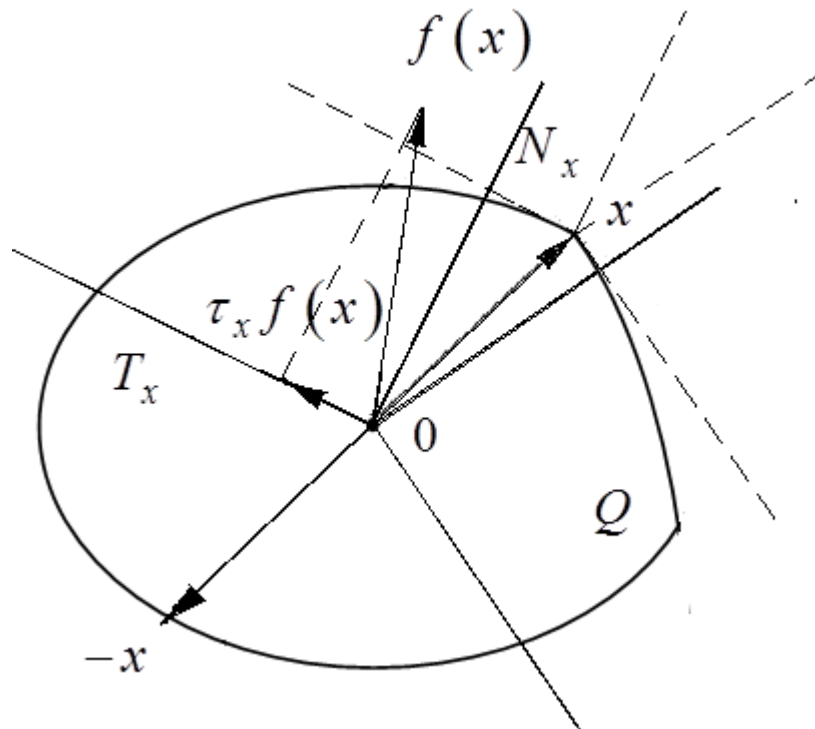


Рис. 28

Докажем теперь, что $f(x)$ лежит также между N_x и $\tau_x f(x)$. Действительно, отметим, что $-x \in T_x$, так как $0 \in Q$ и $0 - x \in T_x$ по определениям нормального N_x и касательного T_x конусов. Значит одно из ребер T_x , образующий единичный вектор которого обозначим u_1 , расположено вместе с $f(x)$ между N_x и $(-x)$. Если $f(x) \in T_x$, то $\tau_x f(x) = f(x)$ и утверждение выполнено. В противном случае $f(x)$ лежит строго между N_x и u_1 . А поскольку угол между N_x и u_1 прямой, то угол между $f(x)$ и u_1 острый, и $\tau_x f(x)$ совпадает по направлению с u_1 . Угол между вторым ребром конуса T_x и $f(x)$ не может быть тоже острым, так как внутренний угол T_x при $x \in \partial Q$ не превышает π , а внешний не менее π . Лемма доказана.

1.6.3.2. Оценка нормы вектора скорости системы

Утверждение. В условиях (1.60)–(1.65) для любого компакта K существует $a_0 > 0$, такое, что для $x \in \partial Q \cap K$ справедлива оценка $\|\tau_x f(x)\| \geq a_0$.

Доказательство. Предположим противное, тогда найдется последовательность (x_n) из $\partial Q \cap K$, такая, что $\|\tau_{x_n} f(x_n)\| \xrightarrow{n \rightarrow \infty} 0$. Без ограничения общности можно считать, что $x_n \xrightarrow{n \rightarrow \infty} x_0 \in \partial Q \cap K$, тогда $f(x_n) \xrightarrow{n \rightarrow \infty} f(x_0)$.

Заметим, что $f(x_n) - \tau_{x_n} f(x_n) \in N_{x_n}$. Так как $N(Q)$ — максимальный монотонный оператор, то по свойству замкнутости графика максимального монотонного оператора имеем: $f(x_0) \in N_{x_0}$. Получили противоречие с условием (1.63). Следовательно, $\|\tau_x f(x)\| \geq a_0 > 0$. Лемма доказана.

1.6.3.3. Оценка углов между векторами N_x и $-x$

Утверждение. Пусть K — компакт в \mathbb{R}^2 . Тогда существует $\delta > 0$, такое, что для любого $x \in K \cap \partial Q$ и любого $n \in N_x$, $\|n\| = 1$ верно неравенство $(-x, n) \leq -\delta$ или, что тоже $(x, n) \geq \delta$.

Доказательство. Заметим, что так как 0 — внутренняя точка множества Q , то для любых векторов $x \in \partial Q$ и $n \in N_x$ $(0 - x, n) = (-x, n) < 0$. Положим

$$i = \sup_{\substack{x \in K \cap \partial Q, \\ n \in N_x}} (-x, n). \text{ Очевидно, } i \leq 0.$$

Покажем, что $i < 0$. Действительно, если это не так, то найдутся последовательности $x_k \in K \cap \partial Q$ и $n_k \in N_{x_k}$, $\|n_k\| = 1$, такие, что $(-x_k, n_k) \rightarrow 0$. Без ограничения общности, $x_k \rightarrow \bar{x}$, $n_k \rightarrow \bar{n}$, причем $\bar{n} \in N_{\bar{x}}$ в силу замкнутости графика оператора $N(Q)$. Переходя к пределу при $k \rightarrow \infty$ в скалярном произведении $(-x_k, n_k)$, получаем противоречие с указанным в начале доказательства замечанием. Таким образом, $i < 0$, следовательно, для любых $x \in K \cap \partial Q$, $n \in N_x$, $\|n\| = 1$ $(-x, n) \leq -\delta$, где $\delta = -i$. Утверждение доказано.

1.6.3.4. Определение угловой скорости и угла поворота вектор-функции.

Сопоставим каждому вектору $x = (x_1, x_2) \neq 0$ множество $\Phi(x)$ **всех углов поворота оси Ox** до x (при повороте по часовой стрелке угол считается отрицательным). Очевидно, любое $\psi \in \Phi(x)$ удовлетворяет следующей системе уравнений:

$$\sin \psi = \frac{x_2}{\sqrt{x_1^2 + x_2^2}}, \quad \cos \psi = \frac{x_1}{\sqrt{x_1^2 + x_2^2}} \quad (1.66)$$

Зафиксируем значения $\psi = \psi_0$ и $x = x_0$, удовлетворяющие (1.66). Тогда в некоторой их окрестности эти уравнения по теореме о неявных функциях однозначно разрешимы относительно ψ : $\psi = \psi(x)$. Нетрудно видеть, что

$$\text{grad } \psi = \left(\frac{\partial}{\partial x_1} \arctg \frac{x_2}{x_1}, \frac{\partial}{\partial x_2} \arctg \frac{x_2}{x_1} \right) = \left(-\frac{x_2}{x_1^2 + x_2^2}, \frac{x_1}{x_1^2 + x_2^2} \right) = C \frac{x}{\|x\|^2}.$$

найденный градиент не зависит от ψ_0 и x_0 , будем обозначать его $\text{grad } \Phi(x)$.

Пусть $\varphi(t)$ — некоторая абсолютно непрерывная вектор-функция, всюду отличная от нуля. Тогда почти всюду однозначно определена производная

$$\frac{d(\Phi[\varphi(t)])}{dt} = (\text{grad } \Phi[\varphi(t)], \dot{\varphi}(t)),$$

обозначим её через $w(t)$. Поэтому определен и угол поворота функции φ за время от t_0 до t :

$$\Delta\Phi(\varphi, t_0, t) := \int_{t_0}^t w(s) ds$$

Будем также использовать следующее обозначение для производной от $\Phi(x)$ в силу системы (1.50): $\dot{\Phi}(x) := (\text{grad } \Phi(x), \tau_x f(x))$; очевидно $w(t) = \dot{\Phi}(\varphi(t))$ для φ — решения (1.50).

1.6.3.5. Лемма об оценке угловой скорости

Лемма. Для произвольного компакта $K \subset \mathbb{R}^2$ найдётся положительное число $\nu > 0$ такое, что для всех $x \in Q \cap K$, $x \neq 0$

$$\dot{\Phi}(x) = \frac{(Cx, \tau_x f(x))}{\|x\|^2} \geq \nu \quad (1.67)$$

Доказательство. Оценим дробь $\frac{(Cx, \tau_x f(x))}{\|x\|^2}$ снизу.

Если $f(x) = \tau_x f(x)$, то, очевидно, с учётом (1.65)

$$\frac{(Cx, \tau_x f(x))}{\|x\|^2} = \frac{(Cx, f(x))}{\|x\|^2} \geq \nu_0 > 0. \quad (1.68)$$

Если $f(x) \neq \tau_x f(x)$, то по аналогичным соображениям, приведенным в доказательстве леммы 1.6.2.8, учитывая, что вектор $f(x)$ расположен между N_x и $\tau_x f(x)$ (лемма 1.6.3.1), имеем: $C^{-1}\tau_x f(x) \in N_x$ и совпадает по направлению с единичным вектором $n_2 = \nu_2(x)$ грани конуса N_x . Тогда, используя утверждение 1.6.3.3, получаем:

$$\frac{(Cx, \tau_x f(x))}{\|x\|^2} = \frac{(x, C^{-1}\tau_x f(x))}{\|x\|^2} \geq \frac{\delta \|\tau_x f(x)\|}{\|x\|^2} \geq \frac{\delta a_0}{a_2^2} > 0, \quad (1.69)$$

где a_2 — верхняя оценка нормы векторов $x \in K$, a_0 — нижняя оценка нормы проекции вектора скорости, утверждение 1.6.3.2.

Обозначив через $\nu = \min \left\{ \nu_0, \frac{\delta a_0}{a_2^2} \right\}$, получим требуемое неравенство (1.67).

1.6.3.6. Лемма о выходе на границу

Лемма. При выполнении условий (1.60) – (1.65) для любого $x_0 \in Q$, $x_0 \neq 0$ найдётся число $\gamma \geq 0$ такое, что $g^\gamma x_0 \in \partial Q$.

Доказательство. Напомним, что $\partial Q \neq \emptyset$ в силу условия (1.61). Предположим противное: пусть для некоторого $x_0 \in Q \setminus \{0\}$ траектория $\{g^t x_0 : t \geq 0\}$ целиком лежит внутри Q . Тогда в силу условия (1.64) функция $b(t) = (Bg^t x_0, g^t x_0)$ **строго возрастает** в окрестности любой точки t , в которой $b(t) > 0$ (то есть $\|g^t x_0\| > 0$). Поскольку $b(0) = (Bx_0, x_0) > 0$, это означает, что при всех $t \geq 0$ $0 < b(0) \leq b(t)$. Следовательно,

$$(Bx_0, x_0) \leq (Bg^t x_0, g^t x_0) \leq \|B\| \|g^t x_0\|^2.$$

Отсюда следует, что $\|g^t x_0\| \xrightarrow{t \rightarrow +\infty} +\infty$. Действительно, если это не так, то $\|g^{t_n} x_0\| \leq M$

для **некоторой** последовательности $t_n \rightarrow +\infty$ и некоторого M . Тогда

$$\|B\| M^2 \geq \|B\| \|g^{t_n} x_0\|^2 \geq b(t_n) = b(0) + \int_0^{t_n} \dot{b}(s) ds \geq b(0) + \mu_0 t_n,$$

где

$$\mu_0 = \min \left\{ \mu(a) : (Bx_0, x_0) \leq \|B\| a^2 \leq \|B\| M^2 \right\} > 0.$$

Это противоречит тому, что $t_n \rightarrow +\infty$.

Почему любое решение мы охватываем?

Пусть $\bar{x} \in \mathbb{R}^2 \setminus Q$ и $\varepsilon > 0$ таковы, что $\varepsilon\bar{x} \in Q$. Если t достаточно велико, то $\|g^t \varepsilon\bar{x}\| > \|\bar{x}\|$, причем в силу леммы об оценке угловой скорости 1.6.3.5 t можно выбрать так, что $g^t \varepsilon\bar{x} = E\bar{x}$, где $E > 1$. Получаем противоречие с условием выпуклости Q : $\varepsilon\bar{x}$ и $E\bar{x}$ лежат в Q , а точка соединяющего их отрезка $\bar{x} \notin Q$. Лемма доказана.

Доказанные леммы демонстрируют, что наложенные на систему (1.50) условия (1.60) – (1.65) предполагают поле направления, создаваемое функцией f на плоскости, в виде раскручивающегося вокруг нулевой точки против часовой стрелки “торнадо”.

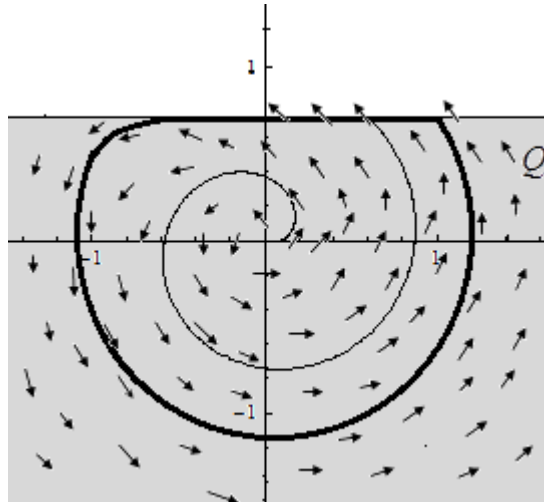


Рис. 29

А поскольку по этим же условиям граница множества Q не пуста, то любая ненулевая траектория системы рано или поздно прижимается этим “торнадо” к границе Q , благодаря чему траектория не уходит в бесконечность, а выходит, как мы увидим из следующей теоремы, на периодический режим с замкнутой траекторией.

1.6.3.7. Теорема о существовании, единственности и орбитальной устойчивости замкнутой траектории

Теорема. Пусть выполнены условия (1.60) – (1.65). Тогда система (1.50) имеет единственную замкнутую траекторию l , которая усиленно орбитально устойчива в том смысле, что в неё вливаются при $t \rightarrow +\infty$ все решения данной

системы. Последнее означает, что для любого $x_0 \in Q$ существует $s \geq 0$, такое, что $g^{s+t}x_0 \in l$ при $t \geq 0$.

Доказательство этой теоремы состоит из нескольких частей, в которых показывается:

- 1) слияние любых двух траекторий системы;
- 2) существование и единственность замкнутой траектории для ограниченного множества Q ;
- 3) существование у замкнутой траектории l окрестности, из точек которой траектории системы за одно и то же гарантированное время вливаются в l ;
- 4) непрерывная зависимость решений системы от начальных условий;
- 5) орбитальная устойчивость замкнутой траектории системы;
- 6) некоторые вспомогательные оценки;
- 7) оценка траектории системы;
- 8) существование и единственность замкнутой траектории для неограниченного Q сведением к задаче с ограниченным множеством.

1.6.3.7.1. Лемма о слиянии любых двух траекторий системы

Пусть $x_0, \bar{x}_0 \in Q$ произвольны, покажем, что существуют такие $t_1 \geq 0, t_2 \geq 0$, что $g^{t_1}x_0 = g^{t_2}\bar{x}_0$. Предположим противное: $g^{t_1}x_0 \neq g^{t_2}\bar{x}_0$ для любых $t_1 \geq 0; t_2 \geq 0$. Тогда любой луч r , выходящий из нуля, пересекается с одной из этих траекторий ближе к нулю, чем со второй, причем такое расположение точек пересечения сохраняется для всех лучей в силу сделанного предположения. Следовательно, одна из траекторий лежит строго внутри Q , что противоречит лемме 1.6.3.8 о выходе на границу. В рамках условий (1.60)–(1.65) справедлива теорема 1.5.1 о существовании и единственности вправо решения задачи Коши для системы (1.50), поэтому после пересечения $g^{t_1}x_0 = g^{t_2}\bar{x}_0$ траектории сливаются в одну $g^{t_1+t}x_0 = g^{t_2+t}\bar{x}_0$ для $t \geq 0$.

1.6.3.7.2. Существование и единственность замкнутой траектории в случае ограниченного множества Q

Предположим, что Q является ограниченным множеством. В этом случае условия теоремы о существовании замкнутой траектории (п. 1.6.2.1) выполнены — любое решение системы в рассматриваемом случае будет ограниченным, причем если оно начинается не из нуля, то его ω -предельное множество не содержит нулевой точки ввиду условия (1.64), это в сумме с условием (1.63) гарантирует выполнение условия (б). Следовательно, у системы (1.50) в Q существует замкнутая траектория. Из леммы о слиянии любых двух траекторий вытекает единственность замкнутой траектории, а также что любая ненулевая траектория вливается в замкнутую.

Для доказательства орбитальной устойчивости этой траектории покажем наличие у неё особой окрестности, из которой все траектории за один и тот же отрезок времени вливаются в замкнутую, кроме того покажем непрерывную зависимость решений системы от начальных условий.

1.6.3.7.3. Лемма о существовании у замкнутой траектории специальной окрестности

Пусть $l := \{(t, g^t \bar{x}_0) : t \geq 0\}$ — замкнутая траектория системы (1.50). Тогда

где $\exists(\delta_0 > 0, T_0 > 0) \forall (x_0 \in Q : \rho(x_0, l) = \min_{x \in l} \|x_0 - x\| < \delta_0) [g^{T_0} x_0 \in l]$.

Доказательство. Числа δ_0, T_0 найдем отдельно для Δ_1 — ограниченной открытой связной компоненты плоскости, определяемой кривой l , и для Δ_2 — соответствующей неограниченной компоненты. Пусть $x_1 = g^{T_0} \bar{x}_0 \in l \cap \partial Q$ (существование этой точки гарантирует лемма 1.6.3.6). Положим $r := [0, +\infty) \cdot x_1$ — луч, начинающийся в нуле и направленный вдоль вектора x_1 , и пусть произвольно выбрана точка $x_0 \in Q \cap \Delta_2$. В силу леммы 1.6.3.7 за время $\frac{2\pi}{\nu}$ вектор $g^t x_0$ совершит поворот вокруг нуля по меньшей мере на угол 2π , и, следовательно, пересечет

луч r в точке x_1 . Таким образом, для Δ_2 в качестве δ_0 можно взять любое положительное число, а в качестве T_0 — произвольное большее или равное $\frac{2\pi}{v}$ число.

Для Δ_1 определим δ_0 следующим образом. Пусть точка $b \in (0, x_1)$ выбрана так, что эллипс $(Bx, x) = (Bb, b)$ целиком лежит в Δ_1 . Выберем $\delta_0 > 0$ так, чтобы оно было меньше кратчайшего расстояния между точками эллипса и кривой l . В силу леммы о слиянии любых двух траекторий существует T_1 , такое, что $g^{T_1}b \in l$.

Пусть $x_0 \in \Delta_1$ и $\rho(x_0, l) < \delta_0$. Кривая $g^t x_0$ за время, не превышающее $\frac{2\pi}{v_0}$, пересечет отрезок $[b, x_1]$ или выйдет на ∂Q , и, следовательно, вольётся в l . В первом случае за дополнительное время T_1 она также вольётся в l . Итак, в качестве T_0

для Δ_1 можно взять число не меньшее $\frac{2\pi}{v_0} + T_1$.

Итак, за время $T_0 = \max \left\{ \frac{2\pi}{v}, \frac{2\pi}{v_0} + T_1 \right\}$ любая траектория, начинающаяся из

δ_0 -окрестности l вливается в l .

1.6.3.7.4. Лемма о непрерывной зависимости решений системы от начальных условий

$\forall (x_0, y_0 \in Q) \forall (t \geq 0) \left[\|g^t x_0 - g^t y_0\| \leq e^{Lt} \|x_0 - y_0\| \right]$. В частности, при $y_0 = 0$,

выполнено неравенство

$$\|g^t x_0\| \leq e^{Lt} \|x_0\|, \quad (1.70)$$

здесь L — константа Липшица из условия (1.60).

Доказательство. Положим $x := g^t x_0$, $y := g^t y_0$. Будем использовать обозначение $v_x u = u - \tau_x u$ — это проекция вектора u на N_x . Тогда

$$\begin{aligned} \frac{1}{2} \frac{d}{dt} \|x - y\|^2 &= (\tau_x f(x) - \tau_y f(y), x - y) = (f(x) - f(y), x - y) - \\ &- (v_x f(x) - v_y f(y), x - y) \leq L \|x - y\|^2. \end{aligned}$$

Здесь использована монотонность многозначного оператора $N(Q)$ и липшицевость f . Из полученного дифференциального неравенства очевидным образом вытекает доказываемое утверждение.

1.6.3.7.5. Орбитальная устойчивость замкнутой траектории системы

Используем обозначение замкнутой траектории из 1.6.3.7.3

$l = \{(t, g^t \bar{x}_0) : t \geq 0\}$. Для неё орбитальная устойчивость по определению означает, что

$$\forall(\varepsilon > 0) \exists(\delta > 0) \forall(x_0 \in Q : \rho(x_0, l) < \delta) \forall(t \geq 0) [\rho(g^t x_0, l) < \varepsilon].$$

Для произвольно заданного $\varepsilon > 0$ выберем $\delta > 0$ так, чтобы было $\delta \leq \delta_0$ и $e^{LT_0} \delta < \varepsilon$, где δ_0, T_0 найдены в 1.6.3.7.3. Пусть $\rho(x_0, l) < \delta$, то есть $\|x_0 - g^{t_1} \bar{x}_0\| < \delta$ при некотором $t_1 \geq 0$. Тогда из непрерывной зависимости решений системы от начальных данных следует, что $\rho(g^t x_0, l) \leq \|g^t x_0 - g^{t+t_1} \bar{x}_0\| \leq e^{Lt} \|x_0 - g^{t_1} \bar{x}_0\| < e^{Lt} \delta$. Поэтому в силу выбора δ при $t \leq T_0$ величина $\rho(g^t x_0, l)$ меньше ε , а при $t \geq T_0$ она равна нулю из-за слияния траекторий. Таким образом, орбитальная устойчивость замкнутой траектории доказана.

1.6.3.7.6. Лемма о вспомогательных множествах Q_1, Q_2 и Q_3

Введём обозначения: $Q_1 = \{x \in Q : Cx \in T_x\}$, $Q_2 = Q \setminus Q_1$, Q_3 — множество всех точек локального минимума функции $\|x\|$, рассматриваемой на ∂Q .

Утверждается, что: 1) если $x \in Q_1$ и $x \neq 0$, то $\dot{\Phi}(x) \geq v_0$; 2) если $x_0 \in Q_2$, то $x_0 \in \partial Q$; 3) Q_3 не пусто и ограничено.

Доказательство. 1) В Q_1 по условию (1.65) и определению множества Q_1 при $x(t) = g^t x_0$ имеем:

$$\dot{\Phi}(x) = \frac{(Cx, \tau_x f(x))}{\|x\|^2} = \frac{(Cx, f(x))}{\|x\|^2} - \frac{(Cx, \nu_x f(x))}{\|x\|^2} \geq \nu_0.$$

2) Очевидно, $\text{int } Q \subset Q_1$, так как для $x \in \text{int } Q$ касательный конус $T_x = \mathbb{R}^2$. Поэтому Q_2 либо пусто либо содержит только граничные точки Q .

3) Пусть $x_0 \in \partial Q$. На компактном множестве $\{x \in \partial Q: \|x\| \leq \|x_0\|\}$ непрерывная функция $\|x\|$ имеет точку глобального минимума, которая, очевидно, будет точкой локального минимума этой функции и на всём множестве ∂Q . Итак, рассматриваемое множество не пусто.

Докажем, что Q_3 ограничено. Предположим противное, тогда в нём найдется последовательность $(x_n: n \in \mathbb{N})$, удовлетворяющая условию $\|x_{n+1}\| \geq 2\|x_n\|$ при $n \in \mathbb{N}$. Прямая, задаваемая уравнением $(x, x_n) = \|x_n\|^2$, очевидно, является опорной к Q , поэтому для любого $x \in Q$ выполняется неравенство $(x, x_n) \leq \|x_n\|^2$. Следовательно, для угла $\alpha(n, m)$ между x_n и x_m при $n \neq m$, будет справедливо неравенство $\cos \alpha(n, m) \leq \frac{1}{2}$. Но в такой последовательности не может быть больше шести векторов. Полученное противоречие доказывает ограниченность Q_3 . Лемма доказана.

1.6.3.7.7. Лемма об оценке траектории системы

Пусть $r \geq r_0 := \max_{x \in Q_3} \|x\|$, $R > e^{\frac{L^2 \pi}{\nu_0}} r$. Тогда если $\|x_0\| \leq r$, то $\|g^t x_0\| < R$ при $t > 0$.

Доказательство. Предположим противное, и пусть t_1, t_2 такие, что

$\|g^{t_1} x_0\| = r$, $\|g^{t_2} x_0\| = R$ и $R > \|g^t x_0\| > r$ при $t \in (t_1, t_2)$. Положим $g^{t_1} x_0 = x_1$,

$t_2 - t_1 = T$. Тогда

$$\|g^0 x_1\| = r, \|g^T x_1\| = R \text{ и } R > \|g^t x_1\| > r \text{ при } t \in (0, T). \quad (1.71)$$

Возможны два случая.

Случай 1. При всех $t \in (0, T)$ $g^t x_1 \in Q_1$. Из (1.70) и выбора R вытекает неравенство $T \geq \frac{2\pi}{v_0}$, используя которое, получаем оценку угла поворота траектории:

$$\Delta\Phi\left((g^t x_1), 0, T\right) = \int_0^T \dot{\Phi}\left[g^s x_1\right] ds \geq v_0 T \geq 2\pi. \text{ Следовательно, траектория решения}$$

$g^t x_1$ за время T сделает полный оборот вокруг нуля и в силу выбора r зайдет при некотором $t \in (0, T)$ в круг B_r радиуса r с центром в нуле, поскольку непустое множество Q_3 целиком лежит в этом круге. Получаем противоречие с (1.71).

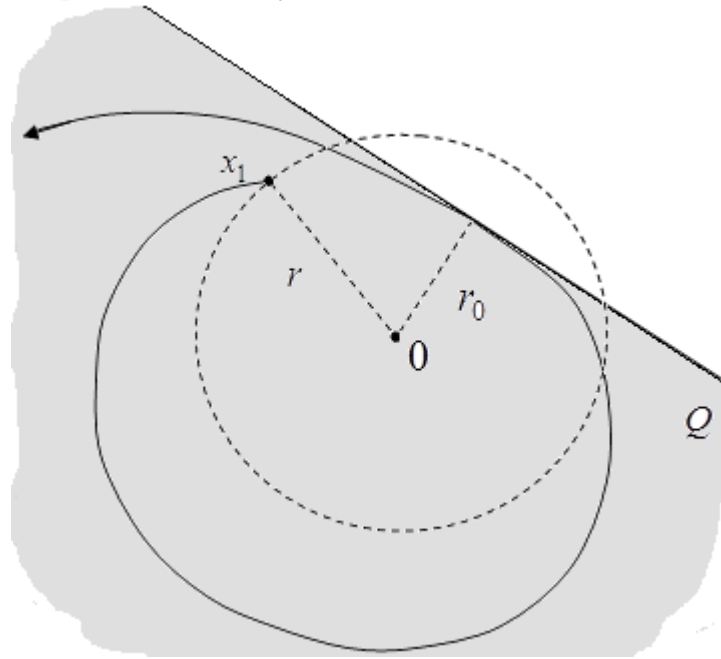


Рис. 30

Случай 2. Существует момент t_3 из интервала $(0, T)$, в который

$g^{t_3} x_1 = x_3 \in Q_2$. Поскольку $Cx_3 \notin T_{x_3}$, Cx_3 образует с N_{x_3} острый угол, в то время как в силу леммы 1.6.3.3 угол между N_{x_3} и $-x_3$ тупой, но не превосходит π . Отсюда и леммы 1.6.3.1 вытекает, что угол между векторами $\tau_{x_3} f(x_3)$ и $-x_3$ острый. Для $t \in [t_3, T]$ обозначим через $\psi(t)$ точку пересечения $\partial(Q \cap B_R)$ с лучом

$[0, +\infty) \cdot (g^t x_1)$, начинающимся в нуле и проходящим через точку $g^t x_1$. В силу леммы 1.6.3.5 указанный луч с ростом t поворачивается против часовой стрелки, поэтому на достаточно малой правой окрестности момента t_3 точки $g^t x_1$ и $\psi(t)$ остаются в остром угле, образованном векторами $\tau_{x_3} f(x_3)$ и $-x_3$, перенесенными в точку x_3 . Тогда $\|\psi(t)\| < \|\psi(t_3)\| = \|x_3\| < R$ в этой окрестности t_3 , и $\|\psi(T)\| \geq \|g^T x_1\| = R$ по предположению. Поэтому функция $\|\psi(t)\|$ имеет минимум во внутренней точке t_4 отрезка $[t_3, T]$. Ввиду того, что вектор $\psi(t)$ вращается против часовой стрелки с ненулевой скоростью, точка $\psi(t_4)$ есть точка локального минимума функции $\|x\|$ на ∂Q , так что $\psi(t_4) \in B_r$. Но тогда $\|g^{t_4} x_1\| \leq \|\psi(t_4)\| \leq r$, что противоречит (1.71).

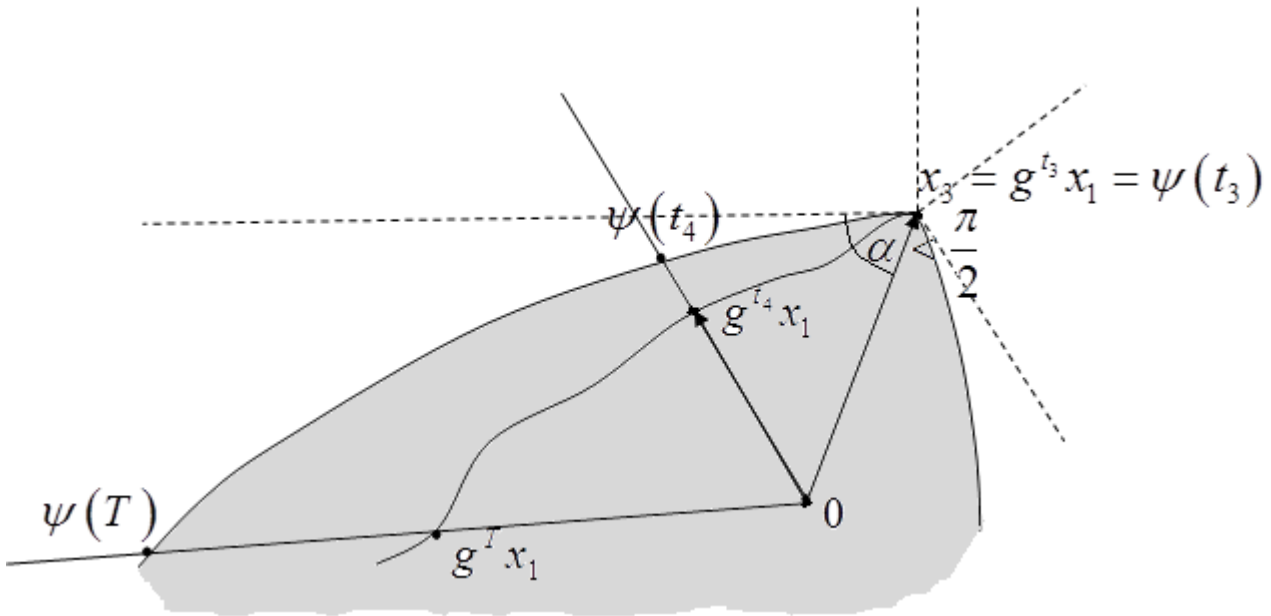


Рис. 31

Таким образом, траектория, начинающаяся в B_r , остаётся внутри B_R при всех $t \geq 0$. Лемма доказана.

1.6.3.7.8. Сведение случая неограниченного Q к случаю ограниченного

Рассмотрим систему $\dot{x} = \tau(x, B_R \cap Q)f(x)$ с множеством $B_R \cap Q$ в качестве ограничения, где R найдено по $r = r_0$ (в лемме 1.6.3.7.7). Для неё условия (1.60), (1.61), (1.62), (1.64), (1.65) выполнены, очевидно, одновременно с выполнением их для исходной системы. Проверим выполнение условия (1.63), при условии, что оно выполняется для исходной системы.

Итак, покажем, что $f(x) \notin N(x, B_R \cap Q)$ при $x \neq 0$ (где $N(x, A)$ — нормальный конус к множеству A в точке x). Действительно, если x не лежит на окружности B_R , то это справедливо в силу условия (1.63). Если x лежит на окружности B_R и является внутренней точкой Q , тогда $N(x, B_R \cap Q)$ совпадает с лучом $[0, +\infty) \cdot x$, в силу (1.65) $f(x) \notin N(x, B_R \cap Q)$. Наконец рассмотрим вариант, когда x является точкой пересечения ∂Q с окружностью B_R , в этом случае $N(x, B_R \cap Q)$ является выпуклой оболочкой, натянутой на объединение луча $[0, +\infty) \cdot x$ и конуса $N_x = N(x, Q)$. Если $x \in Q_1$, то, так как Cx лежит между x и $-x$, а также содержится в T_x , то N_x лежит между $-x$ и x . В силу условия (1.65) $f(x)$ строго между x и $-x$, то есть не может лежать в $N(x, B_R \cap Q)$. Если же $x \in Q_2$, то вектор Cx лежит между нормальным конусом N_x к Q и вектором $-x$, образуя в силу телесности множества Q с ближайшим вектором из N_x острый угол. Следовательно, ввиду выполнения леммы 1.6.3.3, x лежит или в N_x или между $-x$ и N_x , поэтому $f(x)$ не принадлежит выпуклой оболочке N_x и луча $[0, +\infty) \cdot x$.

Таким образом, все условия теоремы для ограниченного множества $B_R \cap Q$ выполнены, следовательно, у системы $\dot{x} = \tau(x, B_R \cap Q)f(x)$ существует единственная замкнутая траектория, в которую вливаются все траектории системы. Эта замкнутая траектория является также траекторией исходной системы (1.50),

так как она является частью любой траектории, выпущенной из круга B_r , и, следовательно, содержится во внутренности круга B_R .

Покажем, что в найденную замкнутую траекторию вливаются все остальные траектории исходной системы (1.50). Возьмем произвольную точку \bar{x}_0 . Выберем r таким образом, чтобы круг B_r содержал в себе \bar{x}_0 и замкнутую траекторию системы (1.50). Тогда при соответствующем выборе R траектория $g^t \bar{x}_0$ вливается в замкнутую в некоторый момент времени, поскольку она одновременно является решением новой системы $\dot{x} = \tau(x, B_R \cap Q)f(x)$.

Таким образом, все траектории системы (1.50) вливаются в замкнутую, и замкнутая траектория единственна.

Так как замкнутая траектория входит в множество $B_R \cap Q$ вместе со своей некоторой окрестностью, орбитальная устойчивость вытекает из теоремы для ограниченного случая. Теорема 1.6.3.7 полностью доказана.

1.7. Модели биологических систем с ограничениями численности

В этом параграфе рассмотрим в качестве примера одну из возможных областей применения результатов, полученных в 1.6.

1.7.1. Классическая модель биологической системы «хищник-жертва»

Напомним классическую модель биологической системы «хищник-жертва». Предполагается, что в некоторой местности в основном существуют два вида животных, один из которых – хищник, второй – жертва. Если бы в среде, где обитают эти два вида, находились бы только животные вида жертва, то коэффициент их прироста предполагается постоянной положительной величиной, которую обозначим ε_1 . Другой вид (хищник), питающийся только (или в основном) жертвой, в предположении, что он существует изолированно, имеет некоторый коэффициент прироста ($-\varepsilon_2$), который предполагают постоянным и отрицательным. Когда такие два вида сосуществуют в ограниченной среде, жертвы будут размножаться

тем медленнее, чем больше будет хищников, а хищники – тем быстрее, чем многочисленнее будет вид жертв. Гипотеза В. Вольтерры состоит в том, что коэффициенты прироста жертв и хищников равны, соответственно, $\varepsilon_1 - \gamma_1 N_2$ и $-\varepsilon_2 - \gamma_2 N_1$ (γ_1 и γ_2 – положительные постоянные, N_1, N_2 – численность жертв и хищников на текущий момент времени). Поэтому численность животных обоих видов описывается системой дифференциальных уравнений (см.[x69], стр.22):

$$\begin{cases} \frac{dN_1}{dt} = N_1(\varepsilon_1 - \gamma_1 N_2), \\ \frac{dN_2}{dt} = -N_2(\varepsilon_2 - \gamma_2 N_1), \end{cases} \quad (\varepsilon_1, \varepsilon_2, \gamma_1, \gamma_2 > 0). \quad (1.72)$$

Задача В. Вольтерры состояла в том, чтобы полностью исследовать эту систему и выяснить закономерности выживания первого и второго видов.

1.7.1.1. Положения равновесия и анализ их устойчивости

Система

$$\begin{cases} N_1(\varepsilon_1 - \gamma_1 N_2) = 0, \\ -N_2(\varepsilon_2 - \gamma_2 N_1) = 0, \end{cases}$$

очевидно, имеет два решения $N_1 = 0, N_2 = 0$ и $N_1 = \frac{\varepsilon_2}{\gamma_2}, N_2 = \frac{\varepsilon_1}{\gamma_1}$, являющиеся

положениями равновесия системы (1.72). Будем использовать следующие обозначения для координат второго из найденных положений равновесия:

$$\frac{\varepsilon_2}{\gamma_2} = \bar{X}_1, \quad \frac{\varepsilon_1}{\gamma_1} = \bar{X}_2.$$

Для анализа устойчивости положений равновесия воспользуемся теоремой Ляпунова об устойчивости по первому приближению. Найдём матрицу частных производных от правых частей уравнений (1.72):

$$A \begin{pmatrix} N_1 \\ N_2 \end{pmatrix} = \begin{pmatrix} \varepsilon_1 - \gamma_1 N_2 & -\gamma_1 N_1 \\ \gamma_2 N_2 & -(\varepsilon_2 - \gamma_2 N_1) \end{pmatrix}.$$

Для положения равновесия $\begin{pmatrix} 0 \\ 0 \end{pmatrix}$ получаем:

$$A \begin{pmatrix} 0 \\ 0 \end{pmatrix} = \begin{pmatrix} \varepsilon_1 & 0 \\ 0 & -\varepsilon_2 \end{pmatrix};$$

Поскольку $\varepsilon_1 > 0$, это положение равновесия не устойчиво.

Для $\bar{X} = \begin{pmatrix} \bar{X}_1 \\ \bar{X}_2 \end{pmatrix}$ имеем:

$$A(\bar{X}) = \begin{pmatrix} 0 & \frac{-\gamma_1 \varepsilon_2}{\gamma_2} \\ \frac{\gamma_2 \varepsilon_1}{\gamma_1} & 0 \end{pmatrix}.$$

Собственные значения этой матрицы, как нетрудно видеть, равны $\pm i\omega$, где $\omega = \sqrt{\varepsilon_1 \varepsilon_2}$. Это означает, что теорема Ляпунова об устойчивости по первому приближению не даёт возможности судить об устойчивости данного положения равновесия.

1.7.1.2. Фазовый портрет системы

Линеаризация системы (1.72) вблизи положения равновесия \bar{X} приводит к системе:

$$\begin{cases} \dot{x} = -\frac{\gamma_1 \varepsilon_2}{\gamma_2} y, \\ \dot{y} = \frac{\gamma_2 \varepsilon_1}{\gamma_1} x. \end{cases} \quad (1.73)$$

Здесь x и y - приближённые значения $N_1 - \bar{X}_1$ и $N_2 - \bar{X}_2$, соответственно. Исключив из (1.73) y , получаем уравнение второго порядка для x :

$$\ddot{x} + \omega^2 x = 0$$

Его общее решение можно записать в виде:

$$x = A \cos(\omega t + \varphi_0), \quad (1.74)$$

где A, φ_0 зависят от начальных значений x, y . Возвращаясь к первому из уравнений (1.73), получаем выражение для y :

$$y = B \sin(\omega t + \varphi_0), \quad (1.75)$$

здесь коэффициент B связан с A соотношением

$$B = \omega \frac{\gamma_2}{\gamma_1 \varepsilon_2} A.$$

Из (1.74) и (1.75) следует, что фазовые траектории линеаризованной системы в плоскости (N_1, N_2) представляют собой эллипсы с полуосями A и B и центром в точке \bar{X} .

Рисунок 23 соответствует параметрам $\varepsilon_1 = 1; \gamma_1 = 1; \varepsilon_2 = 2; \gamma_2 = 2$. Нетрудно видеть, что движение по этим траекториям происходит против часовой стрелки.

Решения линеаризованной системы называются малыми *флуктуациями*, их период определяется явной формулой:

$$T = \frac{2\pi}{\omega} = \frac{2\pi}{\sqrt{\varepsilon_1 \varepsilon_2}}.$$

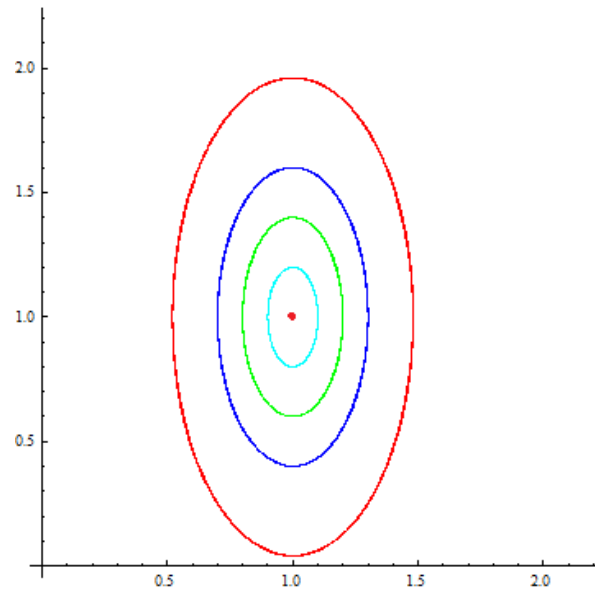


Рис. 23

Для нелинейной системы (1.72) поведение траекторий, мало отклоняющихся от положения равновесия \bar{X} , близко к поведению траекторий линеаризованной системы.

В книге В. Вольтерра [х69] для системы (1.72) найден интеграл вида:

$$N_1^{-\varepsilon_2} e^{\gamma_2 N_1} = C N_2^{\varepsilon_1} e^{-\gamma_1 N_2}. \quad (1.76)$$

На следующем рисунке изображены траектории для нескольких начальных значений.

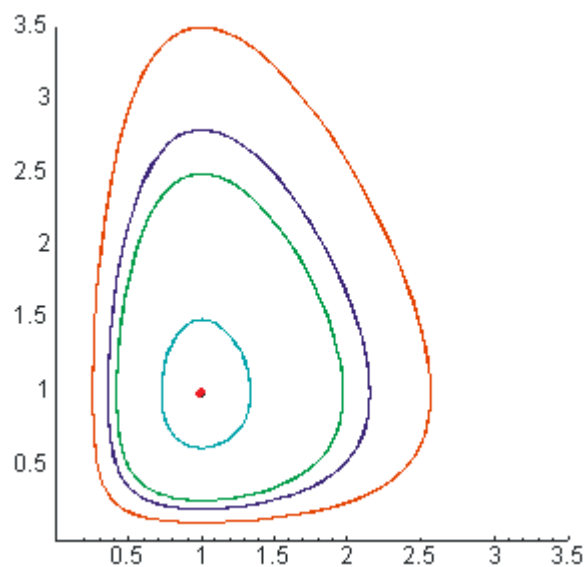


Рис. 24

Рисунок соответствует параметрам $\varepsilon_1 = 1$, $\gamma_1 = 1$, $\varepsilon_2 = 2$, $\gamma_2 = 2$.

1.7.2. Автоколебания в обобщённой системе «хищник-жертва»

На выпуклом замкнутом множестве $\bar{Q} \subset \mathbb{R}_+^2 = [0, +\infty) \times [0, +\infty)$ рассмотрим СДН

$$\dot{X} = \tau_X \left[F(X) + \delta(X - \bar{X}) \right]. \quad (1.77)$$

Здесь $X = \begin{pmatrix} X_1 \\ X_2 \end{pmatrix}$ – численность в момент t «жертвы» X_1 и «хищника» X_2 ;

$F(X) = \begin{pmatrix} (\varepsilon_1 - \gamma_1 X_2) X_1 \\ -(\varepsilon_2 - \gamma_2 X_1) X_2 \end{pmatrix}$ – правая часть классической модели Лотки-Вольтерра

системы «хищник-жертва»; \bar{X} – положение равновесия классической модели; $\varepsilon_1, \gamma_1, \varepsilon_2, \gamma_2, \delta$ – неотрицательные параметры; слагаемое $\delta(X - \bar{X})$ учитывает внешние факторы, влияющие на численность видов.

Ограничение $X \in \bar{Q}$ моделирует определённый способ искусственного регулирования численности видов X_1, X_2 . Если $\delta = 0$ и $\bar{Q} = \mathbb{R}_+^2$, то (1.77) представляет классическую модель системы «хищник-жертва»; в этом случае $F(X) \in T_X$ для любого $X \in \bar{Q}$, так что $\tau_X F(X) = F(X)$. Если $\delta > 0$ и $\varepsilon_1 = \gamma_1 = \varepsilon_2 = \gamma_2 = 0$ (и при этом $\bar{X} = 0$), то (1.77) распадается на два простейших уравнения

$$\begin{cases} \dot{X}_1 = \delta X_1, \\ \dot{X}_2 = \delta X_2. \end{cases}$$

Установим признаки автоколебательности системы (1.77), т.е. существования у неё единственного орбитально устойчивого (в усиленном смысле) предельного цикла. При рассмотрении этой задачи удобно ввести новые переменные $x_1 = X_1 - \bar{X}_1$, $x_2 = X_2 - \bar{X}_2$.

Заметим, что

$$N_X(\bar{Q}) = N_{X-\bar{X}}(\bar{Q}-\bar{X}) \text{ и } T_X(\bar{Q}) = T_{X-\bar{X}}(\bar{Q}-\bar{X}). \quad (1.78)$$

Действительно, первое соотношение вытекает из определения нормального конуса (см. 1.2.3) $Y \in N_X(\bar{Q}) \Leftrightarrow \forall(\xi \in \bar{Q})[(Y, \xi - X) \leq 0] \Leftrightarrow \forall(\bar{\xi} = \xi - \bar{X} \in \bar{Q} - \bar{X})$
 $[(Y, \bar{\xi} - (X - \bar{X})) = (Y, \xi - X) \leq 0 \leq 0] \Leftrightarrow Y \in N_{X-\bar{X}}(\bar{Q} - \bar{X})$. Второе соотношение непосредственно следует из первого.

Тогда с новыми переменными в силу (1.78) система (1.77) принимает вид

$$\dot{x} = \begin{pmatrix} x_1 \\ x_2 \end{pmatrix} = \tau_x \begin{pmatrix} -\gamma_1 x_2 X_1 + \delta x_1 \\ \gamma_2 x_1 X_2 + \delta x_2 \end{pmatrix} =: \tau_x f(x). \quad (1.79)$$

Ограничение $X \in \bar{Q}$ в новых обозначениях имеют вид

$$x \in \bar{Q} - \bar{X} =: Q. \quad (1.80)$$

Основным инструментом исследования будет теорема из 1.6.3.

1.7.2.1. Проверка условий 1.6.3.1

Условие (1.64) проверим для матрицы $B = \begin{pmatrix} \frac{\gamma_2 \varepsilon_1}{\gamma_1} & 0 \\ 0 & \frac{\gamma_1 \varepsilon_2}{\gamma_2} \end{pmatrix}$:

$$(Bx, f(x)) = \left(\frac{\gamma_2 \varepsilon_1}{\gamma_1} x_1^2 + \frac{\gamma_1 \varepsilon_2}{\gamma_2} x_2^2 \right) \delta + x_1 x_2 (\gamma_1 \varepsilon_2 x_2 - \gamma_2 \varepsilon_1 x_1) = \left(\frac{\gamma_2 \varepsilon_1 \delta}{\gamma_1} - \gamma_2 \varepsilon_1 x_2 \right) x_1^2 + \left(\frac{\gamma_1 \varepsilon_2 \delta}{\gamma_2} + \gamma_1 \varepsilon_2 x_1 \right) x_2^2.$$

Итак (1.64) будет выполнено, если $x_2 < \frac{\delta}{\gamma_1}$ и $x_1 > \frac{\delta}{\gamma_2}$, т.е.

$$X_2 < \frac{\varepsilon_1 + \delta}{\gamma_1}, \quad X_1 > \frac{\varepsilon_2 - \delta}{\gamma_2}. \quad (1.81)$$

Проверим выполнение условия (1.65):

$$(f(x), Cx) = \gamma_1 x_2^2 X_1 + \gamma_2 x_1^2 X_2;$$

Поэтому для выполнения неравенства (1.65) достаточно, чтобы для любого $X \in \bar{Q}$ были справедливы неравенства:

$$\gamma_1 X_1 \geq v_0 > 0, \gamma_2 X_2 \geq v_0. \quad (1.82)$$

1.7.2.2. Формулировка и доказательство существования устойчивой замкнутой траектории обобщённой системы «хищник-жертва»

Пусть выпуклое замкнутое непустое множество $\bar{Q} \subset \mathbb{R}_+^2$ ограничено, а параметры системы (1.77) строго положительны и таковы, что для любого $X \in \bar{Q}$ выполнены неравенства (1.81), (1.82). Пусть

$$\bar{X} \in \text{int } \bar{Q}, \quad (1.83)$$

и на границе $\partial \bar{Q}$ множества \bar{Q} выполняется:

$$X \in \partial \bar{Q} \Rightarrow \exists (e \in T_x) \left[(e, F(X) + \delta(X - \bar{X})) > 0 \right]. \quad (1.84)$$

Тогда система (1.77) имеет единственную замкнутую траекторию, в которую вливаются все другие траектории, отличные от положения равновесия \bar{X} .

Доказательство. Достаточно проверить, что заключение верно для преобразованной системы (1.79). Неравенства (1.81), (1.82) гарантируют выполнение для этой системы условий (1.64), (1.65). Поскольку множество \bar{Q} (и, следовательно, Q) ограничено, и функция f непрерывно дифференцируема, она удовлетворяет условию Липшица. Условие (1.62) для (1.79), очевидно, эквивалентно требованию (1.78). Наконец, для проверки условия (1.63) напомним определение нормального конуса $z \in N_x \Leftrightarrow \forall (y \in Q) [(y - x, z) \leq 0]$. В исходных обозначениях:

$$Z = F(X) + \delta(X - \bar{X}) \in N_X \Leftrightarrow \forall (Y \in \bar{Q}) [(Y - X, Z) \leq 0].$$

Поэтому условие (1.84) означает, что $\forall (X \in \partial \bar{Q}) [Z \notin N_X]$, или для новых переменных: $\forall (x \in \partial Q) [z = f(x) \notin N_x]$.

Если же $x \in \text{int } Q$, то соотношение $f(x) \in N_x = \{0\}$ означает, что $-\gamma_1 x_2 X_1 + \delta x_1 = 0$, $\gamma_2 x_1 X_2 + \delta x_2 = 0$. Умножим первое из этих равенств на x_2 , второе на x_1 и вычтем из второго первое: $\gamma_2 x_1^2 X_2 + \gamma_1 x_2^2 X_1 = 0$.

Поскольку $\gamma_1, \gamma_2, X_1, X_2$ строго положительны, это означает, что $x_1 = x_2 = 0$. Итак все условия 1.6.3.1 выполнены для (1.79), и утверждение полностью доказано.

1.7.2.3. Примеры численных экспериментов

На рис. 25, 26 приведены фазовые траектории двух обобщённых систем «хищник-жертва».

Для первой системы (рис.25) множество \bar{Q} задаётся неравенствами $a \leq X_1 \leq a_1$, $b \leq X_2 \leq b_1$; параметры системы имеют значения: $\varepsilon_1 = \gamma_1 = 1$, $\varepsilon_2 = \gamma_2 = 1$, $\delta = 0.25$, $a = 0.75$, $b = 0.5$, $a_1 = 1.7$, $b_1 = 1.2$. Нетрудно проверить, что все условия теоремы в данном случае выполнены. Красным цветом выделено положение равновесия \bar{X} и замкнутая траектория.

Вторая система рассматривается в неограниченном множестве $\bar{Q} = [a, +\infty) \times [b, +\infty)$ с теми же значениями параметров. Отметим, что первое из неравенств (1.81) в этом случае не выполнено. Вообще, условие (1.64), разумеется, не является необходимым.

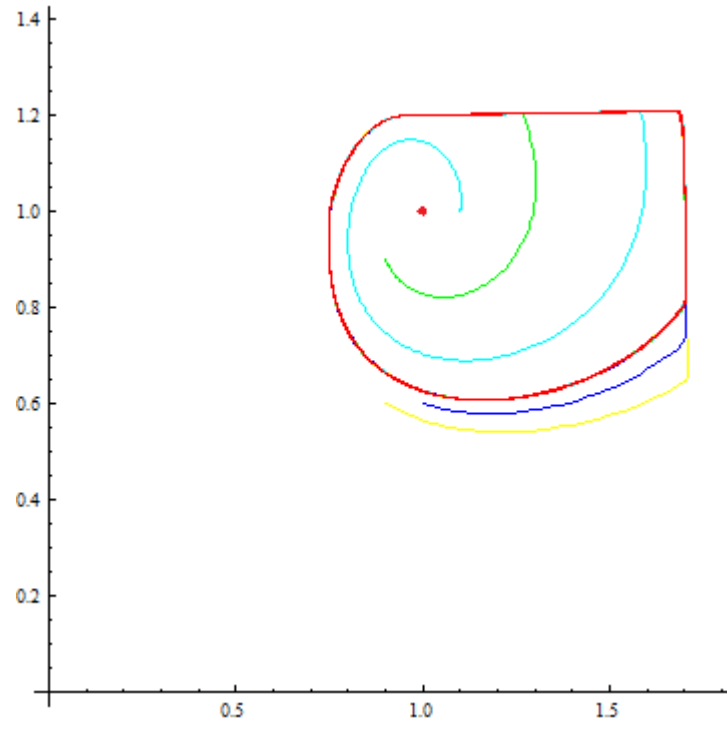


Рис. 25

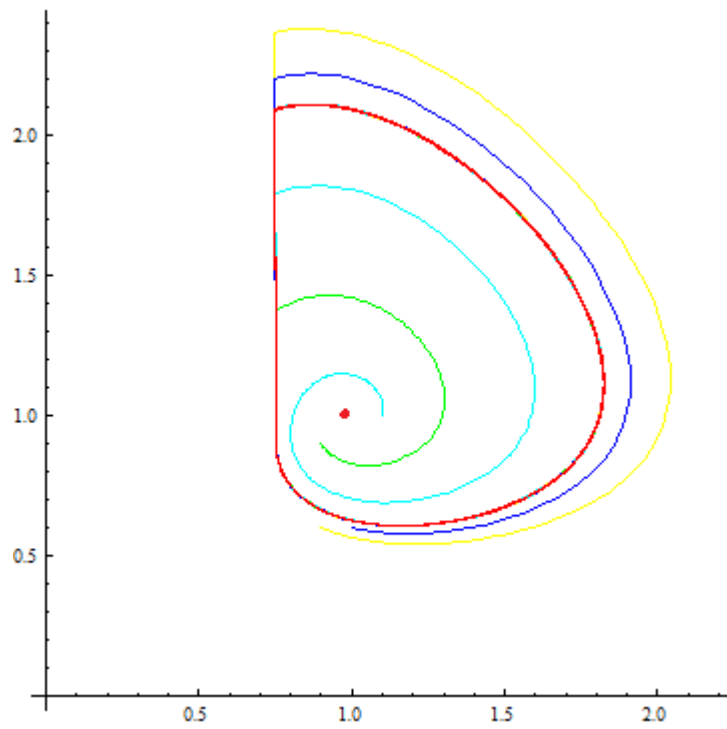


Рис. 26

Численный анализ в этих примерах, как и во всех примерах главы 1, проведён с помощью *гладкой модели системы с диодной нелинейностью*, подробно рассматриваемой и обоснованной в третьей главе.